

**МИНИСТЕРСТВО ОБРАЗОВАНИЯ И НАУКИ РЕСПУБЛИКИ ТАДЖИКИСТАН  
ТАДЖИКСКИЙ ГОСУДАРСТВЕННЫЙ ПЕДАГОГИЧЕСКИЙ УНИВЕРСИТЕТ  
ИМЕНИ САДРИДДИНА АЙНИ**

*На правах рукописи*



**УДК 536.12 (575.3)**

**РАФИЕВ Сайдбек Самиевич**

**ИССЛЕДОВАНИЕ ТЕПЛОФИЗИЧЕСКИХ И ТЕРМОДИНАМИЧЕСКИХ  
СВОЙСТВ ТЕПЛОНОСИТЕЛЕЙ ВНЕДРЕННЫХ НАНОПОРОШКА  
ГИДРАЗИНА**

**Специальность 01. 04. 14. Теплофизика и теоретическая теплотехника**

**АВТОРЕФЕРАТ  
диссертации на соискание учёной степени  
кандидата технических наук**

**Душанбе – 2024**

**Работа выполнена на кафедре «Общая физика» Таджикского государственного педагогического университета имени Садриддина Айни**

**Научный руководитель:** **Назарзода Хайрулло Холназар (Назаров Хайрулло Холназарович)** - доктор технических наук, доцент, ректор Таджикского государственного университета коммерции.

**Официальные оппоненты:** **Баранов Игорь Владимирович** – доктор технических наук, профессор, директор Образовательного центра «Энергоэффективные инженерные системы» ФГАОУ ВО «Национальный исследовательский университет ИТМО» (г. Санкт-Петербург)

**Назаров Холмурод Марипович** - доктор технических наук, профессор, директор Филиала Агентства по химической, биологической, радиационной и ядерной безопасности Национальной Академии наук Таджикистана в Согдийской области;

**Ведущая организация:** **Технологический университет Таджикистана (г. Душанбе)**

Защита диссертации состоится **«15» апреля 2024 года** в **«11:00» часов** на заседании диссертационного совета **6Д.КОА-041** при Таджикском техническом университете имени академика М.С. Осими, по адресу: 734042, г. Душанбе, проспект акад. Раджабовых 10а (Зал заседаний диссертационных советов).

E-mail: [d.s6d.koa.041@yandex.ru](mailto:d.s6d.koa.041@yandex.ru)

Отзывы на автореферат (в двух экземплярах), заверенные печатью учреждения, просим отправлять по адресу: 734042, г. Душанбе, проспект акад. Раджабовых 10а, Таджикский технический университет им. акад. М.С. Осими, ученому секретарю диссертационного совета 6Д.КОА-041 к.т.н., доценту Тагоеву С.А.

С диссертацией и её авторефератом можно ознакомиться в библиотеке Таджикского технического университета имени академика М.С. Осими и на официальном сайте университета <http://ttu.tj>.

Автореферат разослан «      »        2024 г.

**Ученый секретарь  
диссертационного совета 6Д. КОА-041,  
кандидат технических наук, доцент**



**Тагоев С.А.**

## ОБЩАЯ ХАРАКТЕРИСТИКА РАБОТЫ

**Актуальность темы.** Развитие физики жидкого состояния питается сведениями о теплофизических и термодинамических свойствах жидкостей и растворов. Эти сведения оказывают весомый вклад в области изучения механизмов переноса тепла, межчастичного взаимодействия, моделирования структуры жидких веществ, изучения процессов образования молекулярных комплексов и их разрушения, решения проблем смешиваемости и растворимости, а также связанных с этими процессами изменения свойств веществ.

Этиленгликоль и его водные растворы с нанопорошком гидразина с технической точки зрения интересны тем, что их можно использовать в строительной, машиностроительной и других областях с применением различного рода сорбентов, растворителей и вяжущих веществ. В связи с этим, применение подобных веществ требует комплексного исследования их теплофизических и термодинамических свойств, которые позволяют определить наиболее рациональную область их эксплуатации, что несомненно является актуальной проблемой, требующая научно-обоснованный подход к ее решению.

В настоящей работе исследования посвящены экспериментально-теоретическому решению данного вопроса, тематика которого охватывает изучение физико-химических свойств (плотности, теплопроводности и др.), реологических (динамической и кинематической вязкости) и кинетических свойств этиленгликоля и их водных растворов с добавками нанопорошка гидразина при различных температурах и давлениях, способствующие их эффективному применению в качестве теплоносителя, либо рабочего вещества в процессах массо- и теплопереноса, а также при разработке математических моделей данных процессов. В данной работе также рассмотрены возможности получения корреляционных зависимостей, устанавливающих взаимосвязь между перечисленными параметрами.

**Объект исследования:** этиленгликоль и его водные растворы с различными концентрациями нанопорошка гидразина.

**Степень разработанности темы исследования.** Вопросами исследования основных теплофизических, термодинамических и реологических свойств химически чистых жидкостей и растворов, а также с различным массовым содержанием нанодобавок в условиях разных параметров состояния занимаются как отечественные, так и зарубежные ученые. Например, исследования К.Д. Гусейнова (Баку), В.Я. Рудняка, В.М. Терехова, (Новосибирск) Чои, Д. Боне (Германия), Дж, Никос (Греция), Тонгфан Сан, Ань Хуан (Китай) и др., а также теоретические работы Гамильтона, Кроссера, Хашина - Штрикмана, Максвелла, Кихары и Викса – Чендлера - Андерсена и др. Механизм переноса частично исследован, однако все же остаются не раскрытыми вопросы касательно причин и механизмов этих свойств для отдельных классов и групп органических жидкостей как в чистом, так и с содержанием наночастиц.

**Цель диссертационной работы:** Комплексное экспериментально-теоретическое исследование физико-химических свойств (коэффициента эффективной теплопроводности, плотности, реологических и кинетических свойств) растворов этиленгликоля при различных параметрах состояния и концентрации нанопорошка гидразина.

Для того, чтобы достичь поставленной цели необходимо решить нижеприведенные задачи:

- обосновать необходимость использования методов нагретой нити, гидростатического взвешивания, капиллярного вискозиметра при экспериментальном исследовании теплофизических, реологических и кинетических свойств объектов исследования;

- провести комплексное экспериментально-теоретическое исследование теплофизических (плотность, теплопроводность), реологических (коэффициенты динамической и кинематической вязкости) и кинетических свойств объектов исследования при различных параметрах состояния и концентрации нанопорошка гидразина;

– получить эмпирические уравнения, устанавливающие зависимость теплофизических, реологических и кинетических свойств объектов исследования от параметров состояния и концентрации нанопорошка гидразина.

#### **Научная новизна:**

1. Созданы экспериментальные установки для определения теплопроводности наножидкостей (малый патент № ТJ 923, 2017. – 5 с.) и коэффициента адсорбции наноматериалов (малый патент № ТJ 1279, 2021. – 9 с.).

2. Получены данные по коэффициенту эффективной теплопроводности, плотности, коэффициентов динамической и кинематической вязкости этиленгликоля и его водных растворов с различными концентрациями нанопорошка гидразина в интервале температуры (273 - 363) К и давления (0,101 - 14,42) МПа.

3. На основе экспериментальных данных получены расчетные данные теплопроводности, вязкости, плотности и критерия Прандтля для этиленгликоля и его водных растворов с различными концентрациями нанопорошка гидразина в интервале температуры (273 - 363) К и давления (0,101 - 14,42) МПа.

4. Путем обработки и соответствующего обобщения результатов экспериментальных измерений, с целью получения возможности численного определения коэффициента эффективной теплопроводности, плотности, коэффициентов динамической и кинематической вязкости этиленгликоля и его водных растворов с различной концентрацией составных компонентов в интервале температуры (273 - 363) К и давления (0,101 - 14,42) МПа, нами был получен ряд аппроксимационных уравнений.

#### **Теоретическая и практическая значимость работы:**

1. Составлены таблицы, в которых представлена подробная информация по теплопроводности, плотности, коэффициентов динамической и кинематической вязкости этиленгликоля и его водных растворов с различными концентрациями нанопорошка гидразина в условиях изменения температуры в пределе (273 - 363) К и давления (0,101 - 14,42) МПа, рекомендуемые проектным организациям и промышленным предприятиям для планирования и проведения соответствующих химико-технологических процессов.

2. Результаты исследований по теплопроводности, плотности, коэффициентов динамической и кинематической вязкости этиленгликоля и его водных растворов с различными концентрациями нанопорошка гидразина в интервале температуры (273 - 363) К и давления (0,101 - 14,42) МПа внедрены в Институте промышленности Министерства промышленности и новых технологий РТ, в Таджикский государственный педагогический университет им. Садриддина Айни, в Таджикский технический университет им. академика М. С. Осими (акты внедрения прилагаются).

3. Представленные результаты опытов в форме справочного материала в процессах изучения двух – и трёхкомпонентных систем технических растворов можно использовать при создании математических и физических моделей при инженерных и конструкторских расчетах для установления и выбора оптимальных режимов работы различных механизмов и устройств.

4. Используя полученные данные на основе экспериментов по плотности, теплопроводности, реологическим свойствам ряда исследованных образцов в условиях атмосферного давления и изменения температуры получен ряд эмпирических выражений и уравнение состояния (в условиях изменения и давления и температуры опыта). Впервые для исследованной группы наножидкостей для расчета теплопроводности использованы уравнения типа Тейта, Мамедова и Ахундова, а также численным способом были получены коэффициенты для них.

**Степень достоверности результатов.** Достоверность результатов исследований обеспечивается:

- применением приборов и устройств, прошедших соответствующую апробацию, которые с удовлетворительной точностью воспроизводят результаты измерений;
- удовлетворительным соответствием полученных результатов с результатами, полученными в ходе экспериментов другими методиками анализа;
- полным метрологическим обеспечением измерительных установок, а также правильным использованием теории эксперимента и погрешностей измерения и удовлетворительным соответствием расчетных и экспериментальных данных по исследованным параметрам.

**Основные положения, выносимые на защиту:**

- созданные экспериментальные установки для определения теплопроводности наножидкостей (малый патент № ТJ 923, 2017. – 5 с.) и коэффициента адсорбции наноматериалов (малый патент № TJ 1279, 2021. – 9 с.);
- полученные данные по коэффициенту эффективной теплопроводности, плотности, коэффициентов динамической и кинематической вязкости этиленгликоля и его водных растворов с различными концентрациями нанопорошка гидразина в интервале температуры (273 - 363) К и давления (0,101 - 14,42) МПа;
- расчетные данные теплопроводности, вязкости, плотности и критерия Прандтля для этиленгликоля и его водных растворов с различными концентрациями нанопорошка гидразина в интервале температуры (273 - 363) К и давления (0,101 - 14,42) МПа;
- полученные эмпирические уравнения для расчета коэффициента эффективной теплопроводности, плотности, коэффициентов динамической и кинематической вязкости этиленгликоля и его водных растворов с различными концентрациями нанопорошка гидразина в интервале температуры (273 - 363) К и давления (0,101 - 14,42) МПа.

**Личный вклад автора** заключается в выборе соответствующих методик при постановке задач исследования, в обработке, изучении и анализе литературы, посвященной по направлению исследования, в выполнении комплекса теоретико-опытных исследований по кинетическим, реологическим и теплофизическим свойствам объектов исследования и их обработке, в установлении закономерностей поведения образцов, а также в подведении итогов работы. Проведение исследований, подготовка и публикация статей в научных журналах была произведена автором при поддержке научного руководителя.

**Апробация работы.** Основные результаты представленной научной работы были представлены на следующих **международных конференциях и симпозиумах**: 10 школа - семинар молодых ученых и специалистов академика РАН В.Е. Алемасова “Проблемы тепломассообмена и гидродинамики в энергомашиностроении”, Казань (2016); 10 Международная теплофизическая школа “Теплофизические исследования и измерения при контроле качества веществ, материалов и изделий”, Душанбе-Тамбов, (2016); Международная конференция «Фазовые переходы, критические и нелинейные явления в конденсированных средах», г. Махачкала (2017); 7 Международная научно-практическая конференция «Независимость - основа развития энергетики страны», Бохтар (2017); 1-я научно - практическая Международная конференция “Информационные технологии в управлении и моделировании мехатронных систем”, Тамбов (2017); Научно-практическая конференция “Ломоносовские чтения”, Филиал МГУ им. М.В. Ломоносова в г. Душанбе (2017); Научно - практическая конференции “8 - е Ломоносовские чтения”, Филиал МГУ имени М.В. Ломоносова в г. Душанбе (2018); Международный водно-энергетический форум - 2018. КГЭУ, Казань (2018); 4 Международная научная конференция «Вопросы физической и координационной химии», Душанбе (2019); 6 Международная научно - техническая конференция студентов, молодых ученых и специалистов “Энергосберегающие и эффективность в технических системах”, Тамбов (2019); Международная научная конференция «Современные проблемы естественных и гуманитарных наук и их роль в укреплении научных связей между странами», посвящённая 10-летию Филиала МГУ имени М.В. Ломоносова в г. Ду-

шанбе (2019); 29 Международная научная конференция “Научные тенденции: вопросы точных и технических наук”, Санкт Петербург (2020); IARIA, 2 CFP, ICQNM - 2020, Ispane, Valenciya (2020); 10 научно - практическая конференция “Ломоносовские чтения”, Душанбе (2020).

**По результатам работы автор имеет** 30 научных публикаций. Из них 6 опубликованы в журналах, рекомендуемых ВАК при Президенте Республики Таджикистан, включая одну единоличную (без соавторов) и 19 тезисов докладов. Получено 5 малых патента Республики Таджикистан.

**Структура и объем работы.** Диссертационная работа содержит введение, пять глав, выводы, перечень использованной литературы (158 наименований) и приложение. Работа объемом в 202 страницы содержит 42 таблицы и 46 рисунков, а приложение представлено на 42 страницах.

**Соответствие паспорту специальности.** По тематике, методом исследования, предложенным новым научным положением диссертации соответствует паспорту специальности научных работников 01.04.14. «Теплофизика и теоретическая теплотехника» в части п. 5. «экспериментальные и теоретические исследования однофазной, свободной и вынужденной конвекции в широком диапазоне свойств теплоносителей, режимных и геометрических параметров теплопередающих поверхностей», в части п. 7. «Экспериментальные и теоретические исследования процессов совместного переноса тепла и массы в бинарных и многокомпонентных растворах с добавкой твердых наночастиц, включая химически реагирующие наножидкости».

## **ОСНОВНОЕ СОДЕРЖАНИЕ РАБОТЫ**

В **введении** обосноваться актуальность выбранной темы исследования, ее научное и практическое значение.

### **Глава 1. ФИЗИКО - ХИМИЧЕСКИЕ СВОЙСТВА ГИДРАЗИНА И ЕГО РАСТВОРИТЕЛЕЙ (ЛИТЕРАТУРНЫЙ ОБЗОР)**

**В первой главе** дано краткий обзор литературы, посвященной изучению теплофизических, реологических и кинетических характеристик технических растворов, а также представлены результаты по изучению практического применения результатов исследования различных авторов и соответствующий обзор литературы, посвященной исследованию гидразина и этиленгликоля.

### **Глава 2. ЭКСПЕРИМЕНТАЛЬНЫЕ МЕТОДЫ ИССЛЕДОВАНИЯ ТЕПЛОФИЗИЧЕСКИХ И РЕОЛОГИЧЕСКИХ СВОЙСТВ РАСТВОРОВ ПРИ РАЗЛИЧНЫХ УСЛОВИЯХ**

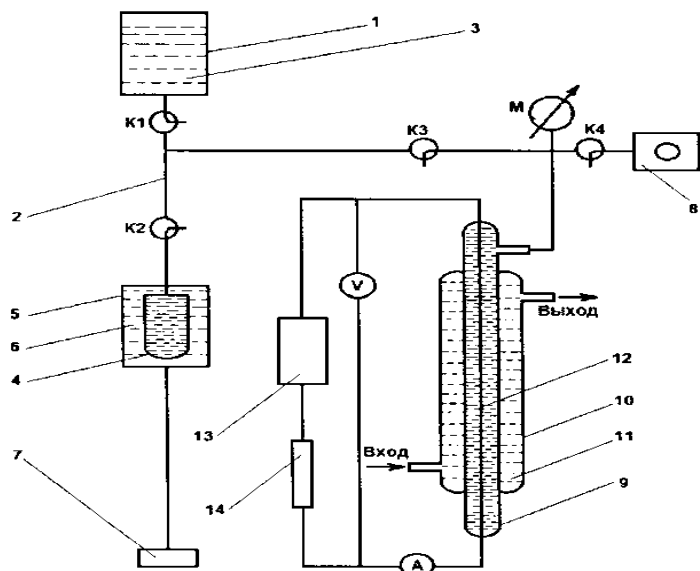
**Вторая глава** посвящена детальному описанию экспериментальных установок, использованных в процессе выполнения исследовательской работе. В этой главе представлено полное описание схем, характеристик, предназначение и порядок выполнения работ на них. С помощью серии проведенных экспериментов на данных установках с учетом изменения параметров состояния была установлена степень влияния концентрации нанопорошка гидразина на теплофизические и термодинамические свойства исследованных растворов.

#### **2.1. Устройство для определения коэффициента теплопроводности наножидкостей (метод нагретой нити)**

Для измерения теплопроводности нами был выбран метод нагретой нити. установка, основанная на данном методе состоит из вакуумного насоса, измерительной трубки, манометра, внутреннего сосуда, который состоит в соединении с насосом и манометром. измерительная трубка на протяжении опыта устанавливается внутри термостата (сосуд с термостатирующей жидкостью). Внутренний сосуд снабжен нагревателем для создания соот-

ветствующей разницы температур. Нагреватель имеет источник постоянного питания, резистор, вольт- и амперметр. Также установка имеет ячейку из нержавеющей стали для размещения образца исследования, которая в свою очередь состоит в соединении с полиэтиленовым мешочком, размещенном в заполненном глицерином пережимном сосуде. Пережимной сосуд, в свою очередь, имеет соединение с грузопоршневым манометром посредством труб. Измерительная трубка устанавливается в термостате с терmostатирующей средой (воздух). Нагреватель имеет соединение с источником питания, резистором, амперметром и вольтметром.

Основным отличием прототипа от предложенного нами устройства является отсутствие возможности исследования газов, а также реализация опытов в зависимости от давления. Техническое решение, а именно дополнительное оснащение установки прижимным сосудом с полиэтиленовым мешочком и грузопоршневым манометром позволило достигнуть желаемого результата (рисунок 1).



**Рисунок 1 - Схема экспериментальной установки для измерения теплопроводности наножидкостей:** 1 - нержавеющая стальная емкость; 2 - трубка; 3 - образец; 4 - полиэтиленовый мешочек; 5 - прижимной сосуд; 6 - глицерин; 7 - грузопоршневой манометр типа МП – 2500; 8 - вакуумный насос; 9 - внутренний сосуд; 10 - внешний сосуд; 11 - термостатирующая среда; 12 - никелевый нагреватель; 13 - источник питания; 14 – резистор (малый патент РТ №ТJ 923, 2017, 5 с.)

**Принцип работы установки.** Емкость 1 наполняется исследуемой, а внешний сосуд термостатирующей жидкостью. Затем после соединения электрической цепи к источнику тока, используя ампер- и вольтметр задают мощность нагревателя в условиях атмосферного давления и комнатной температуре:

$$W=I \cdot U, \quad (1)$$

где: W - мощность (Вт); I - сила тока (А); U - напряжение (В).

С помощью нижепредставленной формулы (2) можно вычислить как сопротивление в зависимости от температуры, так и температуру в измерительной ячейке:

$$R=R_0(I+\alpha(T-T_0)), \quad (2)$$

где: R, R<sub>0</sub>- сопротивление нагревателя (никель) и его сопротивление при комнатной температуре (Ом); α - коэффициент теплового расширения от сопротивления (1/К); T<sub>0</sub>, T - температура комнатная и опыта (К).

Располагая перечисленными значениями (мощность, разность температур, удельное сопротивление) теплопроводность образца можно вычислить следующей формулой:

$$\lambda_{cp} = \frac{W \ln \frac{(T_1)}{T_2}}{2\pi L \frac{(T_1-T_2)}, r_0}, \quad (3)$$

где: λ<sub>cp</sub> – коэффициент теплопроводности опытного вещества [Вт/(м·К)], W – мощность нагревателя (Вт); T<sub>1</sub> - T<sub>0</sub> – разность температур (К); L – длина проводника (м); r<sub>0</sub> – радиус нагревателя (мм); r<sub>1</sub> – внутренний радиус внешнего цилиндра (мм):

$$\lambda = \frac{R_1 c m \delta}{2} \quad (4)$$

## 2.2. Опытные установки для экспериментального исследования плотности, вязкости жидких веществ при атмосферном давлении

На сегодняшний день не существует каких - либо универсальных уравнений состояния, с помощью которых можно было бы решить конкретно поставленную задачу. Поэтому достижение данной цели возможно лишь путем экспериментальных исследований.

Методы, которые чаще всего используются при определении Р – ρ - Т зависимости жидкых веществ делятся на две категории: те, которые обеспечивают постоянство веса опытной жидкости, а ее объем изменяется и те, которые основаны на гидростатическом взвешивании. В процессе экспериментального исследования наших образцов, нами использован второй метод, но с учетом их специфики (рисунок 2). Выбор нами данной методики заключается в простоте и относительно высокой точности результатов. Поставленная задача требовала подбор установки, способной проводить эксперименты в значительной области изменения параметров состояния, включая нижнюю пограничную область, жидкое и двухфазное состояние вещества. Таким образом, наш выбор был остановлен на методе гидростатического взвешивания (основоположники метода являются профессор И. Ф. Голубева и его ученики).

Расчетная формула имеет вид:

$$\rho = \frac{G_1 - (G_1 - G_2)}{V_H - V_N}, \text{ кг/м}^3, \quad (5)$$

здесь ρ – плотность опытного вещества при заданной температуре, кг/м<sup>3</sup>; G<sub>1</sub> - вес кварцевого поплавка на воздухе; G<sub>2</sub> - вес кварцевого поплавка, погруженного в опытную жидкость; V<sub>N</sub> – объем кварцевого поплавка; V<sub>H</sub> - объем манганиновой проволоки.

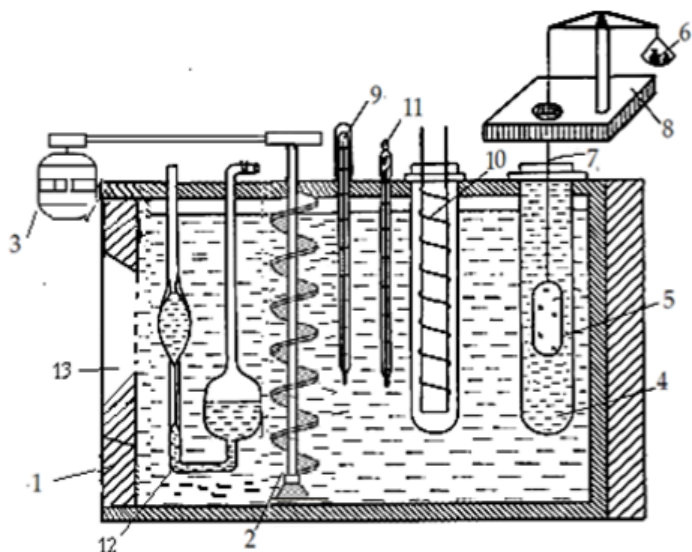


Рисунок 2 - Схематическое изображение опытной установки для экспериментального исследования плотности жидких веществ при атмосферном давлении: 1 - термостат; 2 - мешалка; 3 - электродвигатель; 4 - камера с исследуемым веществом; 5 - кварцевый поплавок; 6 - уравновешивающие разновесы; 7 - манганиновая проволока; 8 - аналитические весы; 9 - ртутный термометр; 10 - нагреватель; 11 - контактный термометр; 12 - вискозиметр Освальда; 13 - окошко

## 2.3. Метод измерения коэффициента динамической вязкости жидкостей и растворов

Динамическую вязкость образцов мы исследовали при помощи капиллярного вискозиметра (рисунок 3).

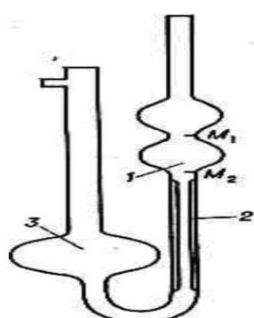
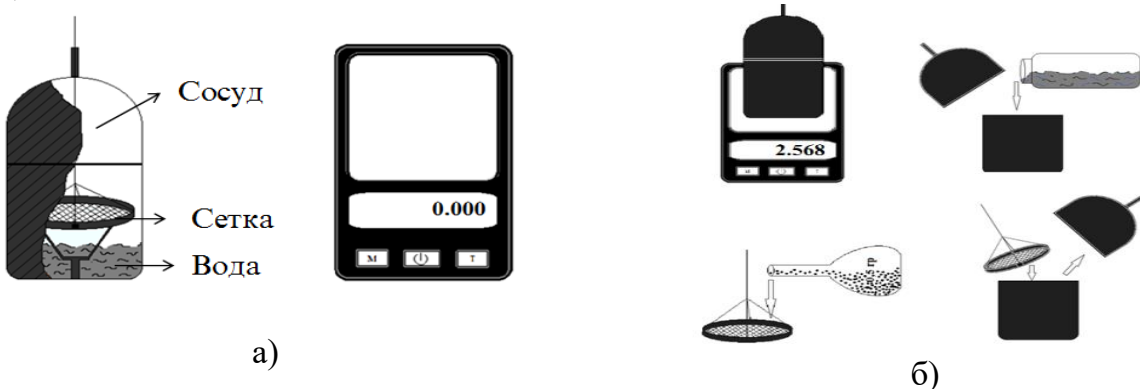


Рисунок 3. Общий вид стеклянного вискозиметра: 1 - расширение; 2 - капилляр; 3 - емкость; M<sub>1</sub>, M<sub>2</sub> – отметки измерения времени

## 2.4. Экспериментальная установка для определения коэффициент адсорбции и массоотдачи зернистых материалов (малый патент РТ №ТJ 1279, 2021, - 5с, № ТJ 1280, 2021, - 7с)

На рисунке 4 представлено опытное устройство, служащее для исследования таких кинетических свойств, как коэффициент адсорбции и массопередачи. Его основными составляющими являются сосуд цилиндрический диаметром 5 и высотой 8 см со съемной сеткой площадью ячеек 1 мм<sup>2</sup>, секундомер, электронные весы (класс точности 0,001г). Опыт проводится следующим образом: на электронных весах взвешиваются по-отдельности сосуд с водой и сетка с образцом. Затем сетка устанавливается в сосуде и проводится увлажнение образца на протяжении 30 минут, фиксируемое секундомером. В такой последовательности через каждые последующие 30 минут проводится взвешивание до полного увлажнения образца, т.е достижения им момента насыщенности.



**Рисунок 4 - Экспериментальная установка для определения коэффициента адсорбции и массопередачи: а – установка; б – электронные весы**

Коэффициенты адсорбции и массопередачи рассчитываются по (малые патенты РТ за номерами №ТJ 824, 2016 и №ТJ 825, 2016):

$$\Gamma = \left[ \frac{m - m_0}{\mu \cdot m_0} \right], \text{ (моль/кг)} \quad (6)$$

$$\beta = \left[ \frac{m - m_0}{S \cdot t} \right], \text{ (кг/м}^2\text{с).} \quad (7)$$

Достоверность результатов по коэффициенту адсорбции, набухания и массопереноса проверялась с помошь измерения контрольных образцов (Патенты РТ за номерами №ТJ 490, 2010; №ТJ 824, 2016; №ТJ 825, 2016).

## Глава 3. МЕТОДЫ ПРИМЕНЕНИЯ ГИДРАЗИНА В КОНДЕНСАТНО – ПИТАТЕЛЬНОМ ТРАКТЕ ДЛЯ ПРЕДОТВРАЩЕНИЯ КОРРОЗИИ

В третьей главе приводится способ гидразинная обработка питательная воды электрических станций. Гидразинная обработка вместе с термической деаэрацией питательной воды котлоагрегата является основным мероприятием для предохранения металла пароконденсатного тракта от коррозии, возникающей из-за присутствия кислорода и удаления окислов железа в питательной и котловой воде и кислорода в конденсаторе турбин. обычно обработка гидразином рекомендована всем ТЭС, работающих на прямоточных котлах высокого давления.

## Глава 4. ИССЛЕДОВАНИЕ ТЕПЛОФИЗИЧЕСКИХ И ТЕРМОДИНАМИЧЕСКИХ СВОЙСТВ РАСТВОРОВ ГИДРАЗИНА В ЗАВИСИМОСТИ ОТ ТЕМПЕРАТУРЫ И КОНЦЕНТРАЦИИ РАСТВОРИТЕЛЕЙ

В глава посвящена результатам опытного исследования кинетических термодинамических и теплофизических свойств растворов нанопорошка гидразина, а также степень их

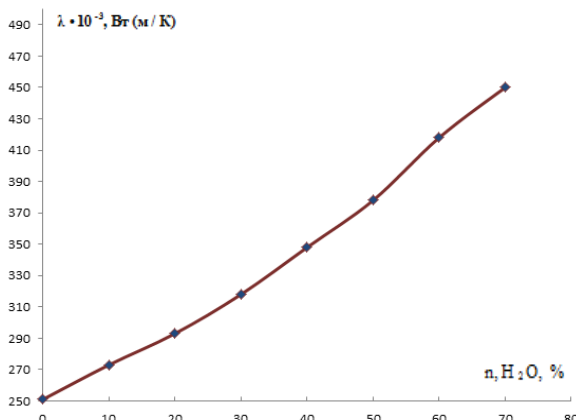
влияния на физико-химические свойства изученных веществ. С помощью экспериментально полученных данных динамической вязкости и плотности исследованных растворов рассчитаны коэффициент кинематической вязкости жидких растворов при различных параметрах состояния и концентрации внедренных в теплоносителях нанопорошка гидразина. Кроме того, зная расчетные данные по динамической и кинематической вязкости рассчитаны критерии Прандтля.

#### **4.1. Результаты опытного изучения коэффициента теплопроводности технических растворов гидразина при различных температурах и атмосферном давлении**

Технические растворы в жидком состоянии, в том числе и гидразин и этиленгликоль очень широко применяются в технике, например, в качестве восстановителя для защиты от коррозии и отложений нагревательных и охлаждающих сред теплоэнергетических оборудования. Надо отметить, что водный раствор этиленгликоля (50% этиленгликоля и 50% воды) чаще применяется на практике. Образцы исследования состоят из химически чистых этиленгликоля и нанопорошка гидразина. Итоги измерения коэффициентов теплопроводности, динамической вязкости и плотности растворов при различных температурах и атмосферном давлении в виде графиков проиллюстрированы на рисунках 5 и 6. Для выявления концентрации воды на ТФС и реологические свойства изучаемых растворов (двухкомпонентная система) на соответствующих координатах получены следующие функциональные зависимости:

$$\lambda = f(n_{\text{H}_2\text{O}}); \rho = f(n_{\text{H}_2\text{O}}); \eta = f(n_{\text{H}_2\text{O}}); v = f(n_{\text{H}_2\text{O}}).$$

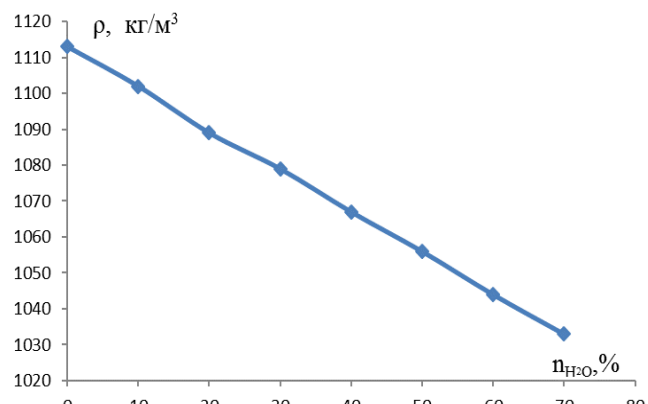
Графики этих зависимостей приведены ниже (рисунки 4 - 7).



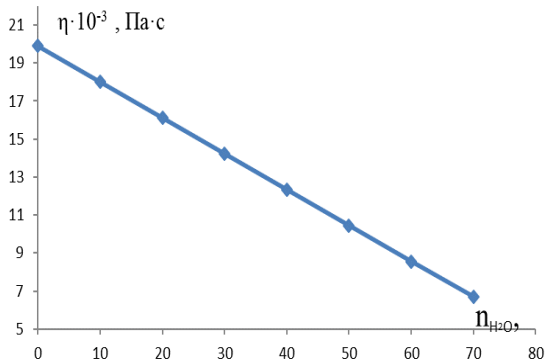
**Рисунок 4** - Зависимость коэффициента теплопроводности жидкого этиленгликоля от концентрации воды при атмосферном давлении и комнатной температуре

В соответствии с рисунком 4, теплопроводность растворов растет на 79,2%. По нашему мнению, это связано с изменением плотности структуры жидких растворов

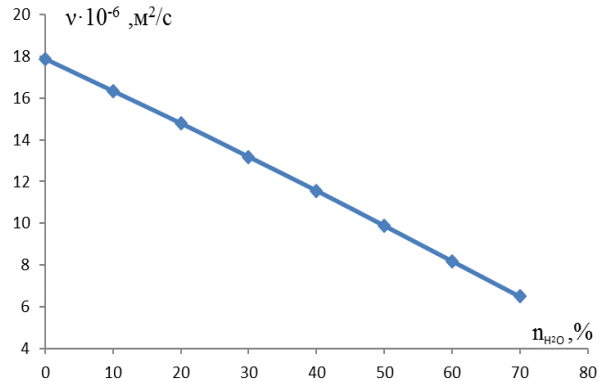
Данные рисунка 5 показывают, что повышение содержания воды в этиленгликоле (двухкомпонентный раствор) понижает плотность системы практически по линейному закону (в среднем до 7,19 %). По нашему предположению, это связано с изменением объема жидких растворов.



**Рисунок 5** - Зависимость плотности жидкого этиленгликоля от концентрации воды при атмосферном давлении и комнатной температуре.



**Рисунок 6 - Динамическая вязкость этиленгликоля в жидким состоянии в зависимости от концентрации воды при атмосферном давлении и комнатной температуре**



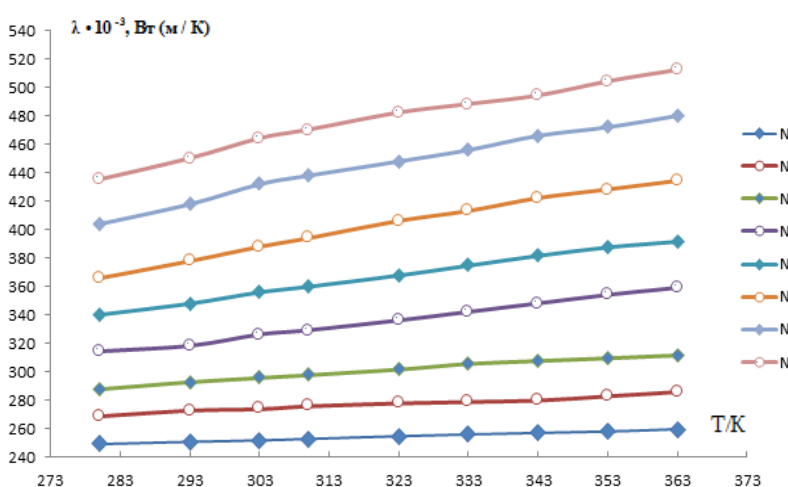
**Рисунок 7 - Зависимость коэффициента кинематической вязкости жидкого этиленгликоля от концентрации воды при атмосферном давлении и комнатной температуре**

Как видно из рисунков 6 и 7, с ростом концентрации воды и динамическая, и кинематическая вязкости этих систем уменьшаются почти по линейному закону, т.е. при добавке воды в этиленгликоль до 70 % в интервале от 0 до 70 % воды изменение динамической и кинематической вязкости будет уменьшаться по линейному закону.

#### **4.2. Теплопроводность двухкомпонентных растворов на основе этиленгликоля при различных температурах, атмосферном давлении и изменении концентрации воды.**

Теплопроводность двухкомпонентных растворов системы этиленгликоль и вода в интервале температуры (280 - 363) К при атмосферном давлении ( $p = 0,101$  МПа) было измерено экспериментальной установкой, работающей методом нагретой нити и запатентованной нами (малый патент Республики Таджикистан № ТJ 923, Душанбе, 2017. - 5с., авторы М.М. Сафаров и др.)

Результаты данных, полученных по этому методу и теорией Maxwella, представлены в виде зависимости  $\lambda = f(T, n_{H_2O})$  (рис. 8).

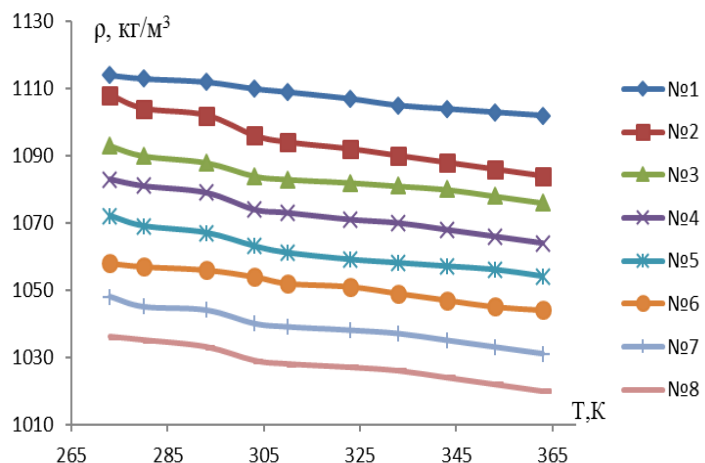


**Рисунок 8 - Зависимость коэффициента теплопроводности  $\lambda$  жидкого этиленгликоля от температуры при атмосферном давлении и различных концентрациях воды:**  
 №1 - (100 % C<sub>2</sub>H<sub>6</sub>O<sub>2</sub>); №2 - (90 % C<sub>2</sub>H<sub>6</sub>O<sub>2</sub> + 10 % H<sub>2</sub>O); №3 - (80 % C<sub>2</sub>H<sub>6</sub>O<sub>2</sub> + 20 % H<sub>2</sub>O); №4 - (70 % C<sub>2</sub>H<sub>6</sub>O<sub>2</sub> + 30 % H<sub>2</sub>O); №5 - (60 % C<sub>2</sub>H<sub>6</sub>O<sub>2</sub> + 40 % H<sub>2</sub>O); №6 - (50 % C<sub>2</sub>H<sub>6</sub>O<sub>2</sub> + 50 % H<sub>2</sub>O); №7 - (40 % C<sub>2</sub>H<sub>6</sub>O<sub>2</sub> + 60 % H<sub>2</sub>O); №8 - (30 % C<sub>2</sub>H<sub>6</sub>O<sub>2</sub> + 70 % H<sub>2</sub>O)

Как видно из результатов экспериментального и теоретического определения значений коэффициента теплопроводности двухкомпонентных растворов с изменением температуры от 280 до 363 К растет почти по линейному закону. Например, у водного раствора под номером 2 - (90 % C<sub>2</sub>H<sub>6</sub>O<sub>2</sub> + 10 % H<sub>2</sub>O) эффективная теплопроводность с повышением температуры растет на 6,3%, для восьмого раствора (30 % C<sub>2</sub>H<sub>6</sub>O<sub>2</sub> + 70 % H<sub>2</sub>O) теплопроводность с повышением температуры увеличивается на 17,7%.

#### 4.3. Плотность двухкомпонентных растворов на основе этиленгликоля при различных температурах, атмосферном давлении и изменении концентрации воды

Опытное устройство, представленное на рисунке 2, нами было применено для экспериментального исследования плотности растворов при атмосферном давлении и комнатной температуре (рис. 9).



**Рисунок 9** - Зависимость плотности  $\rho$  жидкого этиленгликоля от температуры при атмосферном давлении и различных концентрациях воды (обозначения как на рисунке 8).

Как видно из результатов экспериментального и теоретического определения значений плотности двухкомпонентных растворов (рис. 9), изменением температуры от 273 до 363 К плотность уменьшается почти по линейному закону. Например, у раствора под номером 2 (90 %  $C_2H_6O_2$  + 10 %  $H_2O$ ) с повышением температуры плотность падает на 2,21 %, для восьмого раствора (30 %  $C_2H_6O_2$  + 70 %  $H_2O$ ) плотность уменьшается на 1,57 %.

#### 4.4. Коэффициенты динамической и кинематической вязкости двухкомпонентных растворов на основе жидкого этиленгликоля при атмосферном давлении и изменении концентрации воды в них

Динамическая вязкость двухкомпонентных растворов системы этиленгликоль и воды в интервале температуры (280 - 363) К и атмосферном давлении ( $p = 0,101$  МПа) была изменена экспериментальной установкой, работающей методом капиллярного вискозиметра Освальда и теоретическими предположениями, предложенными Тейта. Результаты, полученные этим методом и теорией Тейта представлены в таблице 1.

**Таблица 1.** - Коэффициент динамической вязкости ( $\eta \cdot 10^{-3}$  Па·с) растворов на основе этиленгликоля и воды при различных температурах и атмосферном давлении

| T, K / Растворы | №1    | №2    | №3    | №4    | №5    | №6    | №7    | №8    |
|-----------------|-------|-------|-------|-------|-------|-------|-------|-------|
| 280             | 20,26 | 19,65 | 17,46 | 16,49 | 14,82 | 13,19 | 12,05 | 10,46 |
| 293             | 19,91 | 18,01 | 16,12 | 14,23 | 12,34 | 10,45 | 8,56  | 6,67  |
| 303             | 13,22 | 11,97 | 10,72 | 9,48  | 8,24  | 6,58  | 5,10  | 4,35  |
| 310             | 10,23 | 9,01  | 8,08  | 7,15  | 6,23  | 4,85  | 3,98  | 3,42  |
| 323             | 6,65  | 6,04  | 5,43  | 4,82  | 4,21  | 3,62  | 3,02  | 2,38  |
| 333             | 4,95  | 4,50  | 4,05  | 3,61  | 3,16  | 2,69  | 2,23  | 1,82  |
| 343             | -     | 3,06  | 2,55  | 2,40  | 2,25  | 1,85  | 1,44  | 1,03  |
| 353             | -     | 2,10  | 1,48  | 1,33  | 1,18  | 1,10  | 1,02  | 0,75  |
| 363             | -     | 1,98  | 1,32  | 1,17  | 1,02  | 0,79  | 0,66  | 0,54  |

Примечание: №1 - (100 %  $C_2H_6O_2$ ); №2 - (90 %  $C_2H_6O_2$  + 10 %  $H_2O$ ); №3 - (80 %  $C_2H_6O_2$  + 20 %  $H_2O$ ); №4 - (70 %  $C_2H_6O_2$  - 30 %  $H_2O$ ); №5 - (60 %  $C_2H_6O_2$  + 40 %  $H_2O$ ); №6 - (50 %  $C_2H_6O_2$  + 50 %  $H_2O$ ); №7 - (40 %  $C_2H_6O_2$  - 60 %  $H_2O$ ); №8 - (30 %  $C_2H_6O_2$  + 70 %  $H_2O$ ).

Как видно из результатов экспериментального определения значения коэффициента динамической вязкости двухкомпонентных растворов (таблица 1), при изменении температуры от 280 до 363 К, уменьшается по закону гиперболы. Например, у водного раствора под номером 2 - (90 % C<sub>2</sub>H<sub>6</sub>O<sub>2</sub> + 10 % H<sub>2</sub>O) коэффициент динамической вязкости уменьшается в 8,92 раза, для восьмого раствора (30 % C<sub>2</sub>H<sub>6</sub>O<sub>2</sub> + 70 % H<sub>2</sub>O) это изменение составляет 18,4 раза. Кинематическую вязкость веществ можно рассчитать нижеприведенным выражением, если известны его динамическая вязкость и плотность:

$$v = \frac{\eta}{\rho}, \quad \text{м}^2/\text{с}, \quad (8)$$

где,  $\eta$ - динамическая вязкость, Па·с,  $\rho$ - плотность изучаемых веществ, кг·м<sup>-3</sup>.

Реологические характеристики при нормальных условиях определяются капиллярным вискозиметром и денсиметром.

**Таблица 2.** - Коэффициент кинематической вязкости ( $v \cdot 10^{-6}$ , м<sup>2</sup>/с) растворов на основе этиленгликоля и воды при различных температурах и атмосферном давлении

| T, K / Растворы | №1    | №2    | №3    | №4    | №5    | №6    | №7    | №8    |
|-----------------|-------|-------|-------|-------|-------|-------|-------|-------|
| 280             | 18,21 | 17,79 | 16,02 | 14,94 | 13,86 | 12,69 | 11,53 | 10,11 |
| 293             | 17,88 | 16,34 | 14,80 | 13,19 | 11,57 | 9,89  | 8,19  | 6,49  |
| 303             | 11,91 | 10,89 | 9,99  | 9,45  | 8,72  | 7,35  | 5,96  | 4,93  |
| 310             | 8,62  | 8,06  | 7,46  | 6,67  | 5,87  | 4,80  | 3,83  | 3,36  |
| 323             | 6,16  | 5,53  | 5,02  | 4,52  | 4,08  | 3,49  | 2,94  | 2,58  |
| 333             | 4,38  | 4,13  | 3,69  | 3,34  | 2,89  | 2,57  | 2,15  | 1,77  |
| 343             | -     | 2,81  | 2,46  | 2,22  | 2,02  | 1,81  | 1,57  | 1,25  |
| 353             | -     | 1,98  | 1,79  | 1,46  | 1,12  | 1,06  | 0,99  | 0,73  |
| 363             | -     | 1,83  | 1,23  | 1,11  | 0,97  | 0,81  | 0,64  | 0,53  |

Примечание: №1 - (100 % C<sub>2</sub>H<sub>6</sub>O<sub>2</sub>); №2 - (90 % C<sub>2</sub>H<sub>6</sub>O<sub>2</sub> + 10 % H<sub>2</sub>O); №3 - (80 % C<sub>2</sub>H<sub>6</sub>O<sub>2</sub> + 20 % H<sub>2</sub>O); №4 - (70 % C<sub>2</sub>H<sub>6</sub>O<sub>2</sub> - 30 % H<sub>2</sub>O); №5 - (60 % C<sub>2</sub>H<sub>6</sub>O<sub>2</sub> + 40 % H<sub>2</sub>O); №6 - (50 % C<sub>2</sub>H<sub>6</sub>O<sub>2</sub> + 50 % H<sub>2</sub>O); №7 - (40 % C<sub>2</sub>H<sub>6</sub>O<sub>2</sub> - 60 % H<sub>2</sub>O); №8 - (30% C<sub>2</sub>H<sub>6</sub>O<sub>2</sub> + 70% H<sub>2</sub>O).

По итогам расчетов (таблица 2) видно, что кинематическая вязкость двухкомпонентных растворов с изменением температуры от 280 до 363 К, уменьшается по закону гиперболы. Например, у водного раствора под номером 2 (90 % C<sub>2</sub>H<sub>6</sub>O<sub>2</sub> + 10 % H<sub>2</sub>O) коэффициент кинематической вязкости уменьшается в 8,72 раза, для восьмого раствора (30 % C<sub>2</sub>H<sub>6</sub>O<sub>2</sub> + 70 % H<sub>2</sub>O) это изменение достигает до 18,1 раза.

#### 4.5. Влияние концентрации нанопорошка гидразина на изменение теплопроводности двухкомпонентных растворов (этilenгликоль-воды) при различных температурах и давлениях

Как уже ранее было отмечено, для очистки теплоэнергетического оборудования от отложений, в том числе железа, меди и др. применяют водный раствор гидразина. Для указанных целей применяют как гидразингидрат, так и гидразинсульфат. В связи с этим мы перед собой ставили задачу создать физическую модель и рассчитать процесс теплообмена в этих моделях. Известно, что при расчете процессов тепломассообмена необходимо определить теоретическим, экспериментальным или косвенным способом теплофизические, термодинамические характеристики и кинетические свойства нанопорошка гидразина и их водных растворов при различных температурах, концентрации воды и этиленгликоля.

Как было отмечено, в диссертационном исследовании были созданы 7 образцов, состоящих из двух компонентов, т.е. этиленгликоля и воды. Для очистки поверхностей теплоэнергетического оборудования от пленок металлов и их оксидов предлагаются четыре из них №5 - (60 % C<sub>2</sub>H<sub>6</sub>O<sub>2</sub> + 40 % H<sub>2</sub>O); №6 -(50 % C<sub>2</sub>H<sub>6</sub>O<sub>2</sub> + 50 % H<sub>2</sub>O); №7 - (40 % C<sub>2</sub>H<sub>6</sub>O<sub>2</sub> + 60 % H<sub>2</sub>O); №8 -(30 % C<sub>2</sub>H<sub>6</sub>O<sub>2</sub> + 70 % H<sub>2</sub>O), у которых полностью исследована теплопроводность, плотность, динамические и кинематические характеристики в интервале темпе-

ратуры (273 - 373)К и давления (0,101 - 14,42) МПа). Основные теплофизические и реологические свойства перечисленных образцов при нормальных условиях приведены ниже (таблица 3).

**Таблица 3.** - Основные теплофизические и реологические свойства образцов исследования при нормальных условиях

| Раст-<br>воры | Условные обозначения  | Теплопро-<br>водность,<br>$10^3 \text{ Вт}/(\text{м}\cdot\text{К})$ | Плот-<br>ность,<br>$\text{кг}/\text{м}^3$ | Коэффициент<br>динамической<br>вязкости,<br>$10^3 \text{ Па}\cdot\text{с}$ | Коэффициент<br>кинемати-<br>ческой вязкости,<br>$10^{-6} \text{ м}^2/\text{с}$ |
|---------------|---|---|---|--|--|
| №5            | 60 % $\text{C}_2\text{H}_6\text{O}_2 + 40 \% \text{ H}_2\text{O}$ | 391   | 1067                                      | 12,34  | 11,57  |
| №6            | 50 % $\text{C}_2\text{H}_6\text{O}_2 + 50 \% \text{ H}_2\text{O}$ | 425   | 1056                                      | 10,45  | 9,89   |
| №7            | 40 % $\text{C}_2\text{H}_6\text{O}_2 + 60 \% \text{ H}_2\text{O}$ | 459   | 1044                                      | 8,56   | 8,19   |
| №8            | 30 % $\text{C}_2\text{H}_6\text{O}_2 + 70 \% \text{ H}_2\text{O}$ | 494   | 1033                                      | 6,67   | 6,49   |

Согласно данным, приведенным в таблице 3 можно заключить следующие факты: изменение теплофизических и реологических характеристик растворов для использования в процессе гидразинной обработки технологических аппаратов в теплоэнергетике также наблюдаются при добавке этиленгликоля. В основном изменения характеризуются уменьшением изучаемых характеристик за исключением коэффициента эффективной теплопроводности растворов. Этот факт подтверждается теорией коллоидных растворов.

**Таблица 4.** – Теплопроводность ( $\lambda \cdot 10^3$ , Вт/ (м·К)) =  $f$  (T, n H<sub>2</sub>O) двухкомпонентных растворов (№5) на основе этиленгликоля при высоких параметрах состояния

| T, K | Давление, P, МПа   |      |      |       |       |
|------|--|------|------|-------|-------|
|      | 0,101  | 4,91 | 9,81 | 12,23 | 14,42 |
|      | <i>№5 - (60 % C<sub>2</sub>H<sub>6</sub>O<sub>2</sub> + 40 % H<sub>2</sub>O)</i> |      |      |       |       |
| 280  | 340  | 343  | 346  | 348   | 353   |
| 293  | 348  | 351  | 354  | 357   | 360   |
| 303  | 356  | 359  | 362  | 365   | 368   |
| 310  | 360  | 361  | 366  | 370   | 373   |
| 323  | 368  | 371  | 374  | 377   | 381   |
| 333  | 375  | 378  | 381  | 384   | 388   |
| 343  | 382  | 385  | 389  | 392   | 395   |
| 353  | 388  | 390  | 393  | 396   | 400   |
| 363  | 392  | 395  | 399  | 403   | 406   |
| 373  | -  | 398  | 402  | 405   | 409   |
| 383  | -  | 401  | 404  | 407   | 410   |

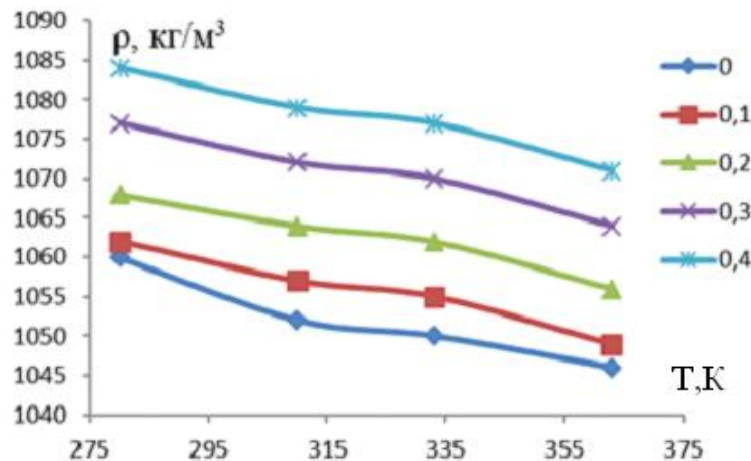
На основе данных по таблице 4 можно заключить, что теплопроводность образцов без нанопорошка гидразина с повышением температуры, давления и концентрации нанопорошка гидразина растут почти по линейному закону.

#### **4.6. Влияние концентрации нанопорошка гидразина на изменение плотности двухкомпонентных растворов (этilenгликоль - вода) при различных температурах и давлениях**

Плотность растворов, как было ранее отмечено, определена экспериментальными приборами, а плотность растворов при изменении температуры и давления была рассчитана с использованием уравнения типа Тейта. Результаты экспериментально - теоретически полученных данных по плотности растворов представлены в виде таблице под номерами №5, №8 в таблице 5.

**Таблица 5.** - Плотность ( $\rho$ , кг/м<sup>3</sup>) =  $f$  (T, P, n H<sub>2</sub>O) двухкомпонентных основных растворов (№5, №8) на основе этиленгликоля без внедрения в них нанопорошка гидразина при различных температурах и давлениях

| T, K   | Давление, P, МПа |      |      |       |       |
|--|------------------|------|------|-------|-------|
|  | 0,101            | 4,91 | 9,81 | 12,23 | 14,42 |
| <i>№5 - (60 % C<sub>2</sub>H<sub>6</sub>O<sub>2</sub> + 40 % H<sub>2</sub>O)</i> |                  |      |      |       |       |
| 273  | 1072             | 1087 | 1102 | 1117  | 1132  |
| 280  | 1069             | 1084 | 1099 | 1114  | 1129  |
| 293  | 1067             | 1082 | 1097 | 1112  | 1127  |
| 303  | 1063             | 1078 | 1093 | 1108  | 1123  |
| 310  | 1061             | 1076 | 1091 | 1106  | 1121  |
| 323  | 1059             | 1074 | 1089 | 1104  | 1119  |
| 333  | 1058             | 1073 | 1088 | 1103  | 1118  |
| 343  | 1057             | 1072 | 1087 | 1102  | 1117  |
| 353  | 1056             | 1071 | 1086 | 1101  | 1116  |
| 363  | 1054             | 1069 | 1084 | 1099  | 1114  |
| <i>№8 - (30 % C<sub>2</sub>H<sub>6</sub>O<sub>2</sub> + 70 % H<sub>2</sub>O)</i> |                  |      |      |       |       |
| 273  | 1036             | 1054 | 1072 | 1090  | 1108  |
| 280  | 1035             | 1053 | 1071 | 1089  | 1107  |
| 293  | 1033             | 1051 | 1069 | 1087  | 1105  |
| 303  | 1029             | 1047 | 1065 | 1083  | 1101  |
| 310  | 1028             | 1046 | 1064 | 1082  | 1100  |
| 323  | 1027             | 1045 | 1063 | 1081  | 1099  |
| 333  | 1026             | 1044 | 1062 | 1080  | 1098  |
| 343  | 1024             | 1042 | 1060 | 1078  | 1096  |
| 363  | 1020             | 1038 | 1056 | 1074  | 1092  |



**Рисунок 10 - Изменение плотности системы растворов в зависимости от температуры при различных концентрациях нанопорошка**

Согласно графику 10 и данным таблицы 5, плотность растворов повышается по мере возрастания концентрации нанопорошка гидразина увеличивается. Для первых измерений это изменение носит линейный характер, а для последующих изменение наблюдается согласно параболическому закону. Например, добавка 0,2 % нанопорошка гидразина повышает плотность раствора на ~1,4 %, а добавка 0,4 % на ~ 2,04 %. По нашему мнению, подобного характера изменения зависят от процесса растворения гидразина.

#### 4.7. Экспериментальные исследования динамической и кинематической вязкости водных растворов этиленгликоля (№5, №6, №7, №8) в зависимости от концентрации гидразина, температуры и давления

Динамическая вязкость растворов изучены при помощи капиллярного вискозиметра с погрешностью 2,6 % при доверительной вероятности  $\alpha=0,95$ . Результаты исследований представлены на рисунке 11.

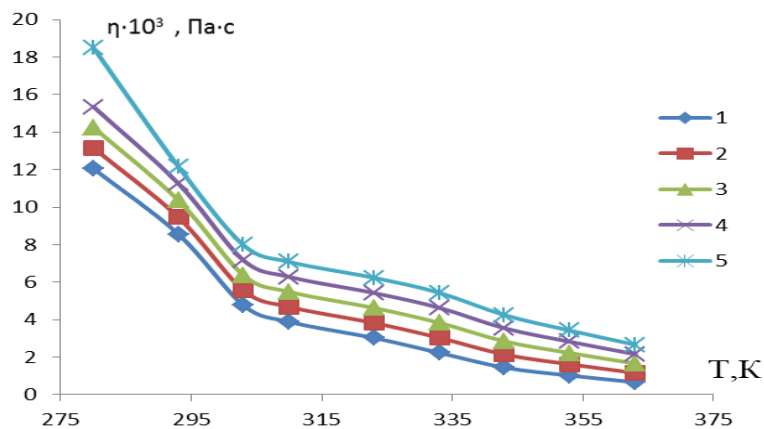


Рисунок 11 - Зависимость коэффициента динамической вязкости двухкомпонентных растворов (образец №7) от температуры при различных давлениях:  
1 - 0,101 МПа; 2 - 4,91 МПа;  
3 - 9,81 МПа; 4 - 12,23 МПа;  
5 - 14,42 МПа

Для определения коэффициента кинематической вязкости обычно используют экспериментально полученные данные по динамической вязкости и плотности изучаемых веществ, которые при нормальных условиях измеряются при помощи вискозиметра и денсиметра. Результаты вычисления кинематической вязкости водных растворов этиленгликоля с и без добавки нанопорошка гидразина при изменении температуры и давления опыта представлены в таблице 6.

Таблица 6. - Коэффициент кинематической вязкости ( $v \cdot 10^{-6}$ , м<sup>2</sup>/с =  $f(T, P, n_{H_2O})$ ) двухкомпонентных водных растворов этиленгликоля (№5, №8) с внедрением в них нанопорошка гидразина (0,4 %) при различных температурах и давлениях

| T, К  | Давление, Р, МПа  |       |       |       |       |
|---|---|-------|-------|-------|-------|
|   | 0,101   | 4,91  | 9,81  | 12,23 | 14,42 |
|   | <i>№5 - [(60 % C<sub>2</sub>H<sub>6</sub>O<sub>2</sub> + 40 % H<sub>2</sub>O) + 0,4 % N<sub>2</sub>H<sub>4</sub>]</i> |       |       |       |       |
| 280   | 15,35   | 16,21 | 17,07 | 17,87 | 18,67 |
| 293   | 11,97   | 12,69 | 13,42 | 14,74 | 17,06 |
| 303   | 8,59  | 9,18  | 9,76  | 11,61 | 11,45 |
| 310   | 6,49  | 7,36  | 7,82  | 9,09  | 9,34  |
| 323   | 4,40  | 5,53  | 5,87  | 6,56  | 7,24  |
| 333   | 3,38  | 4,39  | 4,75  | 5,43  | 6,1   |
| 343   | 2,36  | 3,25  | 3,63  | 4,29  | 4,96  |
| 353   | 1,72  | 2,46  | 2,95  | 3,55  | 4,16  |
| 363   | 1,07  | 1,67  | 2,26  | 2,81  | 3,35  |
| <i>№8 - [(30 % C<sub>2</sub>H<sub>6</sub>O<sub>2</sub> + 70 % H<sub>2</sub>O) + 0,4 % N<sub>2</sub>H<sub>4</sub>]</i> |   |       |       |       |       |
| 280   | 10,84   | 11,77 | 12,70 | 13,58 | 14,46 |
| 293   | 7,78  | 8,61  | 9,43  | 10,22 | 11,00 |
| 303   | 4,72  | 5,44  | 6,16  | 6,85  | 7,54  |
| 310   | 3,60  | 4,35  | 5,09  | 5,80  | 6,50  |
| 323   | 2,48  | 3,26  | 4,03  | 4,75  | 5,46  |
| 333   | 1,78  | 2,52  | 3,25  | 3,93  | 4,61  |
| 343   | 1,08  | 1,77  | 2,46  | 3,11  | 3,75  |
| 353   | 0,82  | 1,40  | 1,98  | 2,55  | 3,12  |
| 363   | 0,56  | 1,03  | 1,50  | 1,99  | 2,49  |

Как видно из результатов, приведенных в таблице 6, с ростом концентрации нанопорошка гидразина в растворе системы этиленгликоля и воды коэффициент кинематической вязкости растет по линейному закону.

#### 4.8. Коэффициент адсорбции нанопорошка гидразина

Как уже отмечалось, для изучения кинетических свойств наших растворов мы воспользовались установкой, описанной в главе 2.4 (рисунок 4), общая относительная погрешность измерения которой при  $\alpha = 95\%$  составляет 0,01 %. Результаты исследования коэффициента адсорбции нанопорошка гидразина в виде графика представлена ниже (рис. 12). Для проведения опытов выбрана 6 проб нанопорошка гидразина. Для удобства их применения мы обозначили образцы порядковым номером: №1 - 0,5 г; №2 - 1 г; №3 - 1,5 г; №4 - 2 г; №5 - 2,5 г; №6 - 3 г.

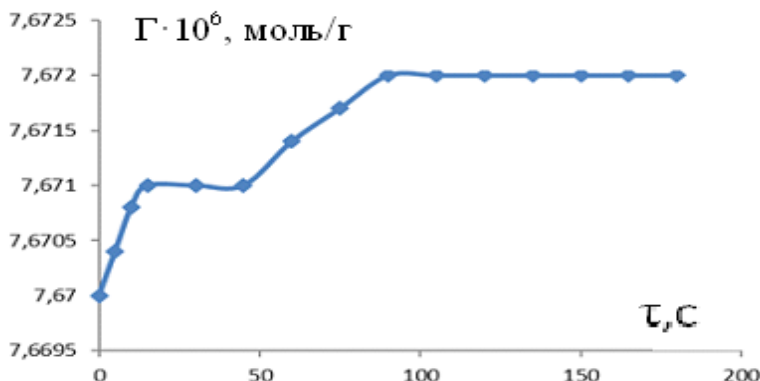


Рисунок 12 - График зависимости коэффициента адсорбции образца №4 от времени выдержки в сетке прибора

Как видно из рисунка 12, график зависимости имеет ступенчатый вид и напоминает процесс кристаллизации твердых тел.

#### 4.9. Влияние нанопорошка гидразина на изменение критерия Прандтля водных растворов этиленгликоля при атмосферном давлении и различных температурах

Согласно проведенным исследованиям теплофизических параметров и теоретическим обоснованиям нашим ниже представлены соответствующие результаты для водных растворов этиленгликоля с добавлением нанопорошка гидразина (№8 - (30 % C<sub>2</sub>H<sub>6</sub>O<sub>2</sub> + 70 % H<sub>2</sub>O) + 0,4 % N<sub>2</sub>H<sub>4</sub>) при разных значениях температуры и атмосферном давлении, в частности теплопроводность, плотность, а также коэффициенты динамической и кинематическая вязкости и число Прандтля (таблица 7).

**Таблица 7.** - Теплофизические свойства растворов системы этиленгликоля и воды с внедрением в них 0,4 % нанопорошка гидразина в зависимости от температуры при атмосферном давлении (№8 (30 % C<sub>2</sub>H<sub>6</sub>O<sub>2</sub> + 70 % H<sub>2</sub>O) + 0,4 % N<sub>2</sub>H<sub>4</sub>])

| T, K | $\rho$ , кг/м <sup>3</sup> | $\lambda \cdot 10^3$<br>$Bm/(m \cdot K)$ | $\eta \cdot 10^3$ ,<br>Па·с | $\alpha \cdot 10^7$<br>$m^2 / c$ | $\nu \cdot 10^6$ ,<br>$m^2 / c$ | $Pr = \frac{\nu}{\alpha}$ |
|------|----------------------------|--|-----------------------------|----------------------------------|---------------------------------|---------------------------|
| 280  | 1064                       | 509                                      | 11,54                       | 3,68                             | 10,84                           | 29,45                     |
| 293  | 1062                       | 522                                      | 7,36                        | 3,72                             | 7,78                            | 20,91                     |
| 303  | 1058                       | 530                                      | 4,90                        | 3,76                             | 4,79                            | 12,74                     |
| 310  | 1057                       | 548                                      | 3,80                        | 3,80                             | 3,60                            | 9,47                      |
| 323  | 1056                       | 556                                      | 2,62                        | 3,82                             | 2,48                            | 6,49                      |
| 333  | 1055                       | 564                                      | 2,01                        | 3,84                             | 1,79                            | 4,66                      |
| 343  | 1054                       | 570                                      | 1,14                        | 3,86                             | 1,08                            | 2,90                      |
| 353  | 1050                       | 575                                      | 0,83                        | 3,90                             | 0,82                            | 2,10                      |
| 363  | 1049                       | 579                                      | 0,59                        | 3,94                             | 0,56                            | 1,42                      |

## Глава 5. АНАЛИЗ И ОБРАБОТКА ЭКСПЕРИМЕНТАЛЬНЫХ ДАННЫХ ПО ТЕПЛОФИЗИЧЕСКИМ И РЕОЛОГИЧЕСКИМ СВОЙСТВАМ РАСТВОРОВ ПРИ РАЗЛИЧНЫХ ПАРАМЕТРАХ СОСТОЯНИЯ

**Пятая глава** посвящена анализу и соответствующим методикам обработки и обобщения полученных экспериментально данных. Представлены расчетные способы таких параметров как плотность, теплопроводности адсорбирующие свойства образцов исследования в зависимости от концентрации нанопорошка гидразина.

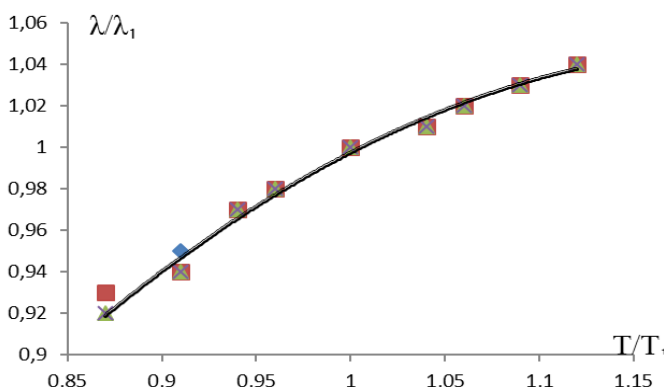
### 5.1. Обработка данных по результатам экспериментального исследования теплопроводности растворов системы этиленгликоля и воды с внедрением в них нанопорошка гидразина

Результаты опытного исследования теплопроводности образцов при атмосферном давлении и разных температурах были обобщены следующим образом.

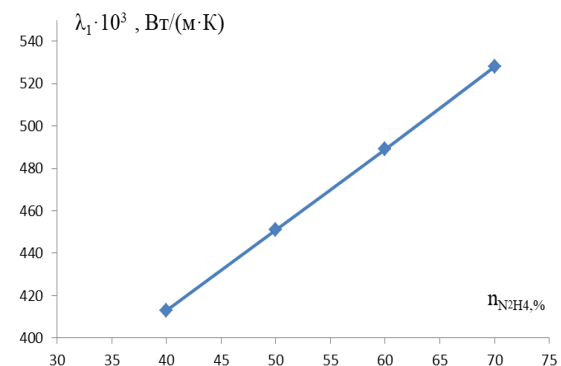
$$\frac{\lambda}{\lambda_1} = f\left(\frac{T}{T_1}\right), \quad (9)$$

где,  $\lambda$  и  $\lambda_1$ -коэффициент теплопроводности исследуемых образцов при различных температурах  $T$ , К и  $T_1$ , К;  $T_1=323$  К.

Выполнимость выражения (9) в виде графической зависимости представлено на рисунке 13. Путем соответствующего анализа было установлено, что  $\lambda_1$  являются значениями, характеризующими концентрацию гидразина в растворе (рис 14).



**Рисунок 13.** - Относительная теплопроводность ( $\lambda/\lambda_1$ ) опытных образцов в зависимости от относительной температуры ( $T/T_1$ ): №5 - (60 %  $C_2H_6O_2 + 40 % H_2O$ ); №6 -(50 %  $C_2H_6O_2 + 50 % H_2O$ ); №7 - (40 %  $C_2H_6O_2 + 60 % H_2O$ ); №8 - (30 %  $C_2H_6O_2 + 70 % H_2O$ )



**Рисунок 14.** - Зависимость  $\lambda_1$  образцов от концентрации нанопорошка гидразина ( $n$ )

Кривая на рисунке 13 имеет следующее выражение:

$$\frac{\lambda}{\lambda_1} = \left[ -1,073 \left( \frac{T}{T_1} \right)^2 + 2,613 \left( \frac{T}{T_1} \right) - 0,542 \right] \quad (10)$$

а прямая на рисунке 14 имеет вид:

$$\lambda_1 = (3,83n^2 + 259,6)10^{-3}, Bm/(m \cdot K). \quad (11)$$

При соответствующей подстановке получим:

$$\lambda = \left[ -1,073 \left( \frac{T}{T_1} \right)^2 + 2,613 \left( \frac{T}{T_1} \right) - 0,542 \right] (3,83n^2 + 259,6)10^{-3}, Bm/(m \cdot K) \quad (12)$$

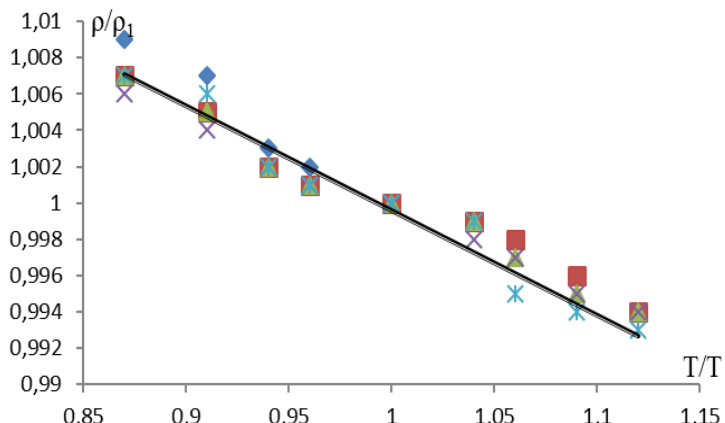
Полученное уравнение (12) служит для численного определения теплопроводности образцов (№5, №6, №7, №8) при различных температурах и концентрации воды с погрешностью около 3,29 %.

## 5.2. Обработка опытных данных плотности изучаемых растворов

Данные по плотности, полученные при атмосферном давлении и разных температурах мы обобщили следующим образом (рисунок 15):

$$\frac{\rho}{\rho_1} = f\left(\frac{T}{T_1}\right), \quad (13)$$

где,  $\rho$  и  $\rho_1$  - плотность опытных образцов при различных температурах  $T$ , К и  $T_1$ , К соответственно;  $T_1 = 323$  К.



**Рисунок 15.** - Относительная плотность ( $\rho/\rho_1$ ) опытных образцов в зависимости от относительной температуры ( $T/T_1$ )

На основе графоаналитической обработки данных (рис. 16) по плотности растворов системы этиленгликоля, воды и нанопорошка гидразина с учетом эмпирических уравнений для  $\rho_1$ , получили общую аппроксимационную зависимость в следующем виде:

$$\rho = \left[ -0,057 \left( \frac{T}{T_1} \right) + 1,057 \right] \cdot [16,294 \ln(n_{N_2H_4}) + 1141,3], \text{ кг/м}^3 \quad (14)$$

Используя (14), можно вычислить плотность растворов (№5, №6, №7, №8), как с нанопорошком гидразина, так без него при различных температурах и концентрации воды со средней погрешностью - 0,09 % (таблица 8).

**Таблица 8.** - Сравнение опытных с расчетными данными водных растворов этиленгликоля с добавлением нанопорошка гидразина (№8 - (30% $C_2H_6O_2$ +70%  $H_2O$ ) + 0,3% $N_2H_4$ )) при различных температурах и атмосферном давлении

| T, К  | 280  | 293    | 303    | 310  | 323    | 333    | 343  | 363  |
|---|------|--------|--------|------|--------|--------|------|------|
| $\rho, \text{кг/м}^3$ , эксперимент                     | 1129 | 1128   | 1123   | 1122 | 1121   | 1120   | 1116 | 1114 |
| $\rho, \text{кг/м}^3$ ,<br>расчёт по уравнению (14)     | 1129 | 1126,5 | 1124,1 | 1120 | 1120,8 | 1118,2 | 1115 | 1113 |
| $\Delta, \%$  | 0    | 0,14   | 0,09   | 0,18 | 0,02   | 0,16   | 0,09 | 0,08 |
| Среднее значение погрешности расчета уравнением (14), % |      |        |        |      | 0,09   |        |      |      |

## 5.3. Данные опытных исследований динамической вязкости растворов на основе этиленгликоля, воды и нанопорошка гидразина и их обработка

Результатов опытного исследования динамической вязкости образцов при атмосферном давлении и разных температурах выполнено так:

$$\frac{\eta}{\eta_1} = f\left(\frac{T}{T_1}\right), \quad (16)$$

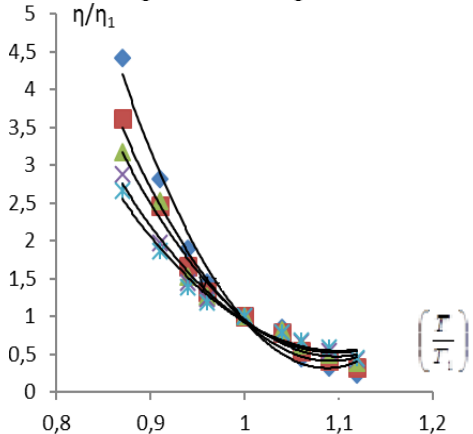
где,  $\eta$  и  $\eta_1$  - коэффициент динамической вязкости исследуемых образцов при различных температурах  $T$ , К и  $T_1$ , К;  $T_1=323$  К.

Выполнимость функциональной зависимости (16) представлена ниже (рисунок 16). Данный график наглядно иллюстрирует совпадение результатов с общей кривой, которая в свою очередь описывается следующим выражением:

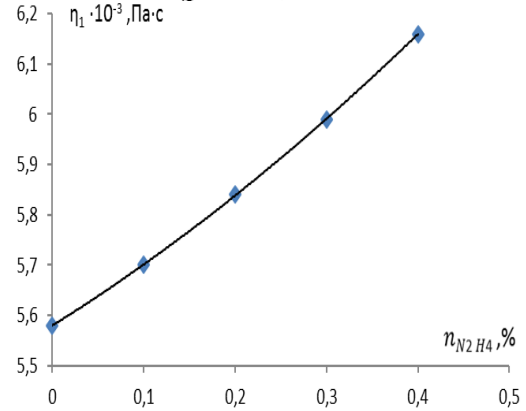
$$\frac{\eta}{\eta_1} = \left[ A \cdot \left( \frac{T}{T_1} \right)^2 - B \left( \frac{T}{T_1} \right) + C \right], \quad (17)$$

здесь А, В и С - коэффициенты уравнения.

Анализом  $\eta_1$  было установлено, что оно носит концентрационный характер изменения нанопорошка гидразина в водном растворе этиленгликоля (рис 17).



**Рисунок 16** - Относительная динамическая вязкость ( $\eta/\eta_1$ ) растворов этиленгликоля и воды с добавкой нанопорошка гидразина от относительного изменения температуры  $T/T_1$ : 1 - 0,1 %  $N_2H_4$ ; 2 - 0,2 %  $N_2H_4$ ; 3 - 0,3 %  $N_2H_4$ ; 4 - 0,4 %  $N_2H_4$



**Рисунок 17** - Зависимость  $\eta_1$  образцов от концентрации нанопорошка гидразина в водном растворе этиленгликоля

Для кривой на рисунке 17, было получено следующее уравнение:

$$\eta_1 = [0,8757 (n_{N_2H_4})^2 + 1,1357 (n_{N_2H_4}) + 5,5797] 10^{-3}, Pa \cdot c \quad (17)$$

Подставив уравнение (16) в (17) получим:

$$\eta = \left[ A \left( \frac{T}{T_1} \right)^2 - B \left( \frac{T}{T_1} \right) + C \right] \cdot [0,7857 (n_{N_2H_4})^2 + 1,1357 (n_{N_2H_4}) + 5,5797] 10^{-3}, Pa \cdot c \quad (18)$$

Таким образом, полученное выражение (18), можно использовать для численного определения динамической вязкости опытных исследованных образцов с изменением температуры при атмосферном давлении. Чтобы выполнить соответствующий расчет надо знать концентрацию нанопорошка и расчетную температуру опыта. Расчет с помощью данного уравнения производится с погрешностью до - 7,32 %, а для некоторых точек погрешность составляет до 15,6 %.

#### 5.4. Обработка экспериментальных данных по кинематической вязкости растворов на основе этиленгликоля с различной концентрацией нанопорошка гидразина

Результаты расчетного исследования кинематической вязкости образцов при атмосферном давлении и разных температурах были обобщены следующим образом:

$$\frac{\nu}{\nu_1} = f\left(\frac{T}{T_1}\right) \quad (19)$$

где,  $\nu$  и  $\nu_1$  - кинематическая вязкость растворов при различных температурах  $T$ , К и  $T_1$ , К;  $T_1=323$  К.

$$\nu = \left[ A \left( \frac{T}{T_1} \right)^2 - B \left( \frac{T}{T_1} \right) + C \right] \cdot \left[ -0,0714(n_{N_2H_4})^2 + 0,1586(n_{N_2H_4}) + 5,4086 \right] 10^{-6}, m^2 / c \quad (20)$$

Таким образом, полученное выражение (20), можно использовать для численного определения кинематической вязкости опытных исследованных образцов с изменением температуры при атмосферном давлении. Чтобы выполнить соответствующий расчет надо знать концентрацию нанопорошка и расчетную температуру. Погрешность расчета кинематической вязкости в данном случае доходит до 9,01 %, лишь для некоторых точек она доходит до 18 %.

**В приложении представлены** таблицы с итогами сравнительного анализа экспериментально полученных с расчетными данными, полученных с помощью эмпирических уравнений по теплопроводности, кинематической и динамической вязкости и коэффициенту адсорбции исследуемых объектов. Приводятся акты о внедрении результатов исследовательской работы.

## ОСНОВНЫЕ РЕЗУЛЬТАТЫ И ВЫВОДЫ

1. Выполнена соответственная модернизация опытного устройства, предназначенного для исследования ТФС жидких веществ (теплопроводность, плотность, динамическая и кинематическая вязкость) при изменении температуры (273 - 363) К и давления (0,101 - 14,42) МПа. Кроме того, с учетом специфических свойств изучаемых веществ нами было усовершенствованы опытные устройства для измерения теплопроводности (метод регулярного теплового режима) и плотности (метод гидростатического взвешивания) [7-А, 8-А, 10-А, 11-А].

2. Согласно опытам, было установлено, что в диапазоне изменения температуры от 273 до 363 К наблюдается рост теплопроводности растворов в среднем до 13,75 %. [1-А, 15-А, 19-А, 24-А].

3. Установлено, что, если добавить 0,1 % нанопорошка гидразина в водный раствор этиленгликоля это приведет к росту теплопроводности на 11,9 %. Если добавка нанопорошка гидразина в растворе составит 0,4 % при T = 363 К, P = 14.42 МПа, то теплопроводность раствора в целом повысится до 17,4 %. [1-А, 4-А, 15-А, 21-А, 24-А]

4. Используя экспериментальные данные по теплопроводности и плотности растворов был произведен расчет ряда термодинамических параметров при изменении температуры от 273 до 363 К и давления от 0,101 до 14,41 МПа с учетом добавки нанопорошка гидразина в раствор до 0,4 %. Также в работе была показана пригодность расчетных методов теплопроводности, вязкости, плотности и критерия Прандтля [1-А, 3-А, 4-А, 6-А, 17-А].

5. Используя результаты экспериментов и соответствующие теоретические закономерности был проведен анализ, обработка и их обобщение, на основе которых были получены аппроксимирующие уравнения, модифицированный вариант уравнения Тейта. На основе полученных эмпирических и полуэмпирических уравнений можно численно определить теплопроводность ( $\sigma_\lambda = 3,6 \%$ ), динамическую вязкость ( $\sigma_\eta = 4,5 \%$ ) и кинематическую вязкость ( $\sigma_v = 3,5 \%$ ) растворов в зависимости от температуры, давления, а также концентрации нанопорошка гидразина в растворе [1-А, 2-А, 3-А, 6-А, 17-А].

6. Установлено, что при добавке до 0.4% нанопорошка гидразина в водный раствор этиленгликоля (30% этиленгликоль + 70% вода) в интервале температуры 280-363 К, кинематическая вязкость уменьшается на 94,8%, а при растворении гидразинового нанопорошка в этом же диапазоне температуры плотность уменьшается на 1,4%. [1-А, 3-А, 6-А, 17-А, 27-А].

7. На основе экспериментов установлено, что добавление 0.4% нанопорошка гидразина в водный раствор этиленгликоля (30% этиленгликоль + 70% вода) в интерва-

ле температуры 280 – 363 К теплопроводность растет на 13,75 %, а температуропроводность растет на 6,6%. [1-А, 4-А, 15-А, 24-А].

8. Основные результаты теоретических и экспериментальных исследований приняты к использованию и внедрены в учебный процесс Таджикского технического университета им. академика М.С. Осими в г. Душанбе, Таджикского государственного педагогического университета им. С. Айни и в Институте промышленности Министерства промышленности и новых технологий Республики Таджикистан (акты о внедрении результатов прилагаются) [1-А – 30-А].

### **Рекомендация, перспективы дальнейшей разработки темы исследования диссертационной работы**

1. Составлены соответствующие таблицы по ТФС (теплопроводность, плотность) и реологическим (динамическая и кинематическая вязкость) свойствам трехкомпонентных систем порошка гидразина в зависимости от его массы в интервале температуры от 270 К до 363 К и коэффициента адсорбции нанопорошков гидразина при комнатной температуре, которые предлагаются в качестве справочных при расчете тепло- и массобменных процессов и аппаратов.

2. Предложенное аппроксимационное уравнение предлагается к применению как для численного определения, так и для соответствующего прогнозирования ТФС и реологических свойств неисследованных тернарных систем в виде порошка в зависимости от изменения параметров состояния и концентрации составных компонентов исследуемых систем.

3. Результаты исследования внедрены в Институте промышленности Министерства промышленности и новых технологий Республики Таджикистан, ТТУ имени академика М.С. Осими и ТГПУ имени Садриддина Айни при расчете теплофизических и термодинамических процессов, а также в качестве справочных данных и в учебном процессе (акты внедрения приведены в приложении к диссертации).

### **ОСНОВНЫЕ ПУБЛИКАЦИИ ПО ТЕМЕ ДИССЕРТАЦИИ**

#### **Материалы опубликованных в журналах входящих в перечень ВАК РТ:**

**[1-А]. Рафиев, С.С.** Влияние воды на изменение коэффициента поверхностного натяжения этиленгликоля при атмосферном давлении /М.М. Сафаров, Х.Х. Назарзода, **С.С. Рафиев**, М.М. Гуломов // Вестник ТНУ. Серия естественных наук, Душанбе, 2017, №2,- С.97 - 101.

**[2-А]. Рафиев, С.С.** Способ обобщения коэффициента адсорбции зернистых материалов (способ Сафарова М.М.) / С.С. Абдуназаров, Х.Х. Назарзода, **С.С. Рафиев** и др. // Вестник ТНУ. Серия естественных наук, Душанбе, 2017, №1/2,- С.132 -137.

**[3-А]. Рафиев, С.С.** Анализ применимости уравнение Тейта к различным классам веществ в конденсированном состоянии на примере плотности. II. Вычисление плотности. / М.М. Сафаров, Т.Р.Тиллоева, **С.С. Рафиев**, и др. // Вестник ТНУ. Серия естественных наук. Душанбе - 2018, №2, - С. 92 - 98.

**[4-А]. Рафиев, С.С.** Модель цилиндрического контакта с плоской подложкой и расчет эффективной теплопроводности нанонити. / М.М. Сафаров, **С.С. Рафиев**, Д.Ш. Хакимов, и др./ Вестник ТНУ. Серия естественных наук. Душанбе, 2018, №2, - С.122 - 127.

**[5-А]. Рафиев, С.С.** Коэффициент адсорбции нанопорошка гидразина в адсорбенте воды при различном времени увлажнения. / **С.С. Рафиев**, М.М. Сафаров, Ш. З. Нажмудинов. // Вестник ТУТ. Душанбе, 2019, №2, (37) - С.22 - 28.

**[6-А]. Рафиев, С.С.** Кинематическая вязкость теплоносителей, внедренных в них нанопорошка гидразина. / **С.С. Рафиев**. // Вестник БГУ имени Носира Хусрава (научный журнал) серия естественных наук. Бохтар, 2021, №2/4 (93) – С. 54 - 58.

## **Изобретение:**

[7-А]. **Сафаров, М.М.** Устройства для определения коэффициента теплопроводности наножидкостей. / М.М. Гуломов, **С.С. Рафиев**, Д.Ш. Раджабова, А.Р Раджабов и др.// Малый патент Республики Таджикистан № TJ 923, 2017. – 5 с.

[8-А]. **Сафаров, М.М.** Комплексная солнечная установка для получения тепловой и электрической энергии / **С.С. Рафиев**, Х.Х. Назарзода, Д.Ш. Раджабова, А. Р. Раджабов, Б.М. Махмадиев и др. / Малый патент Республики Таджикистан № TJ 919, 2017. – 5 с.

[9-А]. **Рафиев, С.С.** Устройства слежения за солнцем. / Абдурахмонов А.Я., Абдуллоев Б.Т., **Рафиев С.С.** Назарзода Х.Х. и др. // Малый патент Республики Таджикистан №1202, 2018. -5 с.

[10-А]. **Рафиев, С. С.** Способ определения коэффициента адсорбции наноматериалов. / Сафаров М. М., Абдуназаров С. С, **Рафиев С.С.**, и др. / Малый патент Республики Таджикистан № TJ 1279, 2021. – 9 с.

[11-А]. **Сафаров, М. М.** Установка для автоматизированного определения теплопроводности твердых тел / Сайдзода К. Б., **Рафиев С.С.**, Сафаров Ш. Р и др. // Малый патент Республики Таджикистан № TJ 1185, 2021. -7с.

## **Публикация в других изданиях:**

[12-А]. **Рафиев, С. С.** Адсорбционные, теплофизические, термодинамические свойства некоторых наночастиц и их влияние на поведение теплоносителей / М.М. Сафаров, Т.Р. Тиллоева, З.Ю. Норов, **С.С. Рафиев** и др. // 10 школа - семинар молодых ученых и специалистов академика РАН В.Е. Алемасова “Проблемы тепломассообмена и гидродинамики в энергомашиностроении”, Казань, 2016. - С. 217 - 220.

[13-А]. **Rafiev, S. S.** Influence of carbon nanotubes, nanometallic to exchange thermophysical and thermodynamics properties of hydrazinehydrate (rocket fuel) in dependence temperature and pressures/ M.M. Safarov, H.A. Zoirov, **S.S. Rafiev** e.t.// Conference book, 10 ICTP “Thermophysical properties measurements in the quality control of substances, materials and products». Dushanbe-Tambov, 3-8 october 2016. - P. 201-218.

[14-А]. **Rafiev, S. S.** Computer modeling of heat transfer process for nanofluids / M.M. Safarov, M.M. Gulomov, D.Sh. Rajabova, **S.S. Rafiev** et. // 4 International computer simulation, China, 2017, - p. 56.

[15-А]. **Рафиев, С.С.** Влияние наночастиц на изменение теплопроводности, температуропроводности диэтилового эфира включая критическое и закритической области параметров состояния./ М. М. Сафаров, М. М. Гуломов, Дж. Ф. Собиров, **С. С. Рафиев**, и др. // Материалы международной конференции фазовые переходы, критические и нелинейные явления в конденсированных средах. / Махачкала, 6 - 9 сентября 2017. - С.433 - 436.

[16-А]. **Rafiev, S. S.** Thermodynamic properties of nano fluids in dependence temperature and pressures. / M.M. Safarov, M.A. Zaripova, T.R. Tilloeva, **S.S. Rafiev** e.t. // 6<sup>th</sup> Rostock International Conference: THERMAL 2017 “Thermophysical Properties for Technical Thermodynamics” Institute of Technical Thermodynamics University of Rostock, Germany, 17–18 July 2017, - P. 77.

[17-А]. **Рафиев, С. С.** Уравнение типа Тейта для расчета плотности жидкостей, растворов при различных температурах и давлениях./ М.М. Сафаров, М.М. Гуломов, С.С. Рафиев и др. // Материалы МНПК “8 Ломоносовских чтения”, Филиал МГУ имени М.В. Ломоносова в г, Душанбе, 27 - 28 апреля 2018 - С.34 - 38.

[18-А]. **Рафиев, С.С.** Физико - химические и адсорбционные свойства жидкого гидразина и хлорида гидразиня. / М.М. Сафаров, **С.С. Рафиев**, Ш.Р. Сафаров, З.К. Хусайнов. // МНПК “Актуальные проблемы преподавания математики и естественных наук в кредитной системе обучения” КТГУ имени Носира Хусрава, Бохтар, 2018 - С. 458 - 461.

[19-А]. **Рафиев, С.С.** Определение коэффициента поверхностного натяжения растворов методом Ребиндера / М.М. Сафаров, А.Р. Раджабов, **С.С. Рафиев**. // Международный вод-

ноэнергетический форум - 2018, КГЭУ, Т. 1. 29 октября - 2 ноября 2018, Казань, Россия - (2018). - С.137 (Scopuse).

[20-А]. Рафиев, С.С. Влияние металлических наночастиц на изменение реологических свойств углеводородов. / М.М. Сафаров, Х.Х. Ойматова, Ш.Р. Сафаров, С.С. Рафиев, С.С. Джумъаев и др. // 6 МНТК студентов, молодых ученных и специалистов “Энергосберегающие и эффективные в технических системах”, Тамбов, 3 - 5 июня 2019, - С. 72 - 73.

[21-А]. Рафиев, С.С. Влияние нанопорошка гидразина на изменение энтропии тернарных систем кремниевой кислоты и многослойных углеродных нанотрубок / М. М. Сафаров, Ш. Р. Сафаров, С.С. Рафиев и др. // Материалы 4 МНК «Вопросы физической и координационной химии», 3 - 4 мая 2019. - С. 195 - 202.

[22-А]. Рафиев, С.С. Вклад нанотрубок и сажи на поведение реологических и термодинамических свойств простых эфиров и хладагентов. / М.М. Сафаров, Б.А. Тимеркаев, С.С. Рафиев и др. / 6 МНТК студентов, молодых ученных и специалистов “Энергосберегающие и эффективные в технических системах”, Тамбов, 3 - 5 июня 2019, - С. 169 - 170.

[23-А]. Рафиев, С.С. Комплексная солнечная установка для получения тепловой и электрической энергии. / Ф. Абдужалилзода, М.М. Сафаров, А.Р. Раджабов, С.С. Рафиев, и др. // Материалы Международной конференции “Фазовые переходы, критические и нелинейные явления в конденсированных средах”, Махачкала, 15 - 20 сентября 2019, - С.420 - 422.

[24-А]. Рафиев, С.С. Влияние нанопорошка гидразина на изменение энтропии, удельной теплоты плавления тернарных систем. / Х.Х. Ойматова, Ш.Р. Сафаров, С.С. Рафиев, М.М. Сафаров, Б.А. Тимеркаев и др. // МНК «Современные проблемы естественных и гуманитарных наук и их роль в укреплении научных связей между странами», Филиал МГУ имени М.В. Ломоносова в г. Душанбе (10 - 11 октября 2019г.). - С. 109 - 113.

[25-А]. Рафиев, С.С. Математические модели динамики адсорбции нанопорошка гидразина. / М.М. Сафаров, С.С. Рафиев. // Материалы МНК «Актуальные проблемы преподавания математики и естественных наук в кредитной системы обучения КТГУ имени Носира Хусрава, (г. Бохтар, 18-19 октября соли 2019). - С.66-68.

[26-А]. Рафиев, С.С. Расчет одного из основного термодинамических потенциалов (энергии Гельмгольца) тернарных систем. / Ш.Р.Сафаров, Х.Х. Ойматова, С.С. Рафиев, М.М. Сафаров. // Сборник научных трудов 29 МНК “Научные тенденции: Вопросы точных и технических наук”, Санкт Петербург 12 июля 2020 г. - 2020. - С.19 - 20 (doi: 10. 18411/sciencepublic – 12 – 07 – 2020 - 03) idsp: science public – 12 – 07 – 2020 - 03, Scopus

[27-А]. Rafiev, S.S. Effect of hydrazine nanopowder on change of adsorption properties of ternary systems during water vapour wetting at room temperature / Н.Н. Ойматова, Sh.R. Safarov, S.S. Rafiev. // IARIA, 2CFP, ICQNM - 2020, 15-19 November, 2020, Ispane, Valenciya,2020. - p.34.

[28-А]. Рафиев, С.С. Влияние нанопорошка гидразина на изменение адсорбционных свойства тернарных систем в процессе увлажнения паров воды при комнатной температуре. / Х.Х. Ойматова, Ш.Р. Сафаров, С.С. Рафиев. // Материалы 10 МНПК «Ломоносовские чтения», Ч.1., Душанбе, 25 - 26 сентября 2020г. - С.53 - 58.

[29-А]. Рафиев, С.С. Расчет одного из основных термодинамических потенциалов (энергии Гельмгольца) тернарных систем. / Ш.Р. Сафаров, Х.Х. Ойматова, С.С. Рафиев, М.М. Сафаров, М.А. Файзова. // Научные тенденции: Вопросы точных и технических наук (Сборник научных трудов), Санкт - Петербург, 2020, - С. 19 - 21.

[30-А]. Рафиев, С. С. Влияние нанопорошка гидразина на изменение энергии Гиббса в тернарных системах. / Х.Х. Ойматова, Ш.Р. Сафаров, Дж. Ф. Собиров, М.М. Сафаров, С.С. Рафиев. // Сборник научных трудов. Инновация, Наука, Образование, (научный журнал) М. 2021, №27, - С.917 - 925.

**ВАЗОРАТИ МАОРИФ ВА ИЛМИ ҶУМҲУРИИ ТОЧИКИСТОН  
ДОНИШГОХИ ДАВЛАТИИ ОМӮЗГОРИИ ТОЧИКИСТОН  
БА НОМИ САДРИДДИН АЙӢ**

*Бо ҳуқуқи дастнавис*



**РУД 513.12 (575.3)**

**РАФИЕВ Сайдбек Самиевич**

**ТАДҚИҚИ ХОСИЯТҲОИ ГАРМОФИЗИКӢ ВА ТЕРМОДИНАМИКИИ  
ГАРМИБАРАНДАҲОИ НАНОХОКАИ ГИДРАЗИН ВОРИДКАРДАШУДА**

**Ихтисоси 01.04.14 – Физикаи ҳарорат ва назарияи техникаи гармо**

**АВТОРЕФЕРАТИ  
рисола барои дарёфти дараҷаи илмии  
номзади илмҳои техникий**

**Душанбе – 2024**

**Рисола дар кафедраи «Физикаи умумӣ»-и Донишгоҳи давлатии омӯзгории  
Тоҷикистон ба номи Садриддин Айни иҷро шудааст.**

**Роҳбари илмӣ:**

**Назарзода Ҳайрулло Ҳолназар (Назаров  
Ҳайрулло Ҳолназаровиҷ)** - доктори илмҳои  
техникӣ, дотсент, ректори Донишгоҳи давлатии  
тиҷорати Тоҷикистон

**Муқарризони расмӣ:**

**Баранов Игорь Владимирович** – доктори илҳои  
техникӣ, профессор, директори Маркази омуз-  
шии “Самаранокии системаҳои муҳандисӣ” - и  
МФДА ТО «Донишгоҳи миллии тадқиқотии  
ТИМО (ш. Санкт-Петербург)

**Назаров Ҳолмурод Марипович**, - доктори  
илмҳои техникӣ, профессор, директори Филиали  
Агентии амнияти химиявӣ, биологӣ, радиатсионӣ  
ва ядроии Академияи миллии илмҳои Тоҷикистон  
дар вилояти Суғд.

**Муассисаи пешбар:**

**Донишгоҳи технологији Тоҷикистон  
(ш. Душанбе)**

Ҳимояи диссертатсия «15» апрели соли 2024, соати «11:00» дар ҷаласаи шурои  
диссертационии **6D.КОА-041**, назди Донишгоҳи техникии Тоҷикистон ба номи академик  
М.С. Осимӣ, дар суроғаи зерин баргузор мегардад: 734042, ш. Душанбе, хиёбони акад.  
Раҷабовҳо 10 (толори маҷlisҳои шуроҳои диссертационӣ).  
e-mail: [d.s6d.koa.041@yandex.ru](mailto:d.s6d.koa.041@yandex.ru)

Тақризҳоро ба автореферат (дар ду нусха), ки бо мӯҳри муассиса тасдиқ шудаанд,  
ҳоҳиш менамоем ба суроғаи зерин равон намоед: 734042, ш. Душанбе, хиёбони акад.  
Раҷабовҳо 10, Донишгоҳи техникии Тоҷикистон ба номи акад. М.С. Осими, ба котиби  
илмии шурои диссертационии 6D. КОА-041, н.и.т., дотсент Тағоев С.А.

Бо рисола ва автореферати он дар китобхонаи донишгоҳи техникии Тоҷикистон ба  
номи академик М. С. Осимӣ ва дар сайти расмии донишгоҳ шинос шудан мумкин аст:  
<http://ttu.tj>.

Автореферат санаи «\_\_\_\_» \_\_\_\_ с. 2024 ирсол шуд.

**Котиби илмии шурои  
диссертационии 6D. КОА-041,  
н.и.т., дотсент**



**Тағоев С.А.**

## ТАВСИФҲОИ УМУМИИ РИСОЛА

**Муҳиммияти мавзӯй.** Рушди физикаи ҳолати моеъ аз маълумот дар бораи хосиятҳои гармофизикӣ ва термодинамикии моеъҳо ва маҳлулҳо сарчашма мегирад. Ин маълумот дар соҳаи омӯзиши механизмҳои гармиинтиқолдихӣ, таъсири байниҳамдигарии зарраҳо, моделсозии соҳтори моддаҳои моеъ, омӯзиши равандҳои ташаккули маҷмуаи молекулавӣ ва вайроншавии онҳо, ҳалли мушкилоти омехта ва ҳалшавандагӣ, инчунин равандҳои ба онҳо алоқаманди тағийребии хосиятҳои моддаҳо саҳми назаррас дорад.

Этиленгликол ва маҳлулҳои обии он бо хокай наногидразин аз ҷиҳати техникӣ бо он ҷолибанд, ки онҳо метавонанд дар соҳтмон, мошинсозӣ ва дигар соҳаҳо бо истифода аз намудҳои гуногуни сорбентҳо, ҳалқунандаҳо ва ҷасонандаҳо истифода шаванд. Аз ин рӯ, истифодаи чунин моддаҳо тадқики маҷмӯи хосиятҳои гармофизикӣ ва термодинамикии онҳоро талаб мекунад, ки ба муайян кардани соҳаи оқилонаи истифодаи онҳо имкон дода, бешубҳа муҳим аст ва муносибати илмӣ-асоснокро ба ҳалли он талаб мекунад.

Дар кори мазкур тадқиқот ба ҳалли таҷрибавӣ-назариявии ин масъала баҳшида шудааст, ки мавзӯи он омӯзиши хосиятҳои физикию химиявӣ (зичӣ, гармигузаронӣ ва ғайра), хосиятҳои реологӣ (ҷаспакии кинематикӣ ва динамикӣ) ва кинетикии этиленгликол ва маҳлулҳои обии он бо иловаҳои наноҳокай гидразин дар ҳарорат ва фишорҳои гуногун, ки ба истифодаи самараноки онҳо ҳамчун гармибаранда ё ҷисми корӣ мусоидат мекунад, дар равандҳои интиқоли масса ва гармӣ, инчунин ҳангоми таҳияи моделҳои математикии ин равандҳоро дар бар мегирад. Дар ин кор инчунин имкониятҳои ба даст овардани вобастагиҳои коррелятсионӣ, ки муносибати байни параметрҳои номбаршударо муқаррар мекунанд, баррасӣ карда мешаванд.

**Маводоҳои тадқиқотӣ:** этиленгликол ва маҳлулҳои обии он бо концентратсияҳои гуногуни наноҳокай гидразин.

**Дараҷаи таҳияи мавзӯи тадқиқот.** Масъалаҳои тадқики хосиятҳои асосии гармофизикӣ, термодинамикӣ ва реологии моеъҳо ва маҳлулҳоро дар шакли тоза ва бо миқдори гуногуни нанозарраҳо дар ҳарорат ва фишори гуногун на танҳо олимони ватанӣ, инчунин олимони ҳориҷӣ низ машғуланд. Масалан, тадқиқоти К.Д. Гусейнов (Боку), В.Я. Рудняк, В.М. Терехов (Новосибирск), Чои, Д. Боне (Олмон), Ч. Никос (Юнон), Тонгфан Сан, Аи Хуан (Хитой) ва ғайра, инчунин корҳои назариявии Гамилтон, Кроссер, Ҳашин - Штрикман, Максвелл, Кихара ва Викс – Чендерсон ва ғайра. Механизми интиқол қисман таҳқиқ карда шудааст, аммо саволҳо оид ба сабабҳо ва механизмҳои ин хосиятҳо барои гурӯҳҳои алоҳидай моеъҳои органикии тоза ва ҳам бо иловаи нанозарраҳо ошкор карда нашудаанд.

**Мақсади рисола:** тадқики комплексии таҷрибавӣ-назариявии хосиятҳои физикию химиявӣ (коэффициенти гармигузаронӣ, зичӣ, хосиятҳои реологӣ ва кинетикӣ)-и маҳлулҳои обии этиленгликол ҳангоми параметрҳои гуногуни ҳолат ва концентратсияи наноҳокай гидразин.

Барои ноил шудан ба ҳадафи гузошташуда, **вазифаҳои** дар поён овардашуда бояд ҳал карда шаванд:

- асоснок кардани зарурияти истифодаи усулҳои ноқили тафсон, усули гидростатикӣ, вискозиметри капиллярӣ ҳангоми тадқики таҷрибавии хосиятҳои гармофизикӣ, реологӣ ва кинетикии маводҳои тадқиқот;

- гузаронидани тадқиқоти комплексии таҷрибавӣ-назариявии хосиятҳои гармофизикӣ (зичӣ, гармигузаронӣ), реологӣ (коэффициентҳои ҷаспакии динамикӣ ва кинематикӣ) ва хосиятҳои кинетикии маводҳои тадқиқот ҳангоми параметрҳои гуногуни ҳолат ва концентратсияи наноҳокай гидразин;

- ба даст овардани муодилаҳои эмпирикӣ, ки вобастагии хосиятҳои гармофизикӣ, реологӣ ва кинетикии маводҳои тадқиқотиро аз параметрҳои ҳолат ва концентратсияи наноҳокай гидразин муқаррар мекунанд.

#### **Навғонии илмӣ:**

1. Дастгоҳҳои таҷрибавӣ барои муайян кардани гармигузаронии наномоеъҳо сохта шудаанд (патенти хурди ҶТ № ТJ 923, 2017. 5 с.) ва коэффициенти адсорбсияи наномаводҳо (патенти хурди ҶТ ТJ 1279, 2021. 9 с.).

2. Қиматҳои таҷрибавии коэффициенти гармигузаронӣ, зичӣ, коэффициентҳои часпакии динамикӣ ва кинематикии этиленгликол ва маҳлулҳои обии он бо концентратсияҳои гуногуни наноҳокай гидразин дар ҳудудҳои ҳарорати (273-363) К ва фишори (0,101-14,42) МПа ба даст оварда шудааст.

3. Дар асоси маълумоти таҷрибавӣ қиматҳои ҳисобшудаи гармигузаронӣ, часпакӣ, зичӣ ва адади Прандтл барои этиленгликол ва маҳлулҳои обии он бо концентратсияҳои гуногуни наноҳокай гидразин дар ҳудуди ҳарорати (273-363) К ва фишори (0,101-14,42) МПа ба даст оварда шудааст.

4. Дар асоси коркард ва ҷамъбасти маълумотҳои таҷрибавӣ муодилаҳои эмпирикӣ барои ҳисоб кардани коэффициенти гармигузаронӣ, зичӣ, коэффициентҳои часпакии динамикӣ ва кинематикии этиленгликол ва маҳлулҳои обии он бо концентратсияҳои гуногуни наноҳокай гидразин дар ҳудуди ҳарорати (273 - 363) К ва фишори (0,101 - 14,42) МПа ҳосил карда шудаанд.

#### **Аҳамияти назариявӣ ва амалии рисола:**

1. Ҷадвалҳои муфассали гармигузаронӣ, зичӣ, коэффициентҳои часпакии динамикӣ ва кинематикии этиленгликол ва маҳлулҳои обии он бо концентратсияҳои гуногуни наноҳокай гидразин дар ҳудудҳои ҳарорати (273-363) К ва фишори (0,101 - 14,42) МПа тартиб дода шудаанд, ки онҳоро ба ташкилотҳои лоиҳавӣ барои татбиқ дар равандҳои гуногуни химиявӣ дар соҳаи энергетикаи гармо ва мошинсозӣ тавсия додан мумкин аст.

2. Натиҷаҳои тадқиқот оид ба гармигузаронӣ, зичӣ, коэффициентҳои часпакии динамикӣ ва кинематикии этиленгликол ва маҳлулҳои обии он бо концентратсияҳои гуногуни наноҳокай гидразин дар ҳудудҳои ҳарорати (273 - 363) К ва фишори (0,101 - 14,42) МПа дар Институти саноати Вазорати саноат ва технологияҳои нави ҶТ, дар ДДОТ ба номи С. Айнӣ, дар ДТТ ба номи акад. М. С. Осимӣ ҳангоми ҳисоб кардани реакторҳои моделӣ ва равандҳои технологӣ ҷорӣ карда шудаанд ва маълумоти таҷрибавӣ ҳамчун маълумотнома истифода мешаванд (санадҳои татбиқ замима гардидааст).

3. Маълумоти таҷрибавии бадастомада ба сифати маълумотнома барои тадқиқи системаҳои маҳлулҳои техникии ду ва секомпонента метавонанд ҳангоми соҳтани моделҳои математикӣ ва физикӣ дар ҳисобкуниҳои муҳандисӣ ва конструкторӣ барои муқаррар ва интиҳоби речрои самараноки механизмҳо ва дастгоҳҳои гуногун истифода шаванд.

4. Бо истифода аз маълумотҳои таҷрибавӣ оид ба зичӣ, гармигузаронӣ ва хосиятҳои реологии гурӯҳи маҳлулҳои тадқиқшуда дар фишор ва тағйирёбии ҳарорати таҷрибахо муодилаҳои эмпирикӣ ва муодилаи ҳолат (дар шароити тағйиребии фишор ва ҳарорати таҷриба) ба даст оварда шудаанд. Бори аввал барои гурӯҳи тадқиқшудаи наномоеъҳо муодилаҳои наవъи Тейта, Мамедов ва Ахундов истифода шудаанд ва инчунин коэффициентҳои онҳо бо усули ҳисобкунӣ ба даст оварда шудааст.

5. Дастгоҳҳои соҳташуда барои чен кардани зичӣ, гармигузаронӣ (усули ноқили тафсон, гармкуни монотонӣ, усули гидростатикӣ)-и маҳлулҳои дар Дошишгоҳи давлатии омӯзгории Тоҷикистон ба номи Садриддин Айнӣ, дар Дошишгоҳи техникии Тоҷикистон ба номи академик М.С. Осимӣ, инчунин дар Институти саноат ва технологияҳои нави Ҷумҳурии Тоҷикистон истифода мешаванд (санадҳои татбиқ замима карда шудааст).

**Дарацаи эътимоднокии натицаҳо.** Дурустии натицаҳои тадқиқот таъмин карда мешаванд:

- бо истифодаи асбобҳо ва дастгоҳҳое, ки аз озмоиши даҳлдор гузаштаанд, ки натицаҳои ченкуниро бо дақиқии қаноатбахш тақрор мекунанд;
- мувофиқати қаноатбахши натицаҳои бадастомада бо натицаҳои дар ҷараёни таҷрибаҳо бо усулҳои дигари таҳлил ба даст овардашуда;
- таъмини пурраи метрологии асбобҳои ченкуни, инчунин истифодаи дурусти назарияи озмоиш ва хатогиҳои ченкуни ва мувофиқати қаноатбахши маълумоти ҳисобкуни ва таҷрибай аз рӯи параметрҳои тадқиқшуда.

**Ба ҳимоя пешниҳод мешаванд:**

- дастгоҳҳои таҷрибай барои муайян кардани гармигузаронии наномоеъҳо (патенти хурди ҶТ № ТJ 923, 2017. 5 с.) ва коэффициенти адсорбсияи наномаводҳо (патенти хурди ҶТ № ТJ 1279, 2021. 9 с.);
- қиматҳои таҷрибай оид ба коэффициенти гармигузаронӣ, зичӣ, коэффициентҳои часпакии динамикӣ ва кинематикии этиленгликол ва маҳлулҳои обии он бо концентратсияҳои гуногуни наноҳоҳои гидразин дар ҳудуди ҳарорати (273-363) К ва фишори (0,101-14,42) МПа;
- қиматҳои ҳисобшудаи коэффициенти гармигузаронӣ, часпакӣ, зичӣ ва адади Прандтл барои этиленгликол ва маҳлулҳои обии он бо концентратсияҳои гуногуни наноҳоҳои гидразин дар ҳудуди ҳарорати (273 - 363) К ва фишори (0,101 - 14,42) МПа;
- муодилаҳои эмпирикӣ барои ҳисоб кардани коэффициенти гармигузаронӣ, зичӣ, коэффициентҳои часпакии динамикӣ ва кинематикии этиленгликол ва маҳлулҳои обии он бо концентратсияҳои гуногуни наноҳоҳои гидразин дар ҳудуди ҳарорати (273-363) К ва фишори (0,101-14,42) МПа.

**Саҳми шаҳсии муаллиф** дар интиҳоби усулҳои даҳлдор ҳангоми гузоштани вазифаҳои тадқиқот, коркард, омӯзиш ва таҳлили адабиёти ба самти тадқиқот баҳшидашуда, иҷрои маҷмӯи тадқиқоти назариявӣ - таҷрибай оид ба ҳосиятҳои гармофизикии маводҳои тадқиқоти ва коркарди онҳо, муқаррар кардани қонуниятҳои рафтори намунаҳо, инчунин ҷамъбости кор мебошад. Тадқиқот, таҳия ва нашри мақолаҳо дар маҷаллаҳои илмӣ аз ҷониби муаллиф бо дастирии роҳбари илмӣ анҷом дода шудааст.

**Баррасии натицаҳои рисола.** Натицаҳои асосии кори илмии пешниҳодшуда дар **конференсҳо ва симпозиумҳои байналмилалии** зерин пешниҳод карда шуданд: 10 школа - семинар молодых ученых и специалистов академика РАН В.Е. Алемасова “Проблемы тепломассообмена и гидродинамики в энергомашиностроении”, Казань (2016); 10 Международная теплофизическая школа “Теплофизические исследования и измерения при контроле качества веществ, материалов и изделий”, Душанбе-Тамбов, (2016); Международная конференция «Фазовые переходы, критические и нелинейные явления в конденсированных средах», г. Махачкала (2017); 7 Международная научно-практическая конференция «Независимость - основа развития энергетики страны», Боктар (2017); 1-я научно - практическая Международная конференция “Информационные технологии в управлении и моделировании мехатронных систем”, Тамбов (2017); Научно-практическая конференция “Ломоносовские чтения”, Филиал МГУ им. М.В. Ломоносова в г. Душанбе (2017); Научно - практическая конференции “8 - е Ломоносовские чтения”, Филиал МГУ имени М.В. Ломоносова в г. Душанбе (2018); Международный водно-энергетический форум - 2018. КГЭУ, Казань (2018); 4 Международная научная конференция «Вопросы физической и координационной химии», Душанбе (2019); 6 Международная научно - техническая конференция студентов, молодых ученых и специалистов “Энергосберегающие и эффективность в технических системах”, Тамбов (2019); Международная научная конференция «Современные проблемы естественных и гуманитарных наук и их роль в укреплении научных связей между странами», посвящённая 10 - летию Филиала

МГУ имени М.В. Ломоносова в г. Душанбе (2019); 29 Международная научная конференция “Научные тенденции: вопросы точных и технических наук”, Санкт Петербург (2020); IARIA, 2 CFP, ICQNM - 2020, Ispane, Valenciya (2020); 10 научно - практическая конференция “Ломоносовские чтения”, Душанбе (2020).

**Аз рӯи натиҷаҳои рисола** 30 корҳои илмӣ нашр гардидааст, ки 6-тои он дар маҷаллаҳои тавсиянамудаи КОА назди Президенти Ҷумҳурии Тоҷикистон, аз ҷумла як нашрияи ягона (бе ҳаммуаллифон) ва 19 тезиси мақолаҳо нашр шуда, 5 патенти хурди Ҷумҳурии Тоҷикистон гирифта шудааст.

**Соҳтор ва ҳаҷми кор.** Рисола аз муқаддима, панҷ боб, ҳулосаҳо, рӯйхати адабиёти истифодашуда (158 номгӯ) ва замима иборат аст. Рисола дар 204 саҳифаи матни компьютерӣ оварда шуда ва 42 ҷадвал, 46 расм дорад (замима дар 47 саҳ.).

**Мутобиқати шиносномаи ихтисос.** Дар мавзӯъ, усулҳои тадқиқоти аз тарафи муқаррароти илмӣ пешниҳод шудаи рисола ба шиносномаи ихтисоси кормандони илмии 01.04.14 - “Физикаи ҳарорат ва назарияи техникаи гармо” мувоғиқ мебошад, дар қисми банди 5 “Тадқиқи таҷрибай ва назариявии конвексияи яқфаза, озод ва маҷбури дар ҳудудҳои васеъи гармибарандаҳо, параметрҳои речави ва геометрии сатҳҳои гармиинтиқолдиҳандаҳо” дар пункти 7 “тадқиқи таҷрибави ва назариявии равандҳои интиқоли яқҷояи гармӣ ва масса дар маҳлулҳои бинари ва бисеркампонента бо иловаи нанозарачаҳои саҳт аз ҷумла наномоеъҳои аз ҷиҳати химияви таъсиркунанда”.

## МАЗМУНИ АСОСИИ РИСОЛА

Дар **муқаддима** аҳамияти мавзӯи тадқиқотии интиҳобшуда, аҳамияти илмӣ ва амалии онро асоснок карда шудааст.

### Боби 1. ХОСИЯТҲОИ ФИЗИКИЮ ХИМИЯВИИ ГИДРАЗИН ВА МАҲЛУЛҲОИ ОН (ШАРҲИ АДАБИЁТ)

Дар **боби яқум** шарҳи муҳтасари адабиёт оид ба омӯзиши хосиятҳои гармофизикӣ, реологӣ ва кинетикии маҳлулҳои техникӣ оварда шудааст, инчунин натиҷаҳо оид ба омӯзиши татбиқи амалии натиҷаҳои тадқиқоти муаллифони гуногун ва баррасии даҳлдори адабиет оид ба омӯзиши гидразин ва этиленгликол пешниҳод карда мешаванд.

### Боби 2. УСУЛҲОИ ТАҶРИБАВИИ ТАДҚИҚИ ХОСИЯТҲОИ ГАРМОФИЗИКӢ ВА РЕОЛОГИИ МАҲЛУЛҲО ДАР ШАРОИТҲОИ ГУНОГУН

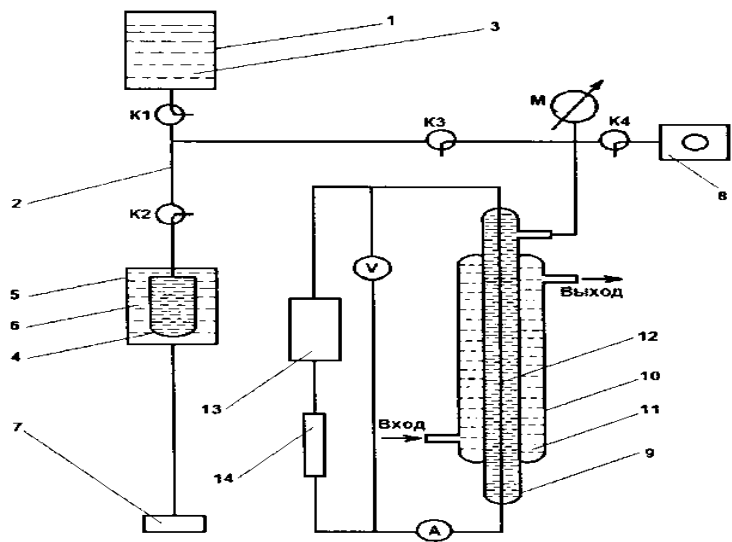
**Боби дуюм ба** тавсифи схемаҳо ва тартиби кори дастгоҳҳо ва асбобҳое бахшида шудааст, ки ҳангоми тадқиқи гармигузаронӣ, часпакии динамикӣ ва зичӣ вобаста ба параметрҳои гуногуни ҳолат (ҳарорат, фишор) ва концентратсияи гидразин истифода мешаванд. Дарҷаи таъсири наноҳоҳои гидразин ба тағиیرёбии хосиятҳои термодинамикӣ ва гармофизикӣ (коэффициенти гармигузаронӣ, коэффициентҳои часпакии динамикӣ ва кинематикӣ)-и маҳлулҳои техникӣ нишон дода шудааст.

#### 2.1. Дастгоҳ барои муайян кардани коэффициенти гармигузаронии нано - моеъҳо (усули ноқили тафсон)

Унсурҳои асосии дастгоҳ барои муайян кардани коэффициенти гармигузаронии наномоеъҳо (усули ноқили тафсон) аз насоси вакуумӣ ва манометр иборат мебошад, ки тавассути ҷуммак бо зарфи доҳилии найҷаи ченкунанда пайваст карда шудаанд, ки дар навбати ҳуд дар зарфи моеъи термостатикӣ (зарфи беруна) ҷойгир карда шудааст. Дар зарфи доҳилӣ гармкунак (мӯяки тафсон) ҷойгир аст, ки бо манбаи таъминоти барқи доимӣ, резистор, амперметр ва вольтметр пайваст шудаанд. Дар дастгоҳ зарфи аз пӯлоди зангназананда соҳташуда бо намунаи тадқиқотӣ пур карда мешавад. Зарф тавассути ҷуммакҳо бо ҳалтаҳои полиэтиленӣ пайваст карда шудааст, ки дар зарфи пур аз глицерин, ки бо манометри борпоршениӣ пайваст карда шудааст, ҷойгир карда шудааст. Насоси вакуумӣ ва

манометр ба зарфи дохилии найчай ченкунй пайваст карда шудаанд. Найчай ченкунанда инчунин дар зарф бо мұхити термостатикй (ҳаво) қойғир карда шудааст. Дар зарфи дохилй гармкунаки никелй дар шакли ноқил қойғир карда шудааст, ки занчири барқиро сарбаст менамояд. Гармкунак бо манбай барқ, резистор, амперметр ва вольтметр пайваст гардидааст.

Фарқи асосии прототип аз дастгохи пешниходкардаи мо ин набудани имконияти тадқики газдо ва инчунин татбиқи таҷрибаҳо вобаста ба фишор мебошад. Ҳалли техникӣ, яъне таҷҳизоти иловагии наасбкунй бо зарфи фишордиҳанда бо халтаи полиэтиленӣ ва манометри бордор имкон дод, ки ба натиҷаи дилҳоҳ ноил шавад (расми 1).



**Расми 1 – Тарҳи дастгохи таҷрибавӣ барои ченкунӣ гаримгузаронии наномоеъҳо:**  
**1 – зарфи пӯлодини зангназананда; 2 – найча; 3 - намуна; 4 – халтачи полиэтиленӣ; 5 – зарфи фишордиҳанда; 6 – глитсерин; 7 – манометри борпоршени МП – 2500; 8 - насоси вакуумӣ; 9 - зарфи дохилӣ; 10 – зарфи берунӣ; 11 – мұхити доиминогоҳдорандай ҳарорат; 12 – гармкунаки барқии никелӣ; 13 – манбаъи таъминоти барқ; 14 – резистор (патенти хурди ҶТ №ТJ 923, 2017, 5 с.)**

Дастгоҳ чунин кор мекунад. Пешаки зарфи (1) бо намунаи тадқиқотӣ ва зарфи беруна бо мұхити доиминогоҳдорандай ҳарорат (ҳаво) пур карда мешавад. Баъди пайвастани занчири электрикӣ аз рӯи ношондодҳои волтметр ва амперметра тавоноии гармкунаки барқӣ дар ҳарорати хона ва фишори атмосферӣ бо формулаи (1) муайян карда мешавад:

$$W=IU, \quad (1)$$

дар ин ҷо:  $W$  – тавоной (Вт);  $I$  – қувваи ҷараён (А);  $U$  – шиддат (В).

Бо формулаи (1) тавоноии гармкунак ва бо формулаи (2) муқовимати онро вобаста ба ҳарорат муайян мекунанд. Аз рӯи формулаи (2) инчунин ҳароратро дар ячейкаи ченкунӣ муайян кардан мумкин аст:

$$R=R_0(I+\alpha(T-T_0)), \quad (2)$$

дар ин ҷо:  $R$  – муқовимати ноқили никелӣ (Ом);  $R_0$  - муқовимати ноқили никелӣ дар ҳарорати хона (Ом);  $\alpha$  – коэффицисиенти васеъшавии ҳароратии муқовимат ( $1/K$ );  $T_0$  - ҳарорати хона (К);  $T$  - ҳарорати таҷриба ҳангоми зина ба зина гармкунӣ (К).

Аз рӯи қиматҳои тавоной ва муқовимати хоси гармкунак бо муайян кардани фарқи ҳароратҳо, коэффицисиенти гармигузаронии намунаҳо бо ифодаи зерин ҳисоб карда мешавад:

$$\lambda_{cp} = \frac{W \ln \frac{(T_1)}{T_2}}{2\pi L (T_1 - T_2)}, \quad (3)$$

дар ин ҷо:  $\lambda_{cp}$  – коэффицисиент гармигузаронии намунаи тадқиқотӣ [ $\text{Вт}/(\text{м}\cdot\text{К})$ ],  $W$  – тавоноии гармкунаки никелӣ (Вт);  $T_1$  -  $T_0$  – фарқи ҳароратҳо (К);  $L$  – дарозии ноқил (м);  $r_0$  – радиуси ноқили никелӣ (мм);  $r_1$  – радиуси дохилии силиндри берунӣ (мм):

$$\lambda = \frac{R_1 c m \delta}{2} \quad (4)$$

## 2.2. Даствоҳои таҷрибавӣ барои тадқики таҷрибавии зичӣ, часпакии наномоеъҳо дар фишори атмосфери

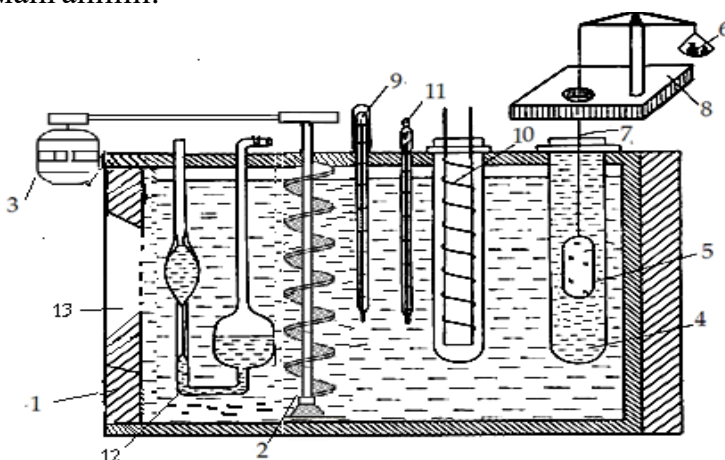
То имрӯз ягон муодилаи ҳолати универсалӣ вуҷуд надорад, ки бо ёрии он масъалаи мушаххас ҳал карда шавад. Аз ин рӯ, расидан ба ин ҳадаф танҳо тавассути тадқиқоти таҷрибавӣ имконпазир аст.

Усулҳое, ки ҳангоми муайян кардани вобастагии  $\rho - \rho - T$ -и моддаҳои моеъ бештар истифода мешаванд, ба ду категория тақсим мешаванд: онҳое, ки доимии вазни моеъи таҷрибавиро таъмин мекунанд ва ҳаҷми он тағиیر меёбад ва онҳое, ки ба баркаши гидростатикӣ асос ёфтаанд. Дар ҷаравӣ омӯзиши таҷрибавии намунаҳои худ мо аз усули дуюм истифода намудем, аммо бо назардошти ҳусусиятҳои онҳо (расми 2). Интиҳоби ин усул аз соддагӣ ва дақиқии нисбатан баланди натиҷаҳо иборат аст. Вазифаи гузошташуда интиҳоби даствоҳро талаб мекард, ки дар соҳаи назарраси тағиир додани параметрҳои ҳолат, аз ҷумла минтақаи сарҳадии поёнӣ, ҳолати моеъ ва ҳолати дуфазаи модда озмоишҳо гузаронида шавад. Ҳамин тарик, интиҳоби мо дар усули баркаши гидростатикӣ қарор гирифт (асосгузорони усул профессор И.Ф. Голубев ва шогирдони ў мебошанд).

Формулаи ҳисобкуни чунин аст:

$$\rho = \frac{G_1 - (G_1 - G_2)}{V_H - V_N}, \text{ кг/м}^3 \quad (5)$$

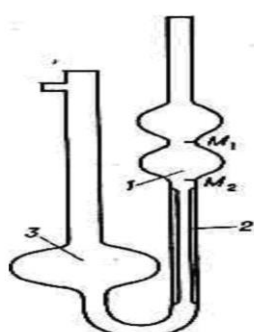
дар ин ҷо:  $\rho$  – зичии моддаи тадқиқотӣ дар ҳаарорати додашуда,  $\text{кг/м}^3$ ;  $G_1$  - вазни шиновараки квартсӣ дар ҳаво;  $G_2$  - вазни шиновараки квартсӣ, ки дар моеъи тадқиқшаванда ғутонида шудааст;  $V_N$  – ҳаҷми шиновараки квартсӣ;  $V_H$  - ҳаҷми ресмони манганийӣ.



**Расми 2.** - Даствоҳи таҷрибавӣ барои таҳқики таҷрибавии зичии моддаҳои моеъ дар фишори атмосфера: 1 – термостат; 2 - омехтақунанда; 3 муҳаррики барӯй; 4 - камера бо моддаи тадқиқшаванда; 5 – шиновараки квартсӣ; 6 - борҳои мувозинаткунанда; 7 – ресмон (сим)-и манганий; 8 - тарозуи аналитикӣ; 9 - термометри симобӣ; 10 – гармкунак; 11 – ҳаарорат-санчи контактӣ; 12 - вискозиметри Освалд; 13 – тирезача

## 2.3. Усули ҷенкуни коэфитсиенти часпакии динамикии моеъҳо ва маҳлулҳо

Коэфитсиенти часпакии динамикии намунаҳои тадқиқотиро мо бо ёрии вискозиметри капиллярий тадқиқ намудем (рисунок 3).

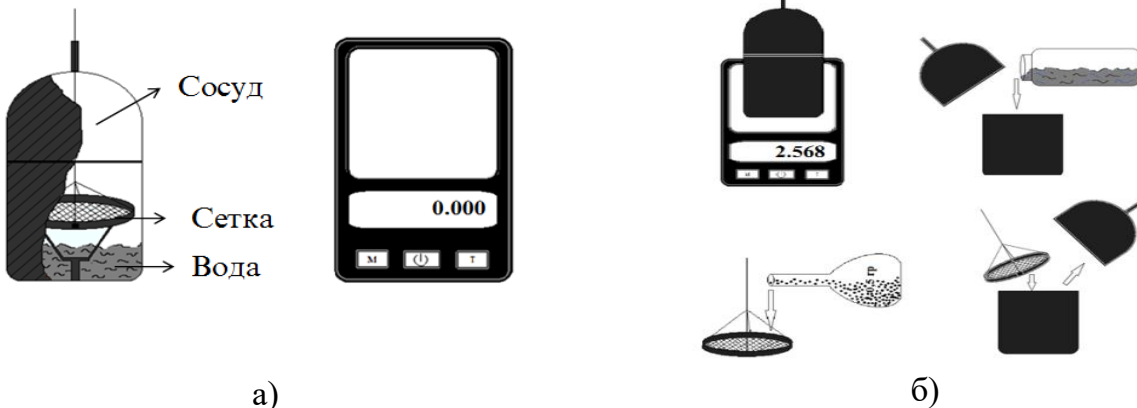


**Расми 3.** Намуди умумии вискозиметри шишагӣ: 1 - васеъшавӣ; 2 - капилляр; 3 - зарф;  $M_1, M_2$  нишонаҳои ҷенкуни вакт

## 2.4. Даствоҳи таҷрибавӣ барои муайян кардани коэфитсиенти адсорбсия ва массаи маводи донадор (патенти хурди ҶТ № ТJ 1279, 2021, -5 с., № ТJ 1280, 2021, -7 с.)

Хосиятҳои кинетикии намунаҳои таҷрибавиро дар даствоҳи дар расми 4 овардашуда тадқиқ карда шудааст. Даствоҳи ихтироот кардашуда, ду қисми асосиро дар бар мегирад:

1) зарфи силиндрӣ бо тури чудошаванда; 2) сониясанҷ ва тарозуи электронӣ (бо саҳехии ченкуни 0,001 г). Хусусиятҳои геометрии зарф чунин аст: диаметр  $\sim 5$  см, баландӣ - 8 см, диаметри тур ба диаметри дохилии зарф баробар аст ва масоҳати ҳар як ячейкаи тур  $1 \text{ mm}^2$  аст. Тартиби гузаронидани таҷриба чунин аст: бо ёрии тарозу массаси зарф пеш ва баъд аз пур кардани он бо об чен карда мешавад. Ба ҳамин тарз массаси намунаҳоро бо тур муайян мекунанд. Тур бо намуна дар дохилии зарф ҷойгир карда мешавад ва вақти намноккунӣ бо ёрии сониясанҷ сабт карда мешавад. Ин тартиби ченкуни ҳар баъди ҳар 30 дакиҷа иҷро карда мешавад.



**Рисунок 4 – Даствоҳи таҷрибавӣ барои муайян намудани коэффициенти адсорбсия ва массаинтиқолдиҳӣ:** а – даствоҳ; б – тарозуи электронӣ

Формулаҳо барои ҳисоб кардани коэффициентҳои адсорбсия ва массаинтиқолдиҳии наноҳокай тадқиқшаванда аз рӯи маълумоти аз таҷрибаҳо гирифташуда чунин намуд доранд (патентҳои хурди ҶТ №ТJ 824, 2016 ва №ТJ 825, 2016).

$$\Gamma = \left[ \frac{m - m_0}{\mu \cdot m_0} \right], \text{ (моль/кг)}; \quad (6)$$

$$\beta = \left[ \frac{m - m_0}{S \cdot t} \right], \text{ (кг/м}^2\text{с)} \quad (7)$$

Барои санчиши қиматҳои гирифташуда аз рӯи коэффициентҳои адсорбсия, варамкунӣ ва массаинтиқолдиҳӣ бо усули пешниҳодшуда дар даствоҳи таҷрибавӣ, ки аз ҷониби профессор М.М. Сафаров ва шогирдони ӯ таҳия шудааст (патентҳои ҶТ №ТJ 490, 2010; №ТJ 824, 2016 ва №ТJ 825, 2016), ченкуниҳо гузаронида шудаанд.

### Боби 3. УСУЛҲОИ ИСТИФОДАИ ГИДРАЗИН ДАР РОҲИ КОНДЕНСАТИ – ТАЪМИНОТИ БАРОИ ПЕШГИРИИ КОРРОЗИЯ

Дар боби сеюм усули коркарди гидразинии оби таъминотии нерӯгоҳҳои барқии ҳароратӣ оварда шудааст. Коркарди гидразинӣ дар якҷоягӣ бо деаэрasiya ҳароратии оби таъминотии даствоҳи дегӣ ҷораи қатъии ҳифзи металли роҳи буғӣ-конденсатӣ аз зангзании оксигенӣ мебошад ва инчунин барои кам кардани миқдори оксидҳои оҳан дар обҳои таъминотӣ ва дегӣ истифода мешавад. Он инчунин барои хориҷ кардани оксиген дар конденсатори турбина истифода мешавад. Коркарди оби таъминотӣ бо гидразин ҳатман дар ҳамаи нерӯгоҳҳои барқии ҳароратии дорои дегҳои бо фишори баланд коркунанда, ҳусусан ҳангоми кори нокифояи деаэраторҳои ҳароратӣ тавсия дода мешавад.

## Боби 4. ОМҮЗИШИ ХОСИЯТХОИ ГАРМОФИЗИКЙ ВА ТЕРМОДИНАМИКИИ МАХЛУЛХОИ ГИДРАЗИН ВОБАСТА БА ҲАРОРАТ ВА КОНСЕНТРАТСИЯИ МАХЛУЛХО

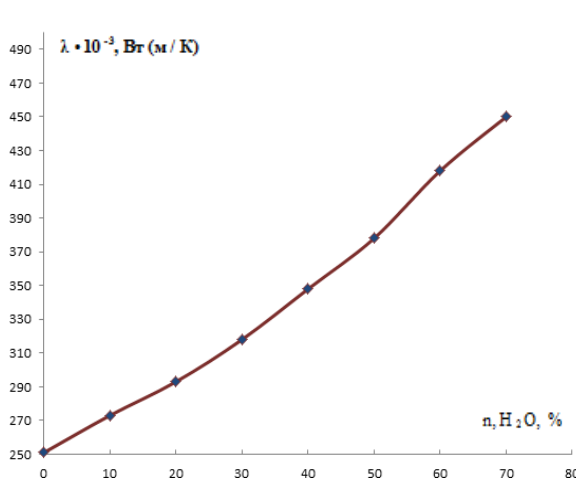
**Дар боби чорум** қиматҳои таҷрибавии хосиятҳои термодинамикӣ, гармофизикӣ ва реологии маҳлулҳои наноҳоқаи гидразин, инчунин дараҷаи таъсири онҳо ба хосиятҳои физикию химиявии моддаҳои тадқиқшаванд оварда шудаанд. Бо ёрии маълумоти таҷрибавӣ гирифташудаи часпакии динамикӣ ва зичии маҳлулҳои тадқиқшуда коэффициенти часпакии кинематикии маҳлулҳои моеъ ҳангоми параметрҳои гуногуни ҳолат ва концентратсияи наноҳоқаи гидразин, ки дар гармибарандаҳо ворид карда мешаванд, ҳисоб карда шудааст. Илова бар ин, бо донистани маълумоти ҳисобшуда оид ба часпакии динамикӣ ва кинематикии адади Прандтл ҳисоб карда шудааст.

### 4.1. Натиҷаҳои омӯзиши таҷрибавии коэффициенти гармигузаронии маҳлулҳои техникии гидразин дар ҳароратҳои гуногун ва фишори атмосферӣ

Маҳлулҳои техникӣ дар ҳолати моеъ, аз ҷумла гидразин ва этиленгликол дар техника хеле васеъ истифода мешаванд, масалан, ҳамчун барқароркунанда барои муҳофизат аз коррозия ва тагшиншавӣ дар муҳитҳои гарм ва хунуккунандаи таҷҳизоти гармоэнергетикий. Бояд қайд кард, ки маҳлули обии этиленгликол (50% этиленгликол ва 50% об) бештар дар амалия истифода мешавад. Намунаҳои омӯхтаи мо этиленгликоли аз ҷиҳати химиявӣ тоза ва наноҳоқаи гидразин тайёр карда шудаанд. Натиҷаҳои тадқиқи коэффициентҳои гармигузаронӣ ва часпакии динамикӣ, инчунин зичии намунаҳо дар ҳароратҳои гуногун ва фишори атмосферӣ дар мувоғиқан расмҳои 5 ва 6 нишон дода шудаанд. Барои ошкор кардани таъсири концентратсияи об ба тағйиребии хосиятҳои гармофизикӣ ва реологии системаи маҳлулҳои дукомпонентӣ (этиленгликол ва об) дар координатаҳои мувоғиқ вобастагиҳои функционалии зерин соҳта шудаанд:

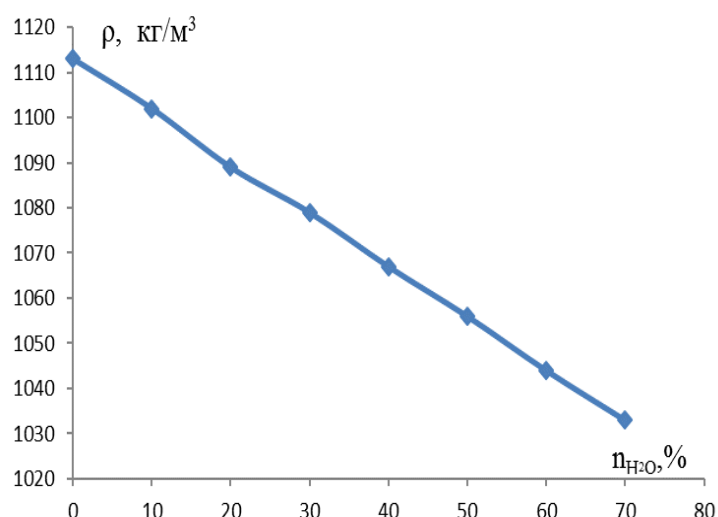
$$\lambda = f(n_{\text{H}_2\text{O}}); \rho = f(n_{\text{H}_2\text{O}}); \eta = f(n_{\text{H}_2\text{O}}); v = f(n_{\text{H}_2\text{O}}).$$

Графики ин вобастагиҳо дар поён оварда шудаанд (расмҳот 4 - 7).



**Расми 4** - Вобастагии коэффициенти гармигузаронии этиленгликоли моеъ аз концентратсияи об дар фишори атмосферӣ ва ҳарорати хона

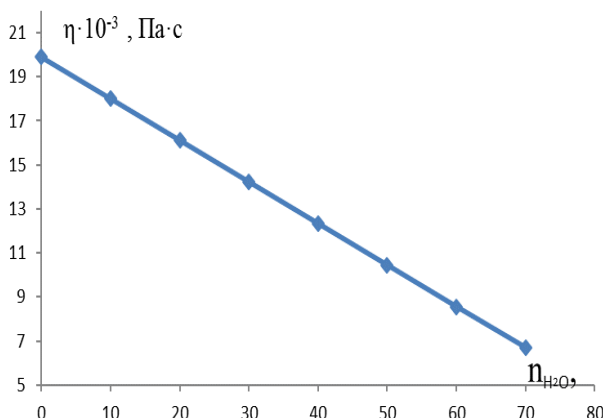
Мувоғиқи расми 4, гармигузаронии маҳлул бо афзоиши концентратсияи об то 79,2% меафзояд. Ба андешаи мо, ин ба тағйирёбии зичии соҳтори маҳлулҳои моеъ вобаста аст.



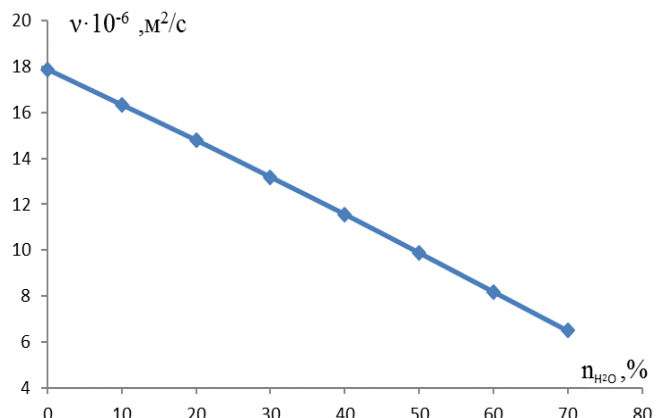
**Расми 5** - Вобастагии зичии этиленгликоли моеъ аз концентратсияи об дар фишори атмосферӣ ва ҳарорати хона

Маълумоти расми 5 нишон медиҳад, ки афзоиши миқдори об дар этиленгликол (маҳлули дукарата) зичии системаро амалан тибқи қонуни хаттӣ (ба ҳисоби миена то 7,19%) паст мекунад. Ба гумони мо, ин ба тағийирёбии ҳаҷми маҳлулҳои моеъ вобаста аст.

Тавре ки аз расмҳои 6 ва 7 дида мешавад, бо афзоиши концентратсияи об дар этиленгликол (маҳлули дукарата) ҳам часпакии динамикӣ ва ҳам кинематикии ин системаҳо қарib аз рӯи қонуни хаттӣ коҳиш меебад, яъне ҳангоми илова кардани об ба этиленгликол то 70% дар фосилаи аз 0 то 70% об тағийирёбии часпакии динамикӣ ва кинематикӣ аз рӯи қонуни хаттӣ коҳиш меёбад.



**Расми 6 -** Часпакии коэффициенти часпакии динамикии этиленгликоли моеъ вобаста ба концентратсияи об дар фишори атмосферӣ ва ҳарорати хона

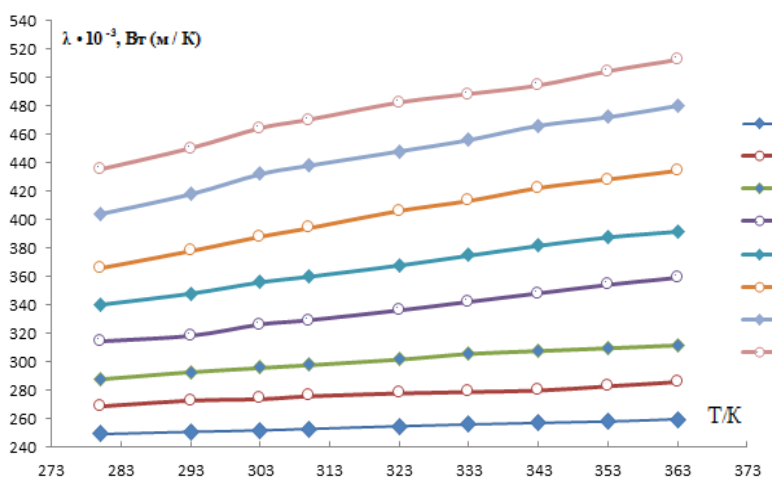


**Расми 7 -** Вобастагии коэффициенти часпакии кинематикии этиленгликоли моеъ аз концентратсияи об дар фишори атмосферӣ ва ҳарорати хона

#### 4.2. Гармигузаронии маҳлулҳои дукомпонентӣ дар асоси этиленгликол дар ҳарорати гуногун, фишори атмосферӣ ва тағийирёбии концентратсияи об

Гармигузаронии маҳлулҳои дукомпонентии системаи этиленгликол ва об дар ҳудуди ҳарорати (280-363) К ҳангоми фишори атмосферӣ ( $p = 0,101$  МПа) бо ёрии дастгоҳи таҷрибавӣ, ки бо усули ноқили тафсон кор мекунад ва аз ҷониби мо патент гирифта шудааст, чен карда шуд (патенти хурди Ҷумҳурии Тоҷикистон №ТJ 923, Душанбе, 2017. 5с., муаллифон М.М. Сафаров ва ғайра.)

Натиҷаҳои маълумоте, ки аз ин усул ва назарияи Максвелл ба даст оварда шудаанд, дар шакли вобастагӣ нишон дода шудааст. (расми 8).

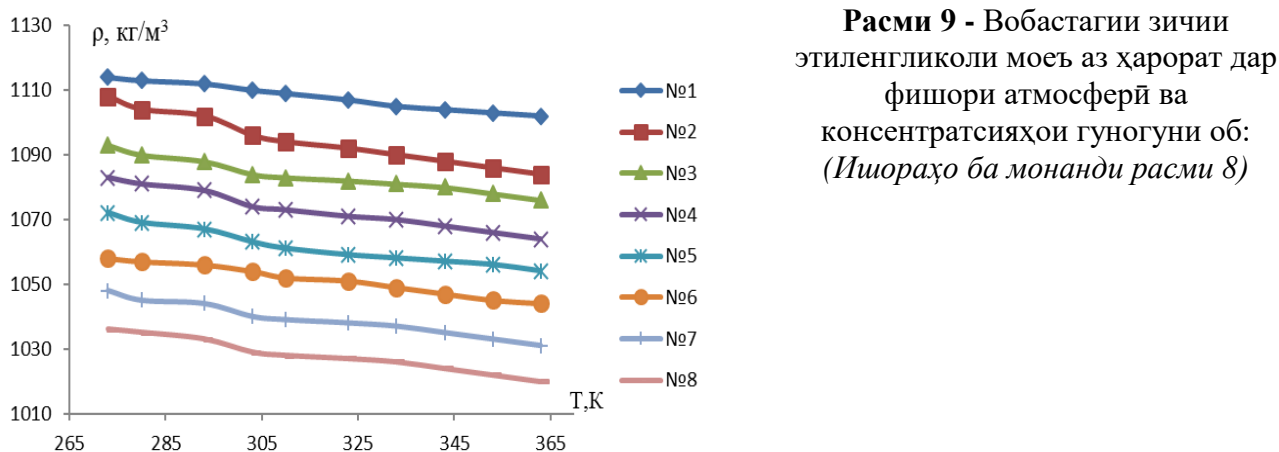


**Расми 8 -** Вобастагии коэффициенти гармигузаронии этиленгликоли моеъ аз ҳарорат дар фишори атмосферӣ ва бо концентратсияҳои гуногуни об: №1 - (100 %  $C_2H_6O_2$ ); №2 - (90 %  $C_2H_6O_2 + 10\%$   $H_2O$ ); №3 - (80 %  $C_2H_6O_2 + 20\%$   $H_2O$ ); №4 - (70 %  $C_2H_6O_2 + 30\%$   $H_2O$ ); №5 - (60 %  $C_2H_6O_2 + 40\%$   $H_2O$ ); №6 - (50 %  $C_2H_6O_2 + 50\%$   $H_2O$ ); №7 - (40 %  $C_2H_6O_2 + 60\%$   $H_2O$ ); №8 - (30 %  $C_2H_6O_2 + 70\%$   $H_2O$ )

Тавре, ки аз натицаҳои муайянкуни таҷрибавӣ ва назариявии қиматҳои коэффициенти гармигузаронии маҳлулҳои дукомпонентӣ ҳангоми тағиیرёбии ҳарорат аз 280 то 363 К дида мешавад, онҳо қариб аз рӯи қонуни хаттӣ меафзоянд. Масалан, дар маҳлули рақами 2 ( $90\%C_2H_6O_2 + 10\%H_2O$ ) гармигузарони бо баландшавии ҳарорат 6,3% меафзояд, барои маҳлули рақами 8 ( $30\%C_2H_6O_2 + 70\%H_2O$ ) гармигузаронӣ бо баландшавии ҳарорат 17,7% меафзояд.

#### **4.2. Зичии маҳлулҳои дукомпонентӣ дар асоси этиленгликоли моеъ дар ҳарорати гуногун, фишори атмосферъ ва тағиирёбии концентратсияи об дар онҳо (маълумоти таҷрибавӣ)**

Дастгоҳи таҷрибавӣ, ки дар расми 2 пешниҳод шудааст, аз ҷониби мо барои тадқиқи таҷрибавии зичии маҳлулҳо дар фишори атмосферъ ва ҳарорати хона истифода шудааст (расми 9).



Тавре ки аз натицаҳои муайянкуни таҷрибавӣ ва назариявии қиматҳои зичии маҳлулҳои дукомпонентӣ (расми 9) дида мешавад, бо тағиирёбии ҳарорат аз 273 то 363 К зичӣ қариб аз рӯи қонуни хаттӣ кам мешавад. Масалан, дар маҳлули рақами 2 ( $90\%C_2H_6O_2 + 10\%H_2O$ ) бо баландшавии ҳарорат дар ҳудуди додашуда зичӣ 2,21%, барои маҳлули рақами 8 ( $30\%C_2H_6O_2 + 70\%H_2O$ ) зичӣ 1,57% кам мешавад.

#### **4.4. Коэффициентҳои часпакии динамикӣ ва кинематикии маҳлулҳои дукомпонентӣ дар асоси этиленгликоли моеъ ҳангоми фишори атмосферӣ ва тағиирёбии концентратсияи об**

Часпакии динамикии маҳлулҳои дукомпонентии системаи этиленгликол ва об дар ҳудуди ҳарорати (280-363) К ва фишори атмосферӣ ( $p = 0,101$  МПа) бо ёрии дастгоҳи таҷрибавӣ, ки бо усули вискозиметри капиллярии Освалд ва фарзияҳои назариявии пешниҳодкардаи Тейта кор мекунад, ҷен карда шуд. Натицаҳои бо ёрии ин усул ва назарияи Тейта ҳосилкардашуда дар ҷадвали 1 оварда шудаанд.

**Ҷадвали 1.** - Коэффициенти часпакии динамикӣ ( $\eta, 10^{-3}\text{Па}\cdot\text{с}$ )-и маҳлулҳо дар асоси этиленгликол ва об ҳангоми ҳароратҳои гуногун ва фишори атмосферӣ

| T, K / Маҳлулҳо | №1    | №2    | №3    | №4    | №5    | №6    | №7    | №8    |
|-----------------|-------|-------|-------|-------|-------|-------|-------|-------|
| 280             | 20,26 | 19,65 | 17,46 | 16,49 | 14,82 | 13,19 | 12,05 | 10,46 |
| 293             | 19,91 | 18,01 | 16,12 | 14,23 | 12,34 | 10,45 | 8,56  | 6,67  |
| 303             | 13,22 | 11,97 | 10,72 | 9,48  | 8,24  | 6,58  | 5,10  | 4,35  |
| 310             | 10,23 | 9,01  | 8,08  | 7,15  | 6,23  | 4,85  | 3,98  | 3,42  |
| 323             | 6,65  | 6,04  | 5,43  | 4,82  | 4,21  | 3,62  | 3,02  | 2,38  |
| 333             | 4,95  | 4,50  | 4,05  | 3,61  | 3,16  | 2,69  | 2,23  | 1,82  |
| 343             | -     | 3,06  | 2,55  | 2,40  | 2,25  | 1,85  | 1,44  | 1,03  |
| 353             | -     | 2,10  | 1,48  | 1,33  | 1,18  | 1,10  | 1,02  | 0,75  |

|     |   |      |      |      |      |      |      |      |
|-----|---|------|------|------|------|------|------|------|
| 363 | - | 1,98 | 1,32 | 1,17 | 1,02 | 0,79 | 0,66 | 0,54 |
|-----|---|------|------|------|------|------|------|------|

Эзоҳ: №1 - (100 % C<sub>2</sub>H<sub>6</sub>O<sub>2</sub>); №2 - (90 % C<sub>2</sub>H<sub>6</sub>O<sub>2</sub> + 10 % H<sub>2</sub>O); №3 - (80 % C<sub>2</sub>H<sub>6</sub>O<sub>2</sub> + 20 % H<sub>2</sub>O); №4 - (70 % C<sub>2</sub>H<sub>6</sub>O<sub>2</sub> + 30 % H<sub>2</sub>O); №5 - (60 % C<sub>2</sub>H<sub>6</sub>O<sub>2</sub> + 40 % H<sub>2</sub>O); №6 - (50 % C<sub>2</sub>H<sub>6</sub>O<sub>2</sub> + 50 % H<sub>2</sub>O); №7 - (40 % C<sub>2</sub>H<sub>6</sub>O<sub>2</sub> + 60 % H<sub>2</sub>O); №8 - (30% C<sub>2</sub>H<sub>6</sub>O<sub>2</sub> + 70% H<sub>2</sub>O).

Тавре ки аз натиҷаҳои муайянкуни таҷрибавии коэффициенти часпакии динамики маҳлулҳои дуқомпонентӣ (чадвали 1) дида мешавад, ҳангоми тағиیرёбии ҳарорат аз 280 то 363 К, тибқи қонуни гипербола коҳиш меёбад. Масалан, дар маҳлули рақами 2 (90% C<sub>2</sub>H<sub>6</sub>O<sub>2</sub> + 10% H<sub>2</sub>O) коэффициенти часпакии динамики 8,92 маротиба коҳиш меёбад, барои маҳлули ҳаштум (30% C<sub>2</sub>H<sub>6</sub>O<sub>2</sub> + 70% H<sub>2</sub>O) ин тағиирот 18,4 маротиба аст. Агар часпакии динамики ва зичии он маълум бошад, часпакии кинематикии моддаҳоро бо ифодаи зерин ҳисоб кардан мумкин аст:

$$v = \frac{\eta}{\rho}, \quad \text{м}^2/\text{с}, \quad (8)$$

дар ин ҷо:  $\eta$  - коэффициент часпакии динамики, Па·с,  $\rho$  - зичии маводи тадқиқшаванд, кг/м<sup>3</sup>.

Хосиятҳои реологӣ дар шароити муқаррарӣ бо вискозиметри капиллярӣ ва денсиметр муайян карда мешаванд.

**Чадвали 2.** - Коэффициенти часпакии кинематики ( $v \cdot 10^{-6}$ , м<sup>2</sup>/с) маҳлулҳо дар асоси этиленгликол ва об дар ҳарорати гуногун ва фишори атмосфера

| T, K / Maҳlulҳo | №1    | №2    | №3    | №4    | №5    | №6    | №7    | №8    |
|-----------------|-------|-------|-------|-------|-------|-------|-------|-------|
| 280             | 18,21 | 17,79 | 16,02 | 14,94 | 13,86 | 12,69 | 11,53 | 10,11 |
| 293             | 17,88 | 16,34 | 14,80 | 13,19 | 11,57 | 9,89  | 8,19  | 6,49  |
| 303             | 11,91 | 10,89 | 9,99  | 9,45  | 8,72  | 7,35  | 5,96  | 4,93  |
| 310             | 8,62  | 8,06  | 7,46  | 6,67  | 5,87  | 4,80  | 3,83  | 3,36  |
| 323             | 6,16  | 5,53  | 5,02  | 4,52  | 4,08  | 3,49  | 2,94  | 2,58  |
| 333             | 4,38  | 4,13  | 3,69  | 3,34  | 2,89  | 2,57  | 2,15  | 1,77  |
| 343             | -     | 2,81  | 2,46  | 2,22  | 2,02  | 1,81  | 1,57  | 1,25  |
| 353             | -     | 1,98  | 1,79  | 1,46  | 1,12  | 1,06  | 0,99  | 0,73  |
| 363             | -     | 1,83  | 1,23  | 1,11  | 0,97  | 0,81  | 0,64  | 0,53  |

Эзоҳ: №1 - (100 % C<sub>2</sub>H<sub>6</sub>O<sub>2</sub>); №2 - (90 % C<sub>2</sub>H<sub>6</sub>O<sub>2</sub> + 10 % H<sub>2</sub>O); №3 - (80 % C<sub>2</sub>H<sub>6</sub>O<sub>2</sub> + 20 % H<sub>2</sub>O); №4 - (70 % C<sub>2</sub>H<sub>6</sub>O<sub>2</sub> + 30 % H<sub>2</sub>O); №5 - (60 % C<sub>2</sub>H<sub>6</sub>O<sub>2</sub> + 40 % H<sub>2</sub>O); №6 - (50 % C<sub>2</sub>H<sub>6</sub>O<sub>2</sub> + 50 % H<sub>2</sub>O); №7 - (40 % C<sub>2</sub>H<sub>6</sub>O<sub>2</sub> + 60 % H<sub>2</sub>O); №8 - (30% C<sub>2</sub>H<sub>6</sub>O<sub>2</sub> + 70% H<sub>2</sub>O).

Аз натиҷаҳои таҷриба (чадвали 2) дида мешавад, ки часпакии кинематикии маҳлулҳои дуқампанента ҳангоми тағиирёбии ҳарорат аз 280 то 363 К мувоғики қонуни гипербола кам мешавад. Масалан, барои маводи рақами 2 (90 % C<sub>2</sub>H<sub>6</sub>O<sub>2</sub> + 10 % H<sub>2</sub>O) коэффициенти часпакии динамики то 8,72 маротиба кам мешавад, барои маҳлули рақами 8 (30 % C<sub>2</sub>H<sub>6</sub>O<sub>2</sub> + 70 % H<sub>2</sub>O) ин натиҷа 18,1 маротиба кам мешавад.

#### 4.5. Таъсири концентратсияи наноҳоҳои гидразин бо тағиирёбии гармигузаронии маҳлулҳои дуқомпоненти (етиленгликол-об) дар ҳароратҳо ва фишорҳои гуногун

Тавре, ки қаблан қайд карда шуд, барои тоза кардани таҷхизоти гармоэнергетикӣ аз тагшинҳо, аз ҷумла оҳан, мис ва ғайра маҳлули обии гидразин истифода мешавад. Барои мақсадҳои зикршуда ҳам гидразингидрат ва ҳам гидразинсульфат истифода мешаванд. Дар робита ба ин, мо дар назди худ вазифа гузоштем, ки модели физикий Ҷӯдӯи қунем ва раванди мубодилаи гармиро дар ин моделҳо ҳисоб қунем. Маълум аст, ки ҳангоми ҳисоб кардани равандҳои мубодилаи масса ва гармӣ бояд бо усуљҳои назариявӣ, таҷрибавӣ ё ғайримустақим хосиятҳои гармофизикий, термодинамикий ва хосиятҳои кинетикии наноҳоҳои гидразин ва маҳлулҳои обии онҳо дар ҳароратҳои гуногун, концентратсияи об ва этиленгликол муайян карда шаванд.

Тавре ки қайд карда шуд, мо барои тадқиқот 7 намунаи тадқиқотӣ аз ду ҷузъ, яъне этиленгликол ва об тайёр намудем. Барои тоза кардани сатҳи таҷҳизоти гармоэнергетикӣ аз пардаи металлҳо ва оксидҳои онҳо чортои онҳо пешниҳод карда мешаванд: №5 (60 %  $C_2H_6O_2 + 40 \% H_2O$ ); №6 (50 %  $C_2H_6O_2 + 50 \% H_2O$ ); №7 (40 %  $C_2H_6O_2 + 60 \% H_2O$ ); №8 (30 %  $C_2H_6O_2 + 70 \% H_2O$ ), ки дар онҳо гармигузаронӣ, зичӣ, коэффициенҳои часпакии динамикӣ ва кинематикӣ дар худуди ҳарорати (273-373)К ва фишори (0,101-14,42) МПа пурра тадқиқ карда шудааст. Хосиятҳои асосии гармофизикӣ ва реологии намунаҳои номбаршуда дар шароити муқаррарӣ дар зер оварда шудаанд (ҷадвали 3).

**Ҷадвали 3.** - Хосиятҳои асосии гармофизикӣ ва реологии намунаҳои тадқиқотӣ дар шароити муқаррарӣ

| Маҳ-<br>лулҳо | Ишораи шартӣ                  | Гармигузаро-<br>нӣ, $10^3$<br>Вт/(м·К) | Зичӣ,<br>кг/м <sup>3</sup> | Коэффициенти<br>часпакии<br>динамикӣ,<br>$10^{-3}$ Па·с | Коэффициенти<br>часпакии<br>кинематикӣ,<br>$10^{-6}$ м <sup>2</sup> /с |
|---------------|-------------------------------|--|----------------------------|---|--|
| №5            | 60 % $C_2H_6O_2 + 40 \% H_2O$ | 391                                    | 1067                       | 12,34   | 11,57  |
| №6            | 50 % $C_2H_6O_2 + 50 \% H_2O$ | 425                                    | 1056                       | 10,45   | 9,89   |
| №7            | 40 % $C_2H_6O_2 + 60 \% H_2O$ | 459                                    | 1044                       | 8,56  | 8,19   |
| №8            | 30 % $C_2H_6O_2 + 70 \% H_2O$ | 494                                    | 1033                       | 6,67  | 6,49   |

Мувофиқи маълумоти дар ҷадвали 3 овардашуда, далелҳои зеринро метавон хулоса кард: тағйирёбии хосиятҳои гармофизикӣ ва реологии маҳлулҳо барои истифода дар раванди коркарди гидразинии дастгоҳҳои технологӣ дар энергетикаи гармо инчунин ҳангоми илова кардани этиленгликол низ мушоҳида карда мешавад. Тағйиротҳо асосан бо коҳиши хосиятҳои тадқиқшуда, ба истиснои коэффициенти гармигузаронии самараноки маҳлулҳо, хос мебошанд. Ин далелро назарияи маҳлулҳои коллоидӣ тасдиқ мекунад.

**Ҷадвали 4.** - Гармигузаронӣ ( $\lambda, 10^3, \text{ Вт}/(\text{м} \cdot \text{К}) = f(T, n H_2O)$ ) -и маҳлули дукомпонента (№5) дар асоси этиленгликол дар параметрҳои баланди ҳолат

| T, К | Фишор, Р, МПа  |      |      |       |       |
|------|--|------|------|-------|-------|
|      | 0,101  | 4.91 | 9,81 | 12,23 | 14,42 |
|      | <i>№5 (60 % <math>C_2H_6O_2 + 40 \% H_2O</math>)</i> |      |      |       |       |
| 280  | 340  | 343  | 346  | 348   | 353   |
| 293  | 348  | 351  | 354  | 357   | 360   |
| 303  | 356  | 359  | 362  | 365   | 368   |
| 310  | 360  | 361  | 366  | 370   | 373   |
| 323  | 368  | 371  | 374  | 377   | 381   |
| 333  | 375  | 378  | 381  | 384   | 388   |
| 343  | 382  | 385  | 389  | 392   | 395   |
| 353  | 388  | 390  | 393  | 396   | 400   |
| 363  | 392  | 395  | 399  | 403   | 406   |
| 373  | -  | 398  | 402  | 405   | 409   |
| 383  | -  | 401  | 404  | 407   | 410   |

Дар асоси маълумоти ҷадвали 4 метавон хулоса кард, ки гармигузаронии намунаҳо бе наноҳоҳои гидразин бо баланд шудани ҳарорат, фишор ва концентратсияи наноҳоҳои гидразин қариб тибқи қонуни хаттӣ меафзояд.

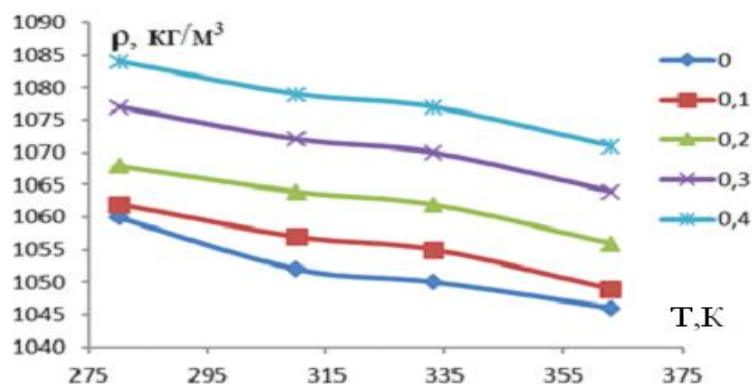
#### 4.6. Таъсири концентратсияи наноҳоҳои гидразин ба тағйирёбии зичии маҳлулҳои дукомпонентӣ (етиленгликол - об) дар ҳарорат ва фишорҳои гуногун

Зичии маҳлулҳо, тавре ки қаблан қайд карда шуд, бо ёрии дастгоҳи таҷрибавӣ муайян карда шуд ва зичии маҳлулҳо ҳангоми тағирёбии ҳарорат ва фишор бо истифода аз

муодилаи навъи Тейт хисоб карда шуд. Натицаҳои маълумоти таҷрибай-назариявии гирифташуда барои зичи маҳлулҳои №5 ва № 8 дар ҷадвали 5 оварда шудаанд.

**Ҷадвали 5.** - Зичӣ ( $\rho$ , кг/м<sup>3</sup>) =  $f$  (T, P, n H<sub>2</sub>O)) -и маҳлулҳои дукомпонентӣ (№5, №8) дар асоси этиленгликол бе дохилкунии наноҳокай гидразин дар ҳарорат ва фишорҳои гуногун

| T, K   | Фишор, P, MPa |      |      |       |       |
|--|---------------|------|------|-------|-------|
|  | 0,101         | 4.91 | 9,81 | 12,23 | 14,42 |
| №5 - (60 % C <sub>2</sub> H <sub>6</sub> O <sub>2</sub> + 40 % H <sub>2</sub> O) |               |      |      |       |       |
| 273  | 1072          | 1087 | 1102 | 1117  | 1132  |
| 280  | 1069          | 1084 | 1099 | 1114  | 1129  |
| 293  | 1067          | 1082 | 1097 | 1112  | 1127  |
| 303  | 1063          | 1078 | 1093 | 1108  | 1123  |
| 310  | 1061          | 1076 | 1091 | 1106  | 1121  |
| 323  | 1059          | 1074 | 1089 | 1104  | 1119  |
| 333  | 1058          | 1073 | 1088 | 1103  | 1118  |
| 343  | 1057          | 1072 | 1087 | 1102  | 1117  |
| 353  | 1056          | 1071 | 1086 | 1101  | 1116  |
| 363  | 1054          | 1069 | 1084 | 1099  | 1114  |
| №8 - (30 % C <sub>2</sub> H <sub>6</sub> O <sub>2</sub> + 70 % H <sub>2</sub> O) |               |      |      |       |       |
| 273  | 1036          | 1054 | 1072 | 1090  | 1108  |
| 280  | 1035          | 1053 | 1071 | 1089  | 1107  |
| 293  | 1033          | 1051 | 1069 | 1087  | 1105  |
| 303  | 1029          | 1047 | 1065 | 1083  | 1101  |
| 310  | 1028          | 1046 | 1064 | 1082  | 1100  |
| 323  | 1027          | 1045 | 1063 | 1081  | 1099  |
| 333  | 1026          | 1044 | 1062 | 1080  | 1098  |
| 343  | 1024          | 1042 | 1060 | 1078  | 1096  |
| 363  | 1020          | 1038 | 1056 | 1074  | 1092  |

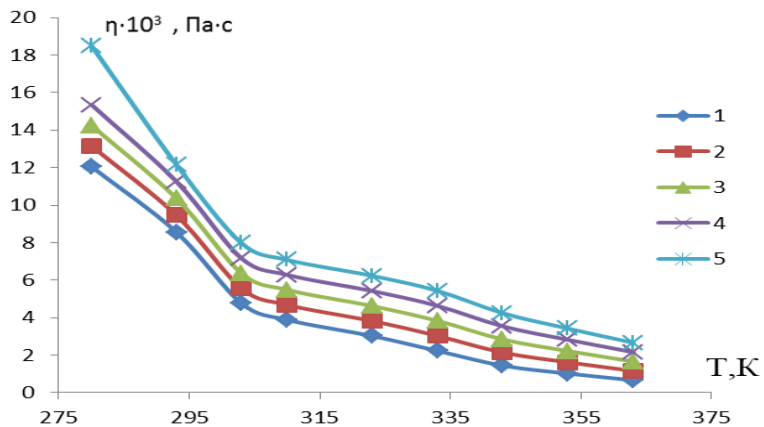


**Расми 10.** – Тағирёбии зичии системаҳои маҳлули (№5) вобаста бо ҳарорат дар концентратсияҳои гуногуни наноҳока

Мувофиқи графики 10 ва маълумоти ҷадвали 5, зичии маҳлулҳо бо афзоиши концентратсияи наноҳокай гидразин зиёд мешавад. Барои ҷонкуни ин тағйирот ҳатӣ аст ва барои ҷонкуни минбаъда тағйирот тибқи қонуни параболик мушоҳид мешавад. Масалан, иловай 0,2% наноҳокай гидразин зичии маҳлулро ~1,4% ва иловай 0,4% ~ 2,04% зиёд мекунад. Ба ақидаи мо, ҷонин тағйирот аз раванди ҳалшавии гидразин вобаста аст.

#### 4.7. Тадқиқоти таҷрибии коэффициентҳои часпакии динамики ва қинематикии маҳлулҳои обии этиленгликол (№5, №6, №7, №8) вобаста аз концентратсияи гидразин, ҳарорат ва фишор

Коэффициенти часпакии динамики маҳлулҳо бо ёрии вискозиметри капилляри омӯхта шудааст, ки дар он ҳатогии 2,6% бо эҳтимолияти бовариноки  $\alpha=0,95$  таъмин карда шудааст. Натицаҳои тадқиқот дар расми 11 нишон дода шудааст.



**Расми 11.** - Вобастагии коэффициенти часпакии динамикии маҳлулҳои дукомпонентӣ (№ 7) аз ҳарорат дар фишорҳои гуногун: 1 - 0,101 МПа; 2 - 4,91 МПа; 3 - 9,81 МПа; 4 - 12,23 МПа; 5 - 14,42 МПа

Барои муайян кардани коэффициенти часпакии кинематикӣ одатан маълумоти таҷрибавӣ дар бораи часпакии динамикӣ ва зичии моддаҳои омӯхташуда истифода мешавад, ки дар шароити муқаррарӣ бо ёрии вискозиметр ва денсиметр чен карда мешаванд.

Ҳамин тариқ, натиҷаҳои ҳисоб кардани часпакии кинематикии маҳлулҳои обии этиленгликол бо ва бе иловаи наноҳокай гидразин ҳангоми тағиирёбии ҳарорат ва фишори таҷриба оварда шудаанд (ҷадвали 6).

**Ҷадвали 6.** - Коэффициенти часпакии кинематикӣ ( $v \cdot 10^{-6}$ ,  $m^2/c = f(T, P, n_{H_2O})$ )-и маҳлулҳои обии этиленгликоли дукомпонента (№5, №8) бо дохилкунии наноҳокай гидразин (0,4 %) дар ҳарорат ва фишорҳои гуногун

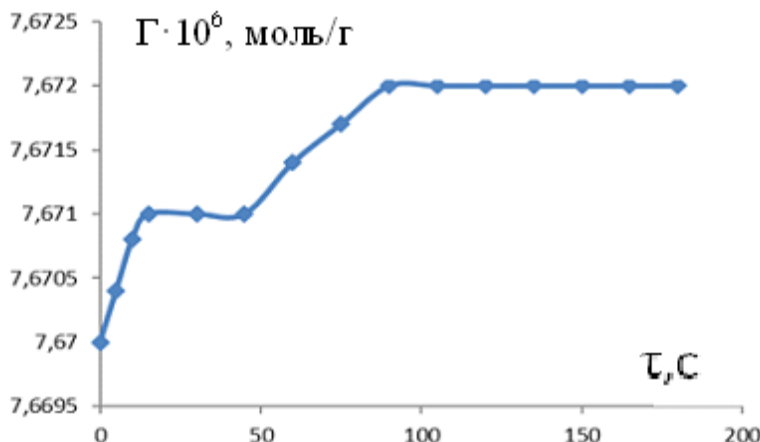
| T, K   | Фишор, P, МПа  |       |       |       |       |
|--|--|-------|-------|-------|-------|
|  | 0,101  | 4,91  | 9,81  | 12,23 | 14,42 |
|  | №5 - [(60 % $C_2H_6O_2$ + 40 % $H_2O$ ) + 0,4 % $N_2H_4$ ] |       |       |       |       |
| 280  | 15,35  | 16,21 | 17,07 | 17,87 | 18,67 |
| 293  | 11,97  | 12,69 | 13,42 | 14,74 | 17,06 |
| 303  | 8,59   | 9,18  | 9,76  | 11,61 | 11,45 |
| 310  | 6,49   | 7,36  | 7,82  | 9,09  | 9,34  |
| 323  | 4,40   | 5,53  | 5,87  | 6,56  | 7,24  |
| 333  | 3,38   | 4,39  | 4,75  | 5,43  | 6,1   |
| 343  | 2,36   | 3,25  | 3,63  | 4,29  | 4,96  |
| 353  | 1,72   | 2,46  | 2,95  | 3,55  | 4,16  |
| 363  | 1,07   | 1,67  | 2,26  | 2,81  | 3,35  |
| №8 - [(30 % $C_2H_6O_2$ + 70 % $H_2O$ ) + 0,4 % $N_2H_4$ ] |  |       |       |       |       |
| 280  | 10,84  | 11,77 | 12,70 | 13,58 | 14,46 |
| 293  | 7,78   | 8,61  | 9,43  | 10,22 | 11,00 |
| 303  | 4,72   | 5,44  | 6,16  | 6,85  | 7,54  |
| 310  | 3,60   | 4,35  | 5,09  | 5,80  | 6,50  |
| 323  | 2,48   | 3,26  | 4,03  | 4,75  | 5,46  |
| 333  | 1,78   | 2,52  | 3,25  | 3,93  | 4,61  |
| 343  | 1,08   | 1,77  | 2,46  | 3,11  | 3,75  |
| 353  | 0,82   | 1,40  | 1,98  | 2,55  | 3,12  |
| 363  | 0,56   | 1,03  | 1,50  | 1,99  | 2,49  |

Тавре ки аз натиҷаҳои дар ҷадвали 6 овардашуда дида мешавад, бо афзоиши концентратсияи наноҳокай гидразин дар маҳлули системаҳои этиленгликол ва об коэффициенти часпакии кинематикӣ тибқи қонуни хаттӣ меафзоряд.

#### 4.8. Коэффициенты адсорбции наноокси гидразин

Барои тадқиқоти кинетики намунаҳо мөдастгоҳ (патентҳои хурди ҶТ №ТJ 824, №ТJ 825) соҳтем, ки аз ду қисм иборат аст: 1) зарфи силиндрӣ ва тур; 2) сониясанҷ ва тарозуи электронӣ, ки дақиқии ченкуни он ба 0,001 г баробар аст. Хатогии нисбии умумии ченкуни коэффициенти адсорбсия ҳангоми эҳтимолияти бовариноки  $\alpha = 95\%$  ба 0,01% баробар аст.

Натиҷаҳои тадқиқоти коэффициенти адсорбсияи наноокси гидразин дар шакли график дар зер оварда шудаанд (расми 12). Барои гузаронидани озмоишҳо бо наноокси гидразин 6 намуна интихоб карда шуд, ки ҳар яки он тақрибан ба 10,5 г баробар аст. Барои осон кардани истифодаи онҳо мө онҳоро бо рақами тартибӣ ишора намудем: №1 - 0,5 г; №2 - 1 г; №3 - 1,5 г; №4 - 2 г; №5 - 2,5 г; №6 - 3 г.



Расми 12. - Графики вобастагии коэффициенти адсорбсияи намунаи №4 аз вақти нигоҳ доштани наноокси гидразин дар тури асбоб

Тавре, ки аз расми 12 дида мешавад график шакли зинагӣ дорад ва ба раванди кристаллизатсияи чисмҳои саҳт монанд мебошад.

#### 4.9. Таъсири наноокси гидразин ба тағйиребии адади Прандтли маҳлулҳои обии этиленгликол дар фишори атмосферӣ ва ҳарорати гуногун

Мувофиқи натиҷаҳои таҷрибавӣ ва тарҳбандии назариявӣ оид ба хосиятҳои гармофизикии маҳлулҳои этиленгликол бо ворид кардани наноокси гидразин дар ҷадвали 7 хосиятҳои гармофизикии маҳлулҳои обии этиленгликол бо илова кардани наноокси гидразин (№8 (30%  $C_2H_6O_2$  + 70%  $H_2O$ ) + 0,4%  $N_2H_4$ ), аз ҷумла гармигузаронӣ, зичӣ, коэффициентҳои часпакии динамикӣ ва кинематикӣ, адади Прандтл дар ҳарорати гуногун ва фишори атмосферӣ оварда шудаанд.

**Ҷадвали 7.** - Хосиятҳои гармофизикии маҳлулҳои системаи этиленгликол ва об бо ворид кардани 0,4% наноокси гидразин вобаста ба ҳарорат дар фишори атмосферӣ (№8 (30 %  $C_2H_6O_2$  + 70 %  $H_2O$ ) + 0,4 %  $N_2H_4$ )

| T, K | $\rho, \text{кг}/\text{м}^3$ | $\lambda \cdot 10^3$<br>$Bm/(m \cdot K)$ | $\eta \cdot 10^3, \text{Pa} \cdot \text{s}$ | $\alpha \cdot 10^7$<br>$m^2 / c$ | $\nu \cdot 10^6, \text{m}^2 / c$ | $Pr = \frac{\nu}{\alpha}$ |
|------|------------------------------|--|---|----------------------------------|----------------------------------|---------------------------|
| 280  | 1064                         | 509                                      | 11,54                                       | 3,68                             | 10,84                            | 29,45                     |
| 293  | 1062                         | 522                                      | 7,36  | 3,72                             | 7,78                             | 20,91                     |
| 303  | 1058                         | 530                                      | 4,90  | 3,76                             | 4,79                             | 12,74                     |
| 310  | 1057                         | 548                                      | 3,80  | 3,80                             | 3,60                             | 9,47                      |
| 323  | 1056                         | 556                                      | 2,62  | 3,82                             | 2,48                             | 6,49                      |
| 333  | 1055                         | 564                                      | 2,01  | 3,84                             | 1,79                             | 4,66                      |
| 343  | 1054                         | 570                                      | 1,14  | 3,86                             | 1,08                             | 2,90                      |
| 353  | 1050                         | 575                                      | 0,83  | 3,90                             | 0,82                             | 2,10                      |
| 363  | 1049                         | 579                                      | 0,59  | 3,94                             | 0,56                             | 1,42                      |

## Боби 5. ТАХЛИЛ ВА КОРКАРДИ МАЪЛУМОТИ ТАЧРИБАВЙ ОИД БА ХОСИЯТҲОИ ГАРМОФИЗИКӢ ВА РЕОЛОГИИ МАҲЛУЛҲО ДАР ПАРАМЕТРҲОИ ГУНОГУНИ ҲОЛАТ

**Боби панҷум** ба таҳлил ва усулҳои даҳлдори коркард ва чамъбости маълумоти таҷрибавӣ баҳшида шудааст. Усулҳои ҳисобшудаи чунин параметрҳо, ба монанди зичӣ, гармигузаронӣ, хосиятҳои адсорбсионии намунаҳои тадқиқотӣ вобаста ба концентратсияи наноҳокай гидразин пешниҳод карда шудаанд.

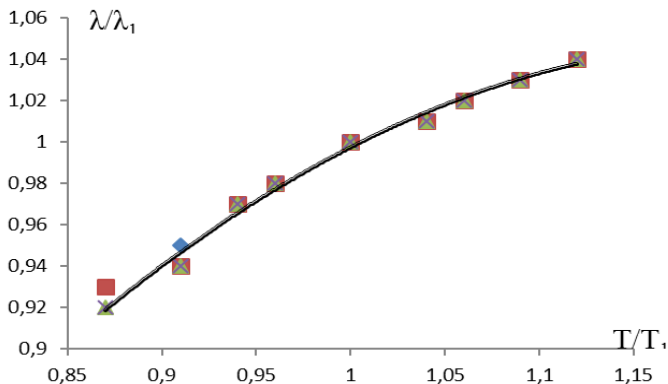
### 5.1. Коркарди маълумот аз рӯи натиҷаҳои тадқиқоти таҷрибавии гармигузаронии маҳлулҳои системаи этиленгликол ва об бо ворид кардани наноҳокай гидразин

Натиҷаҳои тадқиқоти таҷрибавии гармигузаронии намунаҳо дар фишори атмосферӣ ва ҳарорати гуногун чунин чамъбаст карда шуданд:

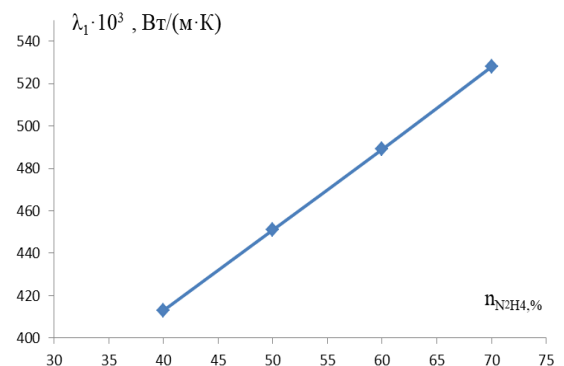
$$\frac{\lambda}{\lambda_1} = f\left(\frac{T}{T_1}\right), \quad (9)$$

дар ин ҷо  $\lambda$  ва  $\lambda_1$  - коэффициенти гармигузаронии намунаҳои тадқиқшаванд дар ҳарорати гуногуни  $T$ ,  $K$  ва  $T_1, K; T_1=323 K$ .

Иҷрои ин вобастагии графикӣ (расми 13) дар шакли ифодаи (9) ифода карда мешавад. Бо таҳлили даҳлдор муайян карда шуд, ки  $\lambda_1$  қиматҳое мебошанд, ки концентратсияи гидразиро дар маҳлул тавсиф мекунанд (расми 14).



**Расми 13.** – Гармигузаронии нисбӣ ( $\lambda/\lambda_1$ )-и намунаҳои тадқиқотӣ вобаста ба ҳарорати нисбӣ ( $T/T_1$ ): №5 - (60 %  $C_2H_6O_2 + 40 % H_2O$ ); №6 -(50 %  $C_2H_6O_2 + 50 % H_2O$ ); №7 - (40 %  $C_2H_6O_2 + 60 % H_2O$ ); №8 - (30 %  $C_2H_6O_2 + 70 % H_2O$ ),



**Расми 14.** - Вобастагии  $\lambda_1$ -и намунаҳо аз концентратсияи наноҳокай гидразин ( $n$ )

Хати қаҷи дар расми расми 13 тасвиршуда бо ифодаи зерин муайян карда мешавад:

$$\frac{\lambda}{\lambda_1} = \left[ -1,073 \left( \frac{T}{T_1} \right)^2 + 2,613 \left( \frac{T}{T_1} \right) - 0,542 \right], \quad (10)$$

Муодилаи хати рости расми 14 бошад, чунин намудро дорад:

$$\lambda_1 = (3,83n^2 + 259,6) \cdot 10^{-3}, \text{ Вт}/(\text{м} \cdot \text{К}) \quad (11)$$

Ҳангоми гузоришҳои мувоғиқ ҳосил мекунем:

$$\lambda = \left[ -1,073 \left( \frac{T}{T_1} \right)^2 + 2,613 \left( \frac{T}{T_1} \right) - 0,542 \right] (3,83n^2 + 259,6) \cdot 10^{-3}, \text{ Вт}/(\text{м} \cdot \text{К}) \quad (12)$$

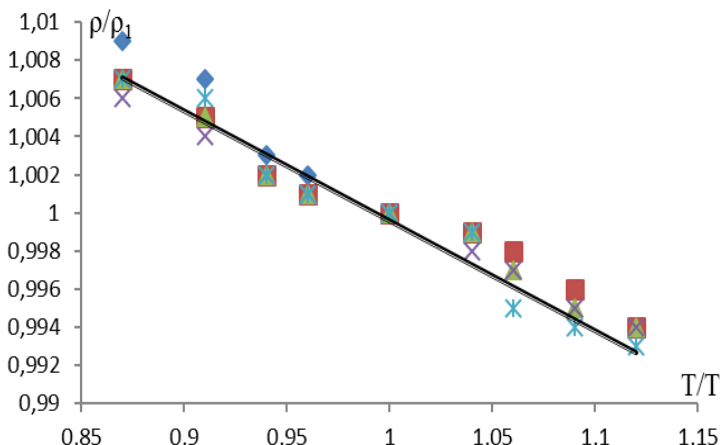
Муодилаи ҳосилкардашудаи (12) барои ҳисобкунии гармигузаронии намунаҳо (№5, №6, №7, №8) дар ҳарорати гуногун ва концентратсияи об бо хатогии тақрибан 3,29 % хизмат менамояд.

## **5.2. Коркарди маълумоти таҷрибавии зичии маҳлулҳои омӯхташуда**

Натицаҳои тадқиқоти таҷрибавии зичи намунаҳо дар фишори атмосферӣ ва ҳароратҳои гуногун чунин ҷамъбаст карда шудаанд (расми 15):

$$\frac{\rho}{\rho_1} = f\left(\frac{T}{T_1}\right), \quad (13)$$

дар ин чо:  $\rho$  ва  $\rho_1$  - зичии намунаҳои тадқиқотӣ мувофиқан дар ҳароратҳои гуногуни  $T$ ,  $K$  ва  $T_1$ ,  $K$ ;  $T_1 = 323$  К.



**Расми 15.** – Вобастагии зичии нисбии намунаҳои тадқиқотӣ ( $\rho/\rho_1$ ) аз ҳарорати нисбӣ ( $T/T_1$ )

Дар асоси коркарди графоаналитикии маълумот (расми 16) оид ба зичии маҳлулҳои системаи этиленгликол, об ва наноҳокай гидразин бо назардошти муодилаҳои эмпирикӣ барои  $\rho_1$ , вобастагии умумии аппроксимасиониро дар шакли зерин ба даст овардем:

$$\rho = \left[ -0,057 \left( \frac{T}{T_c} \right) + 1,057 \right] \cdot [16,294 \ln(n_{N_2H_4}) + 1141,3], \text{ кг/м}^3 \quad (14)$$

Муодилаи (14)-ро истифода бурда, зичии маҳлулхоро (№5, №6, №7, №8), ҳам бо наноҳокай гидразин, ҳам бе он вобаста ба ҳарорат ва концентрацсияи об бо хатогии миёнаи - 0,09 % ҳисоб кардан мумкин аст (чадвали 8).

**Чадвали 8.** – Муқойсай қиматхои таҷрибавӣ ва ҳисобкардашудаи маҳлулҳои этиленгликоля бо иловакуни наноҳокон гидразин ( $\text{N} \# 8$  ( $30\% \text{C}_2\text{H}_6\text{O}_2 + 70\% \text{H}_2\text{O}$ ) +  $0,3\% \text{N}_2\text{H}_4$ )) дар ҳароратҳои гуногун ва фишори атмосферӣ

| T, K   | 280  | 293    | 303    | 310  | 323    | 333    | 343  | 363  |
|--|------|--------|--------|------|--------|--------|------|------|
| $\rho, \text{кг} / \text{м}^3$ , таңрибай                    | 1129 | 1128   | 1123   | 1122 | 1121   | 1120   | 1116 | 1114 |
| $\rho, \text{кг} / \text{м}^3$ ,<br>хисобай бо мүодилаи (14) | 1129 | 1126,5 | 1124,1 | 1120 | 1120,8 | 1118,2 | 1115 | 1113 |
| $\Delta, \%$   | 0    | 0,14   | 0,09   | 0,18 | 0,02   | 0,16   | 0,09 | 0,08 |
| Хатоги миёнаи хисобкунай<br>бомуодилаи (14), %               |      |        |        |      |        | 0,09   |      |      |

**5.3. Маълумоти тадқиқоти таҷрибавӣ оид ба коэффициенти часпакии динамикии маҳлулҳо дар асоси этиленгликол, об ва нанопорошка гидразин ва коркарди онҳо**

Натицаҳои тадқиқоти таҷрибавии коэфитсientи часпакии динамикии намунаҳо дар фишори атмосферӣ ва ҳарорати гуногун чунин ҷамъbast карда шуданд:

$$\frac{\eta}{\eta_1} = f\left(\frac{T}{T_1}\right), \quad (16)$$

дар ин чо:  $\eta$  ва  $\eta_1$  - коэффициенты спаски динамики намунахой тадқиқотй мувофиқан дар ҳароратхой гуногуни  $T$ , К ва  $T_1$ , К;  $T_1=323$  К.

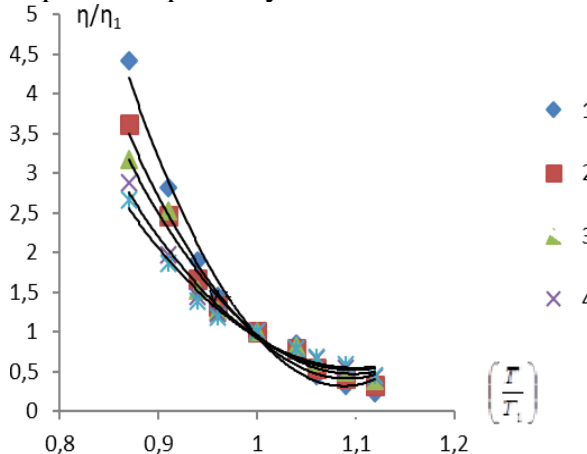
Ичрошавии ифодаи (16) дар расми 17 графикӣ тасвир ёфтааст, ки мувофики он ҳамаи киматҳо қад-қади хати қаҷи умумӣ меҳобанд.

Ифодаи хати каци расми 17 чунин намуд дорад:

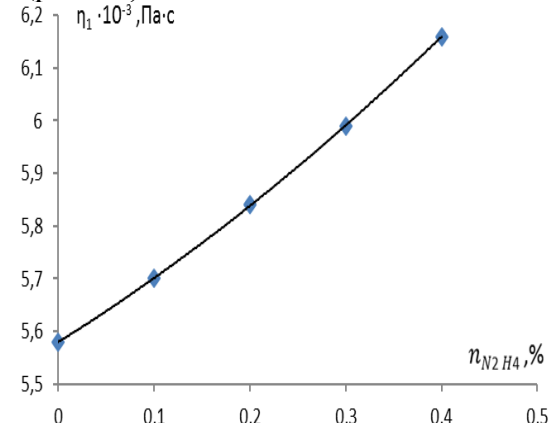
$$\frac{\eta}{\eta_1} = \left[ A \cdot \left( \frac{T}{T_1} \right)^2 - B \left( \frac{T}{T_1} \right) + C \right], \quad (17)$$

дар ин чо А, В ва С – коэффицентҳои муодила.

Таҳлили  $\eta_1$  нишон дод, ки вай функцияи тафйирёбии концентратсияи нанохокай гидразин дар маҳлули обии этиленгликол мебошад (рис 18).



**Расми 17.** - Вобастагии коэффиценти часпакии динамикии нисбӣ ( $\eta/\eta_1$ )-и маҳлулҳои обии этиленгликол бо иловай нанохокай гидразин аз тафйирёбии нисбии ҳарорат:  $T/T_1: 1$   
- 0,1 %  $N_2H_4$ ; 2 - 0,2 %  $N_2H_4$ ;  
3 - 0,3 %  $N_2H_4$ ; 4 - 0,4 %  $N_2H_4$



**Расми 18.** - Вобастагии  $\eta_1$ -и намунаҳо аз концентратсияи нанохокай гидразин дар маҳлули обии этиленгликол

Барои хати каци дар расми 18 тасвиршуда, муодилаи зерин ҳосил карда шуд:

$$\eta_1 = [0,8757 (n_{N_2H_4})^2 + 1,1357 (n_{N_2H_4}) + 5,5797] \cdot 10^{-3}, \text{Па}\cdot\text{с} \quad (17)$$

Муодилаи (16)-ро ба (17) гузашта, ҳосил мекунем:

$$\eta = \left[ A \left( \frac{T}{T_1} \right)^2 - B \left( \frac{T}{T_1} \right) + C \right] \cdot [0,7857 (n_{N_2H_4})^2 + 1,1357 (n_{N_2H_4}) + 5,5797] \cdot 10^{-3}, \text{Па}\cdot\text{с} \quad (18)$$

Ҳамин тарик, ифодаи бадастомада (18) метавонад барои муайян кардани коэффиценти часпакии динамикии намунаҳои тадқиқшуда бо тафйирёбии ҳарорат дар фишори атмосферӣ истифода шавад. Барои ичрои ҳисобкуниҳои даҳлдор, қиматҳои концентратсияи нанохокай гидразин ва ҳарорати таҷриба зарур мебошанд. Ҳисобкунӣ бо ёрии ин муодила бо хатогии то 7,32% ва барои баъзе нуқтаҳо то 15,6% анҷом дода мешавад.

#### 5.4. Коркарди маълумоти таҷрибавӣ оид ба коэффиценти часпакии кинематикии маҳлулҳо дар асоси этиленгликол бо концентратсияи гуногуни нанохокай гидразин

Натиҷаҳои ҳисобкуниии часпакии кинематикии намунаҳо дар фишори атмосферӣ ва ҳарорати гуногун чунин ҷамъбаст карда шудаанд:

$$\frac{v}{v_1} = f \left( \frac{T}{T_1} \right), \quad (19)$$

дар ин чо:  $v$  и  $v_1$  - коэффиценти часпакии кинематикии намунаҳои тадқиқотӣ мувоғиқан дар ҳароратҳои гуногуни  $T$ , К ва  $T_1$ , К;  $T_1=323$  К.

$$v = \left[ A \left( \frac{T}{T_1} \right)^2 - B \left( \frac{T}{T_1} \right) + C \right] \cdot \left[ -0,0714(n_{N_{2H4}})^2 + 0,1586(n_{N_{2H4}}) + 5,4086 \right] 10^{-6}, m^2 / c \quad (20)$$

Хамин тарық, ифодаи бадастомада (20) метавонад барои муайян кардани коэффициенти часпакии кинематикии намунаҳои тадқиқшуда бо тағйирёбии ҳарорат дар фишори атмосферӣ истифода шавад. Барои иҷрои ҳисобкуниҳои даҳлдор, қиматҳои концентратсияи наноҳоки гидразин ва ҳарорат зарур мебошагнд. Ҳатогии ҳисоб кардани часпакии кинематикӣ дар ин ҳолат то 9,01% мерасад, танҳо барои баъзе нуқтаҳо он то 18% ташкил медиҳад.

**Дар замима** ҷадвалҳо бо натиҷаҳои таҳлили муқоисавии таҷрибавӣ бо маълумоти ҳисобшуда, ки бо ёрии муодилаҳои эмпирикӣ аз рӯи гармигузаронӣ, коэффициентҳои часпакии кинематикӣ ва динамикӣ ва коэффициенти адсорбсияи маводҳои тадқиқшаванд ба даст оварда шудаанд. Дар бораи тадбиқ намудани натиҷаҳои корҳои тадқиқотӣ санадҳо пешниҳод гардидааст.

## НАТИҶАҲО ВА ХУЛОСАҲОИ АСОСӢ

1. Дастгоҳҳои таҷрибавӣ, ки барои тадқиқи хосиятҳои гармофизикии моеъҳо (гармигузаронӣ, зичӣ, часпакии динамикӣ ва кинематикӣ) ҳангоми тағйирёбии ҳарорат (273 - 363) К ва фишор (0,101 - 14,42) МПа пешбинӣ шудааст, иҷро карда шуд. Бо назардошти ҳусусиятҳои моддаҳои тадқиқшаванд дастгоҳҳои таҷрибавӣ барои ҷен кардани гармигузаронӣ (усули речай мунтазами гармӣ) ва зичӣ (усули баркашии гидростатикӣ) такмил дода шуданд [7-М, 8-М, 10-М, 11-М].

2. Тибқи таҷрибаҳо, муайян карда шуд, ки дар ҳудуди тағйирёбии ҳарорат аз 273 то 363 К гармигузаронии маҳлулҳо ба ҳисоби миена то 13,75% афзоиш меёбад. [1-М, 15-М, 19-М, 24-М].

3. Муайян карда шудааст, ки агар ба маҳлули обии этиленгликол 0,1% наноҳоки гидразин илова карда шавад, ин ба афзоиши гармигузаронӣ то 11,9% оварда мерасонад. Агар иловай наноҳоки гидразин дар маҳлул 0,4 %-ро дар  $T = 363$  К ва  $P = 14.42$  МПа ташкил дихад, пас гармигузаронии маҳлул дар маҷмӯъ то 17,4 фоиз зиёд мешавад [1-М, 4-М, 15-М, 21-М, 24-М].

4. Бо истифода аз маълумоти таҷрибавӣ оид ба гармигузаронӣ ва зичии маҳлулҳо, як қатор параметрҳои термодинамикӣ ҳангоми тағйирёбии ҳарорат аз 273 то 363 К ва фишор аз 0,101 то 14,41 МПа бо назардошти иловай наноҳоки гидразин ба маҳлул то 0,4% ҳисоб карда шудаанд. Инчунин, дар кор мувофиқати усуљҳои ҳисобшудаи гармигузаронӣ, часпакӣ, зичӣ ва адади Прандтл [1-М, 3-М, 4-М, 6-М, 17-М] нишон дода шудааст.

5. Бо истифода аз натиҷаҳои озмоишҳо ва қонуниятиҳои назариявии даҳлдор таҳлил, коркард ва ҷамъбасти онҳо гузаронида шуд, ки дар асоси онҳо муодилаҳои аппроксиматсионӣ, варианти тағйирдодашудаи муодилаи Тейта ба даст оварда шуданд. Дар асоси муодилаҳои эмпирикӣ ва нимэмпирикӣ бадастомада, вобаста ба ҳарорат, фишор, инчунин концентратсияи наноҳоки гидразин дар маҳлул гармигузаронӣ ( $\sigma_\lambda = 3,6\%$ ), часпакии динамикӣ ( $\sigma_\eta = 4,5\%$ ) ва часпакии кинематикӣ ( $\sigma_v = 3,5\%$ )-и маҳлулҳоро муайян кардан мумкин аст [1-М, 2-М, 3-М, 6-М, 17-М].

6. Муайян карда шудааст, ки ҳангоми илова кардани наноҳоки гидразин то 0,4% ба маҳлули обии этиленгликол (30% этиленгликол + 70% об) дар ҳудуди ҳарорати 280-363 К, часпакии кинематикӣ 94,8% коҳиш меёбад ва ҳангоми ҳал шудани наноҳоки гидразин дар ҳамон ҳудуди ҳарорат зичии он 1,4% коҳиш меебад [1-М, 3-М, 6-М, 17-М, 27-М].

7. Дар асоси таҷрибаҳо муайян карда шуд, ки илова кардани 0,4% наноҳоки гид-разин ба маҳлули обии этиленгликол (30% этиленгликол + 70% об) дар ҳудуди ҳарорати 280 – 363 К гармигузаронӣ 13,75% ва ҳароратгузаронӣ 6,6% меафзояд. [1-М, 4-М, 15-М, 24-М].

8. Натицаҳои асосии тадқиқоти назариявӣ ва таҷрибавӣ ба истифодабарӣ қабул шуда, дар раванди таълими донишгоҳи Техникии Тоҷикистон ба номи академик М.С. Осими дар ш. Душанбе, Доңишгоҳи давлатии омӯзгории Тоҷикистон ба номи С. Айнӣ ва дар Институти саноати Вазорати саноат ва технологияҳои нави Ҷумҳурии Тоҷикистон татбиқ гаштааанд (санадҳои татбиқи натицаҳо дар замимаи рисола оварда шудаанд) [1-М -30-М].

### **Тавсия, дурнамои таҳияи минбаъдаи мавзӯи тадқиқотии рисола**

1. Ҷадвалҳои муфассал оид ба параметрҳои гармофизикӣ (гармигузаронӣ, зичӣ) ва реологӣ (частпакии динамикӣ ва кинематикӣ)-и системаҳои наноҳоки гидразин дар ҳудуди ҳарорат аз 270 К то 363 К вобаста ба концентратсияи гидразин ва коэффициенти адсорбсияи наноҳоки гидразин дар ҳарорати хона тартиб дода шудаанд, тавсия дода мешавад, ки ҳангоми ҳисоб кардани равандҳо дар дастгоҳҳо ва равандҳои гармӣ, массаивазкунӣ ҳамчун маълумотнома истифода мешаванд.

2. Вобастагии эмпирикии бадастомадаро ҳам барои ҳисобкунӣ ва ҳам барои пешгӯии мувоғиқи хосиятҳои гармофизикӣ ва реологии системоҳои секомпоненттаи тадқиқнашуда дар шакли хока бо назардошти тағйирёбии параметрҳои ҳолат ва концентратсияи ҷузъҳои таркибии система истифода бурдан, тавсия дода мешавад.

3. Натицаҳои тадқиқот барои ҷорӣ намудан дар Институти саноати Вазорати саноат ва технологияҳои нави Ҷумҳурии Тоҷикистон, ДТТ ба номи академик М.С. Осими ва ДДОТ ба номи Садриддин Айнӣ ҳангоми ҳисоб кардани равандҳои гармофизикӣ ва термодинамикӣ, ҳамчун маълумотнома дар раванди таълим тавсия дода мешаванд (санадҳои татбиқ дар рисола замима гардидааст).

### **РУЙХАТИ КОРҲОИ НАШРШУДА ДАР МАВЗУИ РИСОЛА**

**Мақолаҳо дар мачаллаҳои илмие, ки аз ҷониби КОА-и назди Президенти**

**Ҷумҳурии Тоҷикистон тавсия шудаанд:**

**[1-М]. Рафиев, С.С.** Влияние воды на изменение коэффициента поверхностного натяжения этиленгликоля при атмосферном давлении /М.М. Сафаров, Х.Х. Назарзода, С.С. Рафиев, М.М. Гуломов // Вестник ТНУ. Серия естественных наук, Душанбе, 2017, №2,- С.97 - 101.

**[2-М]. Рафиев, С.С.** Способ обобщения коэффициента адсорбции зернистых материалов (способ Сафарова М.М.) / С.С. Абдуназаров, Назарзода Х.Х., С.С. Рафиев и др. // Вестник ТНУ. Серия естественных наук, Душанбе, 2017, №1/2,- С.132 -137.

**[3-М]. Рафиев, С.С.** Анализ применимости уравнение Тейта к различным классам веществ в конденсированном состоянии на примере плотности. II. Вычисление плотности. / М.М. Сафаров, Т.Р.Тиллоева, С.С. Рафиев, и др. // Вестник ТНУ. Серия естественных наук. Душанбе - 2018, №2, - С. 92 - 98.

**[4-М]. Рафиев, С.С.** Модель цилиндрического контакта с плоской подложкой и расчет эффективной теплопроводности нанонити. / М.М. Сафаров, С. С. Рафиев, Д.Ш. Ҳакимов. и др./ Вестник ТНУ. Серия естественных наук. Душанбе, 2018, №2, - С.122 - 127.

**[5-М]. Рафиев, С.С.** Коэффициент адсорбции нанопорошка гидразина в адсорбенте воды при различном времени увлажнения. / С.С. Рафиев, М.М. Сафаров, Ш. З. Нажмудинов. // Вестник ТУТ. Душанбе, 2019, №2, (37) - С.22 - 28.

**[6-М]. Рафиев, С.С.** Кинематическая вязкость теплоносителей, внедренных в них нанопорошка гидразина. / С.С. Рафиев. // Вестник БГУ имени Носира Хусрава (научный журнал) серия естественных наук. Бохтар, 2021, №2/4 (93) – С. 54 - 58.

**Ихтироотҳо:**

**[7-М]. Сафаров, М. М.** Устройства для определения коэффициента теплопроводности наножидкостей. / М.М. Гуломов, С.С. Рафиев, Д.Ш. Раджабова, А.Р Раджабов и др.// Малый патент Республики Таджикистан № ТJ 923, 2017. – 5 с.

**[8-М]. Сафаров, М.М.** Комплексная солнечная установка для получения тепловой и электрической энергии / **С.С. Рафиев**, Х.Х. Назарзода, Д.Ш. Раджабова, А. Р. Раджабов, Б.М. Махмадиев и др. / Малый патент Республики Таджикистан № TJ 919, 2017. – 5 с.

**[9-М]. Рафиев, С.С.** Устройства слежения за солнцем. / Абдурахмонов А.Я., Абдуллоев Б.Т., **Рафиев С.С** и др. // Малый патент Республики Таджикистан №1202, 2018. -5 с.

**[10-М]. Рафиев, С.С.** Способ определения коэффициента адсорбции наноматериалов. / Сафаров М.М., Абдуназаров С.С. **Рафиев С.С** и др. / Малый патент Республики Таджикистан № TJ 1279, 2021. – 9 с.

**[11-М]. Сафаров, М. М.** Установка для автоматизированного определения теплопроводности твердых тел / Сайдзода К. Б., **Рафиев С.С**, Сафаров Ш. Р и др. // Малый патент Республики Таджикистан № TJ 1185, 2021. -7с.

**Мақолаҳо дар конференцияҳо байналмиллалӣ ва ҷумҳурияйӣ ба табъ расида.**

**[12-М]. Рафиев, С.С.** Адсорбционные, теплофизические, термодинамические свойства некоторых наночастиц и их влияние на поведение теплоносителей / М.М. Сафаров, Т.Р. Тиллоева, З.Ю. Норов, **С.С. Рафиев** и др. // 10 школа - семинар молодых ученых и специалистов академика РАН В.Е. Алесасова “Проблемы тепломассообмена и гидродинамики в энергомашиностроении”, Казань, 2016. - С. 217 - 220.

**[13-М]. Rafiev, S. S.** Influence of carbon nanotubes, nanometallic to exchange thermophysical and thermodynamics properties of hydrazinehydrate (rocket fuel) in dependence temperature and pressures/ M.M. Safarov, H.A. Zoirov, S.S. **Rafiev** e.t.// Conference book, 10 ICTP “Thermophysical properties measurements in the quality control of substances, materials and products». Dushanbe-Tambov, 3-8 october 2016. - P. 201-218.

**[14-М]. Rafiev, S. S.** Computer modeling of heat transfer process for nanofluids / М.М. Safarov, M.M. Gulomov, D.Sh. Rajabova, **S.S. Rafiev** et. // 4 International computer simulation, China, 2017, - p. 56.

**[15-М]. Рафиев, С.С.** Влияние наночастиц на изменение теплопроводности, температуропроводности диэтилового эфира включая критическое и закритической области параметров состояния./ М.М. Сафаров, М. М. Гуломов, Дж.Ф. Собиров, **С.С. Рафиев** и др. // Материалы международной конференции фазовые переходы, критические и нелинейные явления в конденсированных средах. / Махачкала, 6 - 9 сентября 2017. - С.433 - 436.

**[16-М]. Rafiev, S.S.** Thermodynamic properties of nano fluids in dependence temperature and pressures. / М.М. Safarov, M.A. Zaripova, T.R. Tilloeva, **S.S. Rafiev** e.t. // 6<sup>th</sup> Rostock International Conference: THERMAL 2017 “Thermophysical Properties for Technical Thermodynamics” Institute of Technical Ther-modynamics University of Rostock, Germany, 17–18 July 2017, - P. 77.

**[17-М]. Рафиев, С. С.** Уравнение типа Тейта для расчета плотности жидкостей, растворов при различных температурах и давлениях./ М.М. Сафаров, М.М. Гуломов, **С.С. Рафиев** и др. // Материалы МНПК “8 Ломоносовских чтения”, Филиал МГУ имени М.В. Ломоносова в г. Душанбе, 27 - 28 апреля 2018 - С.34 - 38.

**[18-М]. Рафиев, С.С.** Физико - химические и адсорбционные свойства жидкого гидразина и хлорида гидразиня. / М.М. Сафаров, **С.С. Рафиев**, Ш.Р. Сафаров, З.К. Хусайнов. // МНПК “Актуальные проблемы преподавания математики и естественных наук в кредитной системы обучения” КТГУ имени Носира Хусрава, Бохтар, 2018 - С. 458 - 461.

**[19-М]. Рафиев, С.С.** Определение коэффициента поверхностного натяжения растворов методом Ребиндера / М.М. Сафаров, А.Р. Раджабов, **С.С. Рафиев**. // Международный водноэнергетический форум - 2018, КГЭУ, Т. 1.29 октября - 2 ноября 2018, Казань, Россия - (2018). - C.137 (Scopuse).

**[20-М]. Рафиев, С.С.** Влияние металлических наночастиц на изменение реологических свойств углеводородов. / М.М. Сафаров, Х.Х. Ойматова, Ш.Р. Сафаров, **С.С. Рафиев**, С.С. Джумъаев и др. // 6 МНТК студентов, молодых ученных и специалистов “Энергосберегающие и эффективность в технических системах”, Тамбов, 3 - 5 июня 2019, - С. 72 - 73.

**[21-М]. Рафиев, С.С.** Влияние нанопорошка гидразина на изменение энтропии тернарных систем кремниевой кислоты и многослойных углеродных нанотрубок / М.М. Сафаров, Ш.Р. Сафаров, **С.С. Рафиев** и др. // Материалы 4 МНК «Вопросы физической и координационной химии», 3 - 4 мая 2019. - С. 195 - 202.

**[22-М]. Рафиев, С.С.** Вклад нанотрубок и сажи на поведение реологических и термодинамических свойств простых эфиров и хладагентов. / М.М. Сафаров, Б.А. Тимеркаев, **С.С. Рафиев** и др. / 6 МНТК студентов, молодых ученных и специалистов “Энергосберегающие и эффективность в технических системах”, Тамбов, 3 - 5 июня 2019, - С. 169 - 170.

**[23-М]. Рафиев, С.С.** Комплексная солнечная установка для получения тепловой и электрической энергии. / Ф. Абдужалилзода, М.М. Сафаров, А.Р. Раджабов, **С.С. Рафиев**, и др. // Материалы Международной конференции “Фазовые переходы, критические и нелинейные явления в конденсированных средах”, Махачкала, 15 - 20 сентября 2019, - С.420 - 422.

**[24-М]. Рафиев, С.С.** Влияние нанопорошка гидразина на изменение энтропии, удельной теплоты плавления тернарных систем. / Х.Х. Ойматова, Ш.Р. Сафаров, **С.С. Рафиев**, М.М. Сафаров, Б.А. Тимеркаев и др. // МНК «Современные проблемы естественных и гуманитарных наук и их роль в укреплении научных связей между странами», Филиал МГУ имени М.В. Ломоносова в г. Душанбе (10 - 11 октября 2019г.). - С. 109 - 113.

**[25-М]. Рафиев, С.С.** Математические модели динамики адсорбции нанопорошка гидразина. / М.М. Сафаров, **С.С. Рафиев**. // Материалы МНК «Актуальные проблемы преподавания математики и естественных наук в кредитной системы обучения КТГУ имени Носира Хусрава, (г. Бохтар, 18-19 октября соли 2019). - С.66-68.

**[26-М]. Рафиев, С.С.** Расчет одного из основного термодинамических потенциалов (энергии Гельмгольца) тернарных систем. / Ш.Р. Сафаров, Х.Х. Ойматова, **С.С. Рафиев**, М.М. Сафаров. // Сборник научных трудов 29 МНК “Научные тенденции: Вопросы точных и технических наук”, Санкт Петербург 12 июля 2020 г. - 2020. - С.19 - 20 (doi: 10. 18411 /sciencepublic – 12 – 07 – 2020 - 03) idsp: science public – 12 – 07 – 2020 - 03, Scopus

**[27-М]. Rafiev, S.S.** Effect of hydrazine nanopowder on change of adsorption properties of ternary systems during water vapour wetting at room temperature / Н.Н. Ойматова, Sh.R. Safarov, S.S. Rafiev // IARIA, 2CFP, ICQNM - 2020, 15-19 November, 2020, Ispane, Valenciya, 2020. - p.34.

**[28-М]. Рафиев, С.С.** Влияние нанопорошка гидразина на изменение адсорбционных свойства тернарных систем в процессе увлажнения паров воды при комнатной температуре. / Х.Х. Ойматова, Ш.Р. Сафаров, **С.С. Рафиев**. // Материалы 10 МНПК «Ломоносовские чтения», Ч.1., Душанбе, 25 - 26 сентября 2020г. - С.53 - 58.

**[29-М]. Рафиев, С.С.** Расчет одного из основных термодинамических потенциалов (энергии Гельмгольца) тернарных систем. / Ш.Р. Сафаров, Х.Х. Ойматова, **С.С. Рафиев**, М.М. Сафаров, М. А. Файзова. // Научные тенденции: Вопросы точных и технических наук (Сборник научных трудов), Санкт - Петербург, 2020, - С. 19 - 21.

**[30-М]. Рафиев, С. С.** Влияние нанопорошка гидразина на изменение энергии Гиббса в тернарных системах. / Х.Х. Ойматова, Ш.Р. Сафаров, Дж. Ф. Собиров, М.М. Сафаров, С.С. Рафиев. // Сборник трудов. Инновация, Наука, Образования, (научный журнал) М. 2021, №27, - С.917 - 925.

## АННОТАЦИЯ

к диссертации Рафиева Саидбека Самиевича на тему «Исследование теплофизических и термодинамических свойств теплоносителей внедренных нанопорошка гидразина», представленную на соискание ученой степени кандидата технических наук по специальности 01.04.14 - теплофизика и теоретическая теплотехника

**Ключевые слова:** теплопроводность, плотность, коэффициенты динамической и кинематической вязкости, этиленгликоль, нанопорошок гидразина, температура, давления, концентрация.

**Цель работы:** комплексное экспериментально-теоретическое исследование физико-химических свойств (коэффициента эффективной теплопроводности, плотности, реологических и кинетических свойств) растворов этиленгликоля при различных параметрах состояния и концентрации нанопорошка гидразина.

**Научная новизна:** созданы экспериментальные установки для определения теплопроводности наножидкостей (малый патент № ТJ 923, 2017. – 5 с.) и коэффициента адсорбции наноматериалов (малый патент № ТJ 1279, 2021. – 9 с.); получены данные по коэффициенту эффективной теплопроводности, плотности, коэффициентов динамической и кинематической вязкости этиленгликоля и его водных растворов с различными концентрациями нанопорошка гидразина в интервале температуры (273 - 363) К и давления (0,101 - 14,42) МПа; на основе экспериментальных данных получены расчетные данные теплопроводности, вязкости, плотности и критерия Прандтля для этиленгликоля и его водных растворов с различными концентрациями нанопорошка гидразина в интервале температуры (273 - 363) К и давления (0,101 - 14,42) МПа; на основе обработки и обобщения экспериментальных данных получены эмпирические уравнения для расчета коэффициента эффективной теплопроводности, плотности, коэффициентов динамической и кинематической вязкости этиленгликоля и его водных растворов с различными концентрациями нанопорошка гидразина в интервале температуры (273 - 363) К и давления (0,101 - 14,42) МПа..

**Теоретическая и практическая значимость работы:** составлены подробные таблицы по теплопроводности, плотности, коэффициентов динамической и кинематической вязкости этиленгликоля и его водных растворов с различными концентрациями нанопорошка гидразина в интервале температуры (273 - 363) К и давления (0,101 - 14,42) МПа, которые можно рекомендовать проектным организациям для их реализации в различных химических процессах в теплоэнергетике и машиностроении; полученные экспериментальные данные в виде справочного материала для исследованных двух – и трёхкомпонентных систем технических растворов можно использовать при создании математических и физических моделей при инженерных и конструкторских расчетах для установления и выбора оптимальных режимов работы различных механизмов и устройств; получены эмпирические уравнения и уравнение состояния (в условиях изменения и давления и температуры опыта). Впервые для исследованной группы наножидкостей были применены уравнения типа Тейта, Мамедова и Ахундова, а также численным способом были получены коэффициенты для них.

**Результаты исследования внедрены** в Институте промышленности Министерства промышленности и новых технологий РТ при расчетах модельных реакторов и технологических процессов, а экспериментальные данные используются как справочные; созданная аппаратура для измерения плотности, теплопроводности (метод нагретой нити, монотонного разогрева, метод гидростатического взвешивание) водных растворов этиленгликоля с нанопорошком гидразина, а также теоретические результаты исследования используются в Таджикском государственном педагогическом университете им. Садриддина Айни и Таджикском техническом университете имени академика М.С. Осими в учебном процессе.

## ШАРҲИ МУХТАСАР

ба рисолаи Рафиев Сайдбек Самиевич дар мавзӯи "Тадқиқи хосиятҳои гармофизикӣ ва термодинамикии гармибарандаҳои наноҳокай гидразин воридкардашуда", ки барои дарёфти дараҷаи илмии номзади илмҳои техникӣ аз рӯи ихтисоси 01.04.14 - физикаи ҳарорат ва назарияи техникаи гармо пешниҳод шудааст

**Вожакалимаҳо:** гармигузаронӣ, зичӣ, коэффициентҳои часпакии динамикӣ ва кинематикӣ, этиленгликол, наноҳокай гидразин, ҳарорат, фишор, концентратсия.

**Мақсади кор:** таҳқиқи комплексии таҷрибавӣ-назариявии хосиятҳои физикию химиявӣ (коэффициенти гармигузаронӣ, зичӣ, хосиятҳои реологӣ ва кинетикӣ) маҳлули этиленгликол ҳангоми параметрҳои гуногуни ҳамbastагӣ ва концентратсияи наноҳокай гидразин.

**Навоварии илмӣ:** дастгоҳҳои таҷрибавӣ барои муайян кардани гармигузаронии наномоеъҳо (патенти хурди ҶТ № ТJ 923, 2017. 5 с.) ва коэффициенти адсорбсияи наноматериалҳо (патенти хурди ҶТ № ТJ 1279, 2021. 9 с.) сохта шудаанд; маълумот аз рӯи коэффициенти гармигузаронӣ, зичӣ, коэффициентҳои часпакии динамикӣ ва кинематикии этиленгликол ва маҳлулҳои обии он бо концентратсияҳои гуногуни наноҳокай гидразин дар ҳудуди ҳарорати (273-363) К ва фишори (0,101-14,42) МПа ба даст оварда шудааст; дар асоси маълумоти таҷрибавӣ гармигузаронӣ, зичӣ ва адди Прандтл барои этиленгликол ва маҳлулҳои обии он бо концентратсияҳои гуногуни наноҳокай гидразин дар ҳудуди ҳарорати (273-363) К ва фишори (0,101-14,42) МПа ба даст оварда шудааст; дар асоси коркард ва ҷамъбасти маълумоти таҷрибавӣ муодилаҳои эмпирикӣ барои ҳисоб кардани коэффициенти гармигузаронӣ, зичӣ, коэффициентҳои часпакии динамикӣ ва кинематикии этиленгликол ва маҳлулҳои обии он бо концентратсияҳои гуногуни наноҳокай гидразин дар ҳудуди ҳарорати (273-363) К ва фишори (0,101 - 14,42) МПа ба даст оварда шуданд.

**Аҳамияти назариявӣ ва амалии кор:** ҷадвалҳои муфассал оид ба гармигузаронӣ, зичӣ, коэффициентҳои часпакии динамикӣ ва кинематикии этиленгликол ва маҳлулҳои обии он бо концентратсияҳои гуногуни наноҳокай гидразин дар ҳудуди ҳарорати (273-363) К ва фишори (0,101 - 14,42) МПа тартиб дода шудаанд, ки метавонанд ба ташкилотҳои лоиҳавӣ барои татбиқи онҳо дар равандҳои гуногуни химиявӣ дар энергетикаи гармо ва мошинсозӣ; маълумоти таҷрибавии бадастомада дар шакли маводи истинод барои маҳлулҳои техникии ду ва секомпонентаи тадқиқшуда метавонад ҳангоми сохтани моделҳои математикӣ ва физикӣ дар ҳисобкуниҳои муҳандисӣ ва конструкторӣ барои муқаррар ва интиҳоби речаҳои самараноқи кори механизмҳо ва дастгоҳҳои гуногун истифода шавад; муодилаҳои эмпирикӣ ва муодилаҳои ҳолат (дар шароити тағироти фишор ва ҳарорат) ҳосил карда шудаанд. Бори аввал барои гурӯҳи тадқиқшудаи наномоеъҳо муодилаҳои навъи Тейта, Мамедов ва Ахундов истифода шуда, коэффициентҳои онҳо бо усули ҳисобкуниӣ ба даст оварда шуданд.

**Натиҷаҳои тадқиқот ҷорӣ карда шудаанд** - дар Институти саноати Вазорати саноат ва технологияҳои нави ҶТ ҳангоми ҳисоб кардани реакторҳои моделӣ ва равандҳои технологӣ, маълумоти таҷрибавӣ бошад, ҳамчун маълумотнома истифода мешаванд; дастгоҳҳои сохташуда барои чен кардани зичӣ, гармигузаронӣ (усули ноқили тафсон, гармкуни мунтазам, усули баркаши гидростатикӣ)-и маҳлулҳои обии гидразин, инчунин натиҷаҳои назариявӣ дар Донишгоҳи давлатии омӯзгории Тоҷикистон ба номи Садриддин Айнӣ ва Донишгоҳи техникии Тоҷикистон ба номи академик М. С. Осимӣ дар раванди таълим истифода мешаванд.

## ABSTRACT

**to the dissertation of Rafiev Saidbeg Samievich on the topic “Research of the thermophysical and thermodynamic properties of heat carriers of embedded hydrazine nanopowder”, submitted for the degree of candidate of technical sciences on specialty 01.04.14 - thermophysics and theoretical heat engineering**

**Key words:** thermal conductivity, density, coefficients of dynamic and kinematic viscosity, ethylene glycol, hydrazine nanopowder, temperature, pressure, concentration.

**Purpose of the work:** a comprehensive experimental and theoretical study of the physicochemical properties (coefficient of effective thermal conductivity, density, rheological and kinetic properties) of ethylene glycol solutions at various parameters of the state and concentration of hydrazine nanopowder.

**Scientific novelty:** experimental installations have been created to determine the thermal conductivity of nanofluids (small patent No. TJ 923, 2017. – 5 p.) and the adsorption coefficient of nanomaterials (small patent No. TJ 1279, 2021. – 9 p.); data were obtained on the coefficient of effective thermal conductivity, density, coefficients of dynamic and kinematic viscosity of ethylene glycol and its aqueous solutions with various concentrations of hydrazine nanopowder in the temperature range (273 - 363) K and pressure (0.101 - 14.42) MPa; based on experimental data, calculated data on thermal conductivity, viscosity, density and the Prandtl criterion were obtained for ethylene glycol and its aqueous solutions with various concentrations of hydrazine nanopowder in the temperature range (273 - 363) K and pressure (0.101 - 14.42) MPa; Based on the processing and generalization of experimental data, empirical equations were obtained for calculating the coefficient of effective thermal conductivity, density, coefficients of dynamic and kinematic viscosity of ethylene glycol and its aqueous solutions with various concentrations of hydrazine nanopowder in the temperature range (273 - 363) K and pressure (0.101 - 14.42 ) MPa..

**Theoretical and practical significance of the work:** detailed tables have been compiled on thermal conductivity, density, coefficients of dynamic and kinematic viscosity of ethylene glycol and its aqueous solutions with various concentrations of hydrazine nanopowder in the temperature range (273 - 363) K and pressure (0.101 - 14.42) MPa, which can be recommended to design organizations for their implementation in various chemical processes in thermal power engineering and mechanical engineering; the experimental data obtained in the form of reference material for the studied two- and three-component systems of technical solutions can be used to create mathematical and physical models for engineering and design calculations to establish and select optimal operating modes for various mechanisms and devices; empirical equations and an equation of state were obtained (under the conditions of changes in both pressure and temperature of the experiment). For the first time, equations of the Tate, Mamedov and Akhundov type were applied to the studied group of nanofluids, and the coefficients for them were obtained numerically.

**The results of the study were introduced** at the Institute of Industry of the Ministry of Industry and New Technologies of the Republic of Tajikistan in the calculations of model reactors and technological processes, and experimental data are used as reference; The created equipment for measuring the density, thermal conductivity (heated filament method, monotonic heating method, hydrostatic weighing method) of aqueous solutions of ethylene glycol with hydrazine nanopowder, as well as theoretical research results are used at the Tajik State Pedagogical University named after. Sadriddin Aini and Tajik Technical University named after academician M.S. Osimi in educational process.

Подписано в печать \_\_\_\_\_ г. Бумага офсетная.  
Формат 60\*84/16 Гарнитура Times New Roman.  
Печать офсетная. Тираж 100 экз.

---

734042, г. Душанбе, просп. ак. Раджабовых, 10  
Типография «ТГУ» имени академика М.С. Осими